

TC.  
BALIKESİR ÜNİVERSİTESİ  
FEN BİLİMLERİ ENSTİTÜSÜ  
KİMYA ANABİLİM DALI

**EMÜLGATÖRSÜZ EMÜLSİYON POLİMERİZASYONU KİNETİĞİ VE  
POLİMERİK ÜRÜNÜN ÖZELLİKLERİ ÜZERİNE TUZ ETKİSİ**

**YÜKSEK LİSANS TEZİ**

**SEDA CAN**

**Balıkesir, Temmuz 2003**

TC.  
BALIKESİR ÜNİVERSİTESİ  
FEN BİLİMLERİ ENSTİTÜSÜ  
KİMYA ANABİLİM DALI

EMÜLGATÖRSÜZ EMÜLSİYON POLİMERİZASYONU KİNETİĞİ VE  
POLİMERİK ÜRÜNÜN ÖZELLİKLERİ ÜZERİNE TUZ ETKİSİ

YÜKSEK LİSANS TEZİ

SEDA CAN

Tez Danışmanı: Yrd. Doç. Dr. Taner TANRISEVER

Sınav Tarihi: 04.08.2003

Jüri Üyeleri: Prof. Dr. Mahir ALKAN (BA.Ü.)

Prof. Dr. İnci SÖNMEZOĞLU (Y.T.Ü.)

Yrd. Doç. Dr. Taner TANRISEVER (Danışman BA.Ü)

Balıkesir, Temmuz 2003

## **ÖZET**

### **EMÜLGATÖRSÜZ EMÜLSİYON POLİMERİZASYONU KİNETİĞİ VE POLİMERİK ÜRÜNÜN ÖZELLİKLERİ ÜZERİNE TUZ ETKİSİ**

**Seda CAN**

**Balıkesir Üniversitesi, Fen Bilimleri Enstitüsü,  
Kimya Anabilim Dalı**

**(Yüksek Lisans Tezi/Tez Danışmanı : Yrd. Doç. Dr. Taner TANRISEVER)**

**Balıkesir, 2003.**

Metil metakrilatin (MMA) emülgatörsüz emülsiyon polimerizasyonu, 75 °C de,  $K_2S_2O_8$  başlatıcısı kullanılarak ve ortama çeşitli tuzlar ( $NaCl$ ,  $NaBr$ ,  $LiCl$ ,  $Na_2SO_4$ ,  $MgCl_2$ ,  $CaCl_2$ ,  $BaCl_2$ ) ilave edilerek gerçekleştirilmiş ve polimerizasyon kinetiği, polimerin ortalama molekül ağırlıkları ve boncuk boyutu üzerine etkileri araştırılmıştır. Molekül ağırlıkları, Jel geçirgenlik kromotografisi ve vizkozite ölçümleri yapılarak, boncuk boyutları ise SEM fotoğrafları çekilerek belirlenmiştir. Genellikle tuz konsantrasyonu arttıkça polimerizasyon hızı ve molekül ağırlığı azalırken boncuk boyutu büyümüştür. Aynı iyonik şiddeti sağlayan tuzların aynı etkileri oluşturmadığı gözlenmiştir. Aynı konsantrasyonda, herhangi bir kimyasal etkileşime girmeyen tuzların katyonlarının Stokes yarıçapı arttıkça polimerizasyon hızı ve molekül ağırlığı azalırken, boncuk boyutu büyümüştür. Ayrıca kimyasal etkileşimlere sahip diğer tuzların ortaya çıkardığı özel durumlar da incelenmiştir.

**Anahtar Sözcükler :** metilmetakrilat / emülgatörsüz emülsiyon polimerizasyonu/ iyonik şiddet/ elektrolit / tuz etkisi/ Stokes yarıçapı

## **ABSTRACT**

# **THE SALTING EFFECT ON THE KINETIC OF EMULSIFIER-FREE POLYMERIZATION AND ON THE FEATURES OF POLYMERIC PRODUCT**

**Seda CAN**

**Balıkesir University, Institute of Science, Department of Chemistry**

**(Master Thesis/Supervisor: Yrd.Doç.Dr.Taner TANRISEVER)**

**Balıkesir, Turkey, 2003.**

The emulsifier-free emulsion polymerization of methyl methacrylate (MMA) was carried out with  $K_2S_2O_8$  as initiator in the presence of salts ( $NaCl$ ,  $NaBr$ ,  $LiCl$ ,  $Na_2SO_4$ ,  $MgCl_2$ ,  $CaCl_2$ ,  $BaCl_2$ ) at  $75^\circ C$  and investigated the effect of salt on kinetics of polymerization, average molecular weight of polymer and bead size. Average molecular weight of polymer was determined using Gel-permeation chromatography and measuring viscosity, and bead size was determined using scanning electron microscopy. It was found that with increasing concentration of the salt, polymerization rate and average molecular weight of polymer decrease, bead size increase. It was observed that electrolytes having the same ionic strength, have different effects on polymerization and the features of polymer. At the same electrolyte concentration, as increased Stokes radii of cation of salts that not react with another chemicals in polymerization, polymerization rate and average molecular weight of polymer decreased, polymer particle diameter increased. However, special effect of another salts having chemical interaction also was investigated.

**Keywords:** methylmethacrylate / emulsifier-free emulsion polymerization/ ionic strength / electrolyte / salting effect / Stokes radii

## **İÇİNDEKİLER**

|   | <b>S.No</b> |
|---|-------------|
| ÖZET,Anahtar sözcükler  | i           |
| ABSTRACT,Keywords   | ii          |
| <b>İÇİNDEKİLER</b>  | iii         |
| SEMBOL LİSTESİ  | v           |
| ÇİZELGE LİSTESİ   | vii         |
| ÖNSÖZ   | x           |
| <b>1. GİRİŞ</b>   | 1           |
| 1.1 Serbest Radikal Polimerizasyonu   | 1           |
| 1.1.1 Serbest Radikaller  | 2           |
| 1.1.2 Serbest Radikal Baştıclar   | 2           |
| 1.1.3 Serbest Radikal Polimerizasyon Teknikleri   | 9           |
| 1.1.4 Polimerizasyon Mekanizması ve Kinetiği  | 10          |
| 1.2 Emülsiyon Polimerizasyonu   | 20          |
| 1.2.1 Klasik Emülsiyon Polimerizasyonu  | 20          |
| 1.2.2 Emülsiyon Polimerizasyonunda Parçacık Oluşum Mekanizmaları                                      | 24          |
| 1.2.3 Emülsiyon Polimerizasyonuna Genel Bir Bakış;  | 27          |
| 1.2.4 Emülsiyon Polimerizasyon Kinetiği   | 29          |
| 1.2.6 Emulgatörsüz Emülsiyon Polimerizasyonu  | 33          |
| 1.2.6.1 Parçacık nükleasyon ve gelişim mekanizmaları  | 34          |
| 1.3 Kolloidal Kararlılık  | 35          |
| 1.3.1 Elektrostatik Kararlılık  | 36          |
| 1.3.2 Emulgatörsüz Emülsiyon Polimerizasyonu ile Elde Edilen Lateksin Kararlığını Etkileyen Faktörler | 43          |
| 1.4 Polimerlerin Molekül Ağırlıkları  | 45          |
| 1.5 Çalışmanın Amacı  | 48          |
| <b>2.DENEYSEL KISIM</b>   | 49          |
| 2.1 Kullanılan Kimyasallar Ve Aletler   | 49          |
| 2.1.1 Kimyasal Maddeler   | 49          |
| 2.1.2 Aletler   | 50          |
| 2.2 Deneylerin Yapılışı Ve Elde Edilen Sonuçlar   | 52          |
| 2.2.1 Latekslerin Sentezi   | 52          |
| 2.2.2. Dönüşüm Eğrilerinin Elde Edilmeleri  | 56          |
| 2.2.3. Latekslerin Analiz İçin Hazırlanması   | 69          |
| 2.2.4. Molekül Ağırlıklarının Hesaplanması  | 69          |
| 2.2.5 Latekslerdeki Parçacık Boyut Dağılımlarının Belirlenmesi  | 76          |
| <b>3.SONUÇLAR VE TARTIŞMA</b>   | 78          |
| 3.1 Polimerizasyon Kinetiği   | 81          |
| 3.1.1 Tuz Miktarı Etkisi  | 81          |

|                             |    |
|-----------------------------|----|
| 3.1.2 Tuz Cinsi Etkisi      | 85 |
| 3.2 Molekül Ağırlıkları     | 89 |
| 3.2.1 Tuz Miktarının Etkisi | 89 |
| 3.2.2 Tuz Cinsi Etkisi      | 91 |
| 3.3 Boncuk Boyutları        | 92 |
| 3.3.1 Tuz Miktarının Etkisi | 92 |
| 3.3.1 Tuz Cinsinin Etkisi   | 94 |
| 3.4 Genel Değerlendirme     | 95 |
| 4.KAYNAKLAR                 | 98 |

## **SEMBOL LİSTESİ**

### **Sembol    Tanımı**

|                 |   |
|-----------------|---|
| $K_2S_2O_8$     | : Potasyum persülfat  |
| MMA             | : Metil metakrilat  |
| PMMA            | : Polimetilmetakrilat   |
| $k_1$           | : Potasyum persülfatın ayrışma hız sabiti                                   |
| $R\bullet$      | : Serbest radikal   |
| $(M_1\bullet)$  | : Monomerik radikal   |
| $k_d$           | : Bir başlaticının ayrışma hız sabiti                                       |
| $k_i$           | : Polimerizasyonun başlama hız sabiti                                       |
| $k_p$           | : Polimerizasyonun ilerleme hız sabiti                                      |
| $k_{ic}$        | : Polimerizasyonun birleşme ile meydana gelen sonlanma hız sabiti           |
| $k_{id}$        | : Polimerizasyonun orantısız sonlanma ile meydana gelen sonlanma hız sabiti |
| $R_i$           | : Polimerizasyonun başlama hızı   |
| $[I]$           | : Başlaticının molar konsantrasyonu   |
| $[M\bullet]$    | : Zincir radikallerinin toplam konsantrasyonu                               |
| $f$             | : Başlaticının etkisi   |
| $R_p$           | : Polimerizasyonun ilerleme hızı  |
| $R_t$           | : Polimerizasyonun sonlanma hızı  |
| $\bar{v}$       | : Ortalama kinetik zincir uzunluğu  |
| $\overline{DP}$ | : Polimerizasyon derecesi   |
| $R_{tr}$        | : Polimerizasyonun zincir transfer hızı                                     |
| $\bar{v}_{tr}$  | : Zincir transferi ile elde edilen ortalama kinetik zincir uzunluğu         |
| $[T]$           | : Zincir transferinin konsantrasyonu  |
| $C_T$           | : Zincir transfer sabiti  |
| $E_p$           | : Polimerizasyon ilerleme aktivasyon enerjisi                               |
| $E_t$           | : Polimerizasyon sonlanma aktivasyon enerjisi                               |
| cmc             | : Kritik misel konsantrasyonu   |
| $[M_{aq}]$      | : Monomerin sudaki çözünürlüğü  |
| GPC             | : Jel Geçirgenlik Kromatografisi  |
| $X_n$           | : Sayı ortalaması polimerizasyon derecesi                                   |
| $\bar{n}$       | : Her parçacıkta ortalama radikal sayısı                                    |
| $N$             | : Birim hacimdeki lateks parçacık sayısı                                    |
| $R_{i\bullet}$  | : Radikal çoğalma hızı  |
| $N_A$           | : Avogadro sayısı   |
| $[M]$           | : Parçacık içindeki monomer konsantrasyonu                                  |
| $\mu$           | : Parçacık hacminin genişleme hızı  |

|              |  |
|--------------|--|
| $a_s$        | : Bir emülgatör molekülü tarafından kaplanan alan                          |
| $S$          | : Misel içindeki toplam emülgatör miktarı                                  |
| SEM          | : Scanning Elektron Mikroskopu   |
| TEM          | : Transmission Elektron Mikroskopu   |
| $\psi$       | : Elektrostatik potansiyel   |
| $\rho$       | : Hacimsel yük yoğunluğu   |
| $\epsilon_w$ | : Suyun dielektrik sabiti  |
| $\epsilon_r$ | : Boşluğun dielektirik sabiti  |
| $h$          | : Uzaklık  |
| $n_i$        | : $i$ tipindeki iyonların sayısı   |
| $n_i^o$      | : Yüzeyden uzaktaki çözeltide birim hacimde $i$ tipindeki iyonların sayısı |
| $T$          | : Sıcaklık   |
| $W_i$        | : Elektrostatik enerji   |
| $k$          | : Boltzmann sabiti   |
| $\kappa$     | : Debye-Hückel parametresi   |
| $1/\kappa$   | : Elektriksel çift tabakanın kalınlığı                                     |
| $F$          | : Faraday sabiti   |
| $I$          | : Çözeltinin iyonik şiddeti  |
| $c_i$        | : Çözelti konsantrasyonu   |
| $\lambda$    | : Elektriksel iletkenliği  |
| $V_R$        | : İtme potansiyel enerji   |
| $V_A$        | : Çekme potansiyel enerji  |
| $V_B$        | : Born itmesinden kaynaklanan potansiyel enerji                            |
| $A$          | : Hamaker sabiti   |
| $\gamma$     | : Yüzey gerilimi   |
| $z$          | : İyon değerliği   |
| $\psi_s$     | : Yüzey potansiyeli  |
| $\xi$        | : Zeta potansiyeli   |
| ccc          | : Kritik koagülasyon konsantrasyonu  |
| $M_n$        | : Sayı Ortalaması Molekül Ağırlığı   |
| $M_w$        | : Ağırlık Ortalaması Molekül Ağırlığı                                      |
| $M_v$        | : Vizkozite Ortalaması Molekül Ağırlığı                                    |
| $\eta_0$     | : Çözgen vizkozitesi   |
| $\eta$       | : Çözeltinin vizkozitesi   |
| $[\eta]$     | : Gerçek (intrinsic) vizkozite   |
| $M$          | : Polimerin moleküller kütlesi   |
| $K$          | : Deneysel sabit   |
| $a$          | : Deneysel sabit   |

## ÇİZELGE LİSTESİ

| Şekil Adı   | Sayfa<br>No |
|---|-------------|
| <b>Şekil 1.2.1.1</b> Bir emulgatör molekülü; yuvarlak baş grup polar, kuyruk apolar. Kuyruk C-C bağı etrafında dönmek suretiyle sınırlı miktarda esnek. (A) Uzayda kapladığı yeri, (B) zincirdeki karbon sayısını, (C) esnekliği gösterir.      | 22          |
| <b>Şekil 1.2.1.2</b> Bir misel molekülü ve etrafındaki elektriksel alan.  | 23          |
| <b>Şekil 1.2.3.1</b> Emülsiyon polimerizasyonu sırasında türlerin dönüşümü A: Misel, B: Monomerle şişmiş misel, C: Emulgatörle emülsiyen olmuş monomer daması D: Çözünmüş emulgatör M: Monomer, R: Radikal, P: Polimer.                         | 28          |
| <b>Şekil 1.2.3.2</b> Emülsiyon polimerizasyonunun zamana karşı % dönüşüm grafiklerinde I., II ve III. evre.   | 29          |
| <b>Şekil 1.2.6.1</b> Emulgatörsüz emülsiyon polimerizasyonundaki evreler.   | 33          |
| <b>Şekil 1.3.1.1</b> Yüklü parçacık etrafındaki potansiyel ve değişimi  | 39          |
| <b>Şekil 1.3.1.2</b> Uzaklığa (h) karşı VT eğrisinin şematik gösterimi  | 41          |
| <b>Şekil 2.1.2.1</b> Polimerizasyonda kullanılan reaktör sistemi  | 51          |
| <b>Şekil 3.1</b> Elde edilmiş polimerler için Mn, Mv ve Mw değerleri.   | 79          |
| <b>Şekil 3.2</b> Lateks boncuklarının ortamın özelliklerine bağlı olarak agglomeratlaşması. (a) Çalışma No : 14 (b) Çalışma No : 12   | 80          |
| <b>Şekil 3.3</b> 19 nolu çalışmada LiCl ile kaplanmış boncukların yıkamalarından sonra boncukların ortaya çıkması. (a) Yıkanmamış Örnek (b) Yıkanmış Örnek  | 81          |
| <b>Şekil 3.1.1</b> NaCl tuzunun miktarının artması ile polimerizasyon kinetiğinin değişimi ;(◇)0 mol NaCl/L su (2) (△) $0.5 \times 10^{-2}$ mol NaCl/L su (3) (□) $1 \times 10^{-2}$ mol NaCl/L su (4) (○) $2 \times 10^{-2}$ mol NaCl/L su (5) | 82          |
| <b>Şekil 3.1.2</b> NaBr tuzunun miktarının artması ile polimerizasyon kinetiğinin değişimi ;(◇)0 mol NaBr/L su (2) (△) $0.5 \times 10^{-2}$ mol NaBr/L su (6) (□) $1 \times 10^{-2}$ mol NaBr/L su (○) $2 \times 10^{-2}$ mol NaBr/L su (8)     | 83          |

|  |    |
|--|----|
| <b>Şekil 3.1.3</b> LiCl tuzunun miktarının artması ile polimerizasyon kinetiğinin değişimi ;( ◇)0 mol LiCl/L su(2), (△) $0.5 \times 10^{-2}$ mol LiCl/L su (20), (□) $1 \times 10^{-2}$ mol LiCl/L su (18), (○) $2 \times 10^{-2}$ mol LiCl/L su (19).   | 83 |
| <b>Şekil 3.1.4</b> Na <sub>2</sub> SO <sub>4</sub> tuzunun miktarının artması ile polimerizasyon kinetiğinin değişimi ;( ◇)0 mol Na <sub>2</sub> SO <sub>4</sub> /L su(2), (□) $0.1 \times 10^{-2}$ mol Na <sub>2</sub> SO <sub>4</sub> /L su (14), (△) $0.25 \times 10^{-2}$ mol. Na <sub>2</sub> SO <sub>4</sub> /L su (10,13), (*) $0.3 \times 10^{-2}$ mol Na <sub>2</sub> SO <sub>4</sub> /L su (22), (▲) $0.5 \times 10^{-2}$ mol Na <sub>2</sub> SO <sub>4</sub> /L su (9,12), (+) $0.6 \times 10^{-2}$ mol Na <sub>2</sub> SO <sub>4</sub> /L su (21), (●) $0.75 \times 10^{-2}$ mol Na <sub>2</sub> SO <sub>4</sub> /L su (15,16), (○) $1 \times 10^{-2}$ mol Na <sub>2</sub> SO <sub>4</sub> /L su (11,17) | 84 |
| <b>Şekil 3.1.5</b> Farklı Na <sub>2</sub> SO <sub>4</sub> konsantrasyonlarında %20, %40, %60 dönüşüme ulaşma zamanları   | 84 |
| <b>Şekil 3.1.6</b> Aynı iyonik şiddeti ( $I=0.005$ ) sağlayan ve ortak iyonu Cl- olan tuzlar kullanıldığında (3,6,20,23,24,25 No'lu Çalışmalar) katyon cinsinin polimerizasyon kinetiğine etkisi   | 86 |
| <b>Şekil 3.1.7</b> Aynı iyonik şiddeti ( $I=0.01$ ) sağlayan ve ortak iyonu Na <sup>+</sup> olan tuzlar kullanıldığında (4, 7, 22 No'lu Çalışmalar) anyon cinsinin polimerizasyon kinetiğine etkisi  | 87 |
| <b>Şekil 3.1.8</b> Farklı iyonik şiddetlerde NaCl ve LiCl tuzlarının polimerizasyon kinetigine etkisinin karşılaştırılması.  | 88 |
| <b>Şekil 3.1.9</b> İyonların Stokes yarıçapı ile % 20' lik dönüşüme ulaşma zamanları arasındaki ilişki ,( ●);Stokes Yarıçapı Sayısı, (■);% 20'lik dönüşüme ulaşma zamanı.  | 89 |
| <b>Şekil 3.1.10</b> Artan tuz konsantrasyonu ile birlikte aglomerasyonun artması (2): 0 mol NaCl/L su (3) $0.5 \times 10^{-2}$ mol NaCl/L su, (4) $1 \times 10^{-2}$ mol NaCl/L su , (5) $2 \times 10^{-2}$ mol NaCl/L su  | 93 |
| <b>Tablo 1.1.2.1</b> Bazı peroksit başlatıcıları ve polimerizasyon sıcaklık aralığı [5].   | 6  |
| <b>Tablo 1.3.1.1</b> Bazı elektrolitlerin koagülasyon konsantrasyonları (mmol L <sup>-1</sup> ) [20]   | 43 |
| <b>Tablo 2.2.1.1</b> Emülgatörsüz emülsiyon polimerizasyonunun gerçekleştirilemesinde kullanılan reçeteler   | 54 |
| <b>Tablo 2.2.1.2</b> Emülgatörsüz emülsiyon polimerizasyonunun gerçekleştirilemesinde kullanılan reçeteler   | 55 |
| <b>Tablo 2.2.2.1</b> Çalışmalarda elde edilen zaman-dönüşüm verileri   | 59 |

|  |    |
|--|----|
| <b>Tablo 2.2.4.1</b> 7 nolu çalışma için elde edilen akma süreleri   | 70 |
| <b>Tablo 2.2.4.2</b> 20 <sup>0</sup> C de PMMA-Kloroform çözeltilerinin akma sürelerinden elde edilen özvizzkozite, indirgenmiş vizkozite değerleri ve bu değerler kullanılarak elde edilen molekulere ilişkin gerçek vizkozite değeri, korelasyon katsayısı ve moleküler ağırlık. | 71 |
| <b>Tablo 2.2.4.3</b> (Tablo 2.2.4.1)'daki verilere benzer şekilde elde edilen sonuçlar.  | 72 |
| <b>Tablo 2.2.4.4</b> Tüm çalışmalar için (Tablo 2.2.3.2)'deki verilere benzer şekilde elde edilen sonuçlardan hesaplanan $\eta_i$ değerleri, vizkozite ortalaması molekül ağırlığı ve verilerin uyumunu gösteren korelasyon katsayıları .  | 75 |
| <b>Tablo 2.2.4.5</b> GPC ile elde edilmiş molekül ağırlıkları.   | 76 |
| <b>Tablo 2.2.5.1</b> SEM fotoğraflarından elde edilmiş parçacık boyut dağılımları  | 77 |
| <b>Tablo 3.2.1</b> Aynı cins tuzların kullanıldığı çalışmalarında, iyonik şiddetin molekül ağırlıklarına etkisi  | 90 |
| <b>Tablo 3.2.2</b> Ortamın iyonik şiddeti aynı olan çalışmalarında, tuz cinsinin molekül ağırlıklarına etkisi  | 92 |
| <b>Tablo 3.3.1</b> Aynı cins tuz kullanıldığında, iyonik şiddetin boncuk boyutuna etkisi   | 94 |
| <b>Tablo 3.3.2</b> Ortamın iyonik şiddeti aynı olduğunda, tuz cinsinin boncuk boyutuna etkisi  | 95 |

## ÖNSÖZ

Bu çalışmaya başlamadan önce biraz, ürkek ve tedirgindim. Çünkü ilk kez bilimsel bir çalışma ve bilim üretme telaşı içinde olacaktım. Sonradan fark ettim ki aslında pek çok ilkleri de beraberinde yaşamak için bir adım atmıştım. Bilimsel sabrı, bilimsel ahlaklı ilk kez yaşadım. İlk kez yorgunluktan ayaklarımı kramp girdi, ilk kez geceyi uykuya bölemedim. Ve en önemlisi ilk kez bilimin sadece kırısında olduğumu fark ettim. Artık yapacak çok fazla şeyin olduğunu biliyor, yolumun uzunluğunu görebiliyorum.

Sevgili danışmanım Yrd. Doç. Dr Taner Tanrisever, bu uzun çalışma dönemi boyunca sağlam alan bilgisi ve değişik bakış açıları ile sıkıntılı ve ümidiyi yitirdiğim anlarında bana yardımcı oldu. Ondan çok şey öğrendim ve öğrenmeye devam ediyorum. Ama sanırım herkesten bir adım önde gidiyorum, çünkü ben aynı zamanda bilgisayar da öğreniyorum. Bu yüzden O'na iki kez teşekkür ederken bana aşıladıgı herşeyin tutmasını ve gelişmesini hocam buna layık olduğu için diliyorum.

Başım sıkışlığında ilk aklıma gelen tek insan Prof. Dr. Mahir Alkan'a sonsuz şükranlarımı iletirken, sevgimin ve saygımın büyüklüğünü dile getirmek için bir kelime bulamıyor ve keşke kalbime bakabilseydiniz diyorum.

Deneysel çalışmalarımda yaşadığım sıkıntılarla şahit olan ve gösterdikleri sıcak ilgileri ile bana hayat veren sevgili arkadaşlarım Arş. Gör. Özlem Karakoç ve Arş. Gör. Ruhan Benlikaya'ya teşekkür ediyor ve hep hayat suyum olmalarını diliyorum

Ayrıca İ.T.Ü., Prof. Dr. Adnan Tekin Yüksek Teknolojik Seramikler ve Kompozitler Araştırma Merkezine ve burada görevli Hüseyin Sezer'e, SEM fotoğraflarının çekiminde bana gösterdiği sabır ve ilgi için içtenlikle teşekkür ederim. Yine İstanbul

Teknik Üniversitesinde Prof.Dr. Gürkan Hizal ve ekibine GPC ölçümlerini yaptıkları için teşekkür ederim.

1999'daki büyük depremden sonra hedefini şaşırın bana çok doğru bir yolu gösteren babama, yaşadığım sıkıntıları eve geldiğimde tek tek anlatırken bunları yüreğinde eritip karşılığında bana çiçekler sunan anneme ve uzakta da olsa beni hep destekleyen kardeşim iyi ki vardınız diyorum.

Balıkesir , 2003

Seda CAN



# **1. GİRİŞ**

## **1.1 Serbest Radikal Polimerizasyonu**

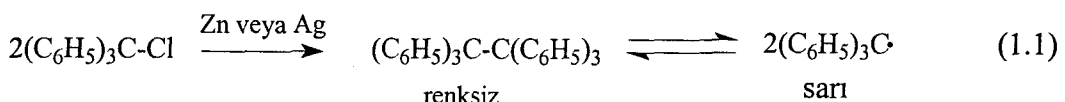
Çok sayıda doymamış molekül, radikalik bir mekanizma ile birbiriyle birleşerek polimer moleküllerini oluştururlar. Süreç ayrıca plastik endüstrisinde vinil polimerizasyonu olarak bilinir. Polietilen (yüksek ve düşük yoğunluklu), poli(vinil klorür), polistiren ve polipropilen en çok üretilen ticari vinil polimerlerdir. Bazı bilim adamları da bu tür polimerleri ayrıca olefin, dien ve vinilden olarak sınıflandırmayı tercih etmişlerdir.

Serbest radikal polimerizasyon reaksiyonları; zincir reaksiyon prosesleridir ve reaksiyonun başlaması için bir başlatıcı gereklidir. Bu tür polimerizasyonların zincir karakter taşıdığını stirenen polimerizasyonunu incelemiş olan Staudinger ilk olarak değiştirmiştir [1]. Staudinger reaksiyonun daha başlangıcında makromoleküllerin oluştuğunu ve bu reaksiyon sisteminde monomerler ve polimer molekülleri dışında hiçbir ara bileşenlerin veya ara moleküllerin olmadığını göstermiştir. Ayrıca monomerin polimere çevrilmesi işleminin hızla çoğalan radikallerin katılması ile meydana geldiğini, bunların yaşam süresinin az olduğu, stabil olmadıkları düşüncesini ortaya atmıştır. Radikal polimerizasyon teorisinin oluşturulmasında ise N.N.Semenof tarafından geliştirilmiş olan zincir reaksiyonlar teorisi temel alınmıştır. (Bu teoriden dolayı Semenof'a Nobel Ödülü verilmiştir.)[1].

Polimerizasyon yalnızca büyuyen bir zincirin sonundaki reaktifte meydana gelir, böylece yüksek molekül ağırlığına düşük dönüşüm yüzdelerde çabucak ulaşılır ve monomer süreç boyunca her zaman önemli miktarda bulunur. Bu genellemeler bütün zincir polimerizasyonları için geçerli olurken, başlama ve ilerleme reaksiyonları arasındaki farkları ayrı ayrı incelemek önemlidir.

### 1.1.1 Serbest Radikaller

1900 yılında M. Gomberg hekzafenil etanın benzendeki çözeltisinin ısıtıldığında sarı renge dönüştüğünü ve yüksek bir reaksiyona girme yeteneği kazandığını bulmuştur.



Hekzafeniletanda merkezi kovalent karbon-karbon bağı koparak, trifenil metil oluşturur; oluşan trifenilmetil bir adet çiftleşmemiş elektron içermektedir ve bundan dolayı paramagnetik özellik taşımaktadır. Bu şekilde çiftleşmemiş elektron içeren bileşenler serbest radikaldır. Hekzafenil etan molekülündeki karbon-karbon bağının kırılması için gereken enerji  $9.9 \text{ kcal mol}^{-1}$  dür. Bu da etan molekülündeki aynı bağın kırılması için gereken enerjiden ( $83 \text{ kcal mol}^{-1}$ ) çok çok azdır. Bu radikal oluşumuna uygulanırsa,  $\bullet\text{CH}_3$  radikali  $(\text{C}_6\text{H}_5)_3\text{C}\bullet$  radikalinden daha çok enerjiye sahiptir ve bu da onun reaksiyona girme yeteneğinin daha yüksek olmasını gerektirir. Doğal olarak bu tür radikaller uzun süre yaşayamazlar ve daha dayanıklı bileşik oluşturmak için reaksiyona girmek zorundadırlar. Trifenilmetil radikali gibi uzun yaşama süreli radikallere ender rastlanır, genellikle kimyasal reaksiyonlarda kısa yaşama süreli radikaller oluşturmaktadır. Ve bu radikaller polimerizasyon süreçlerinin oluşmasında kullanılır.

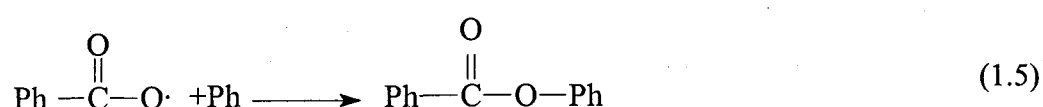
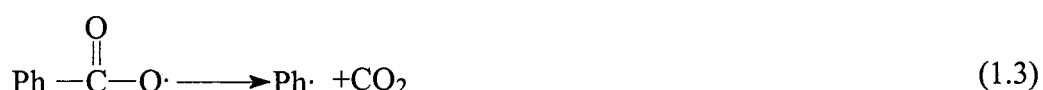
### 1.1.2 Serbest Radikal Başlatıcılar

Bazı monomerler, özellikle stiren ve metil metakrilat ve bazı gergin-halkaya sahip sikloalkenler, herhangi bir serbest radikal başlatıcı olmadan da ısıyla polimerizasyona uğrarlar. Ama çoğu monomer için ortama radikal veren çeşitli başlatıcılar gereklidir. Çok sayıda radikal başlatıcısı vardır. Bunları peroksitler ve hidroperoksitler; azot bileşikleri; redoks başlatıcıları ve ışın etkisi altında radikal

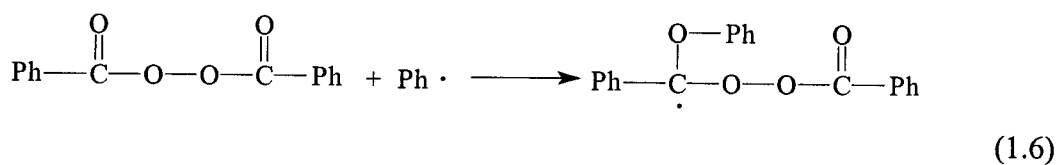
üreten bileşikler olarak dörde ayıralım. Genellikle az kullanılmasına rağmen yüksek enerjili ışın ( $\alpha$  ve  $\beta$  parçacıkları,  $\gamma$  ve X ışınları) da serbest radikal polimerizasyonunu destekler. Plazma polimerizasyonu – dışarıya ışın yayan bir ışınla oluşturulan kısmi iyonik gazın başlattığı polimerizasyon – özellikle mikroelektronik ve medikal uygulamalar için tabakaların izolasyonu ve kaplanmasıında geniş olarak kullanılır.

### **Peroksitler ve Hidroperoksitler:**

Çeşitli başlatıcı tipleri arasında peroksitler (ROOR) ve hidroperoksitler (RO-OH) en yaygın kullanılanlardır. Termal olarak kararsızdır ve yapılarına bağlı olarak belirli bir hızda ve sıcaklıkta radikallerine ayrılırlar. Genellikle en çok kullanılan peroksit, termal homolizle benzoiloksi radikallerini veren (1.2) benzoil peroksittir. Benzoiloksi radikalleri monomere katılma reaksiyonu dışında, birleşme (1.2 in tersi) veya karbondioksit ve fenil radikallerine ayrışma (1.3) veya bu radikallerin birleşmesi (1.4) ve (1.5) gibi çeşitli reaksiyonlar verebilir.



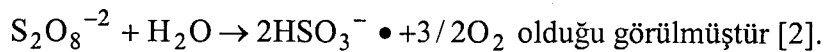
Bu ikincil reaksiyonlar çözgen moleküllerinin sınırlama etkisi (kafes etkisi) yüzünden meydana gelir ve sonuç olarak başlatıcı radikallerinin konsantrasyonu azalır. Ayışmanın neden olduğu diğer kirletici reaksiyonlar da vardır (1.6).



Diger genel bir baslatici potasyum persulfattir ( $K_2S_2O_8$ ). Persulfat sulu cozeltide nötral veya hafifçe bazik ortamda (pH:7-8) aşağıdaki reaksiyonları verir [3]:



Ayrıca stirenin polimerizasyonunda



Asit katalizli durumda simetrik olmayan bir kırılma meydana gelir;



(1.7) nolu reaksiyonun  $k_1$  hız sabiti için S.Sarkar, M.S.Adhikari ve çalışma arkadaşları [3] pH 4-7 aralığında 50  $^{\circ}\text{C}$  de neredeyse sabit kaldığını ve  $2.61 \times 10^{-6} \text{ s}^{-1}$  değerinde olduğunu bulmuşlardır.

Eğer ortamda monomer varsa persülfatın ayrışma hız sabiti değişimekte- dir. Bu yüzden emülsiyon polimerizasyonunda persülfatın ayrışması bazı monomerlerin varlığında incelenmiş ve elde edilen hız sabitine özel olarak persülfatın indirgenmiş ayrışma hız sabiti denilmiştir. Bu konuda ilk araştırma Morris ve Parts (1968) tarafından yapılmıştır; sulu çözeltide 50  $^{\circ}\text{C}$  de persülfatın indirgenmiş ayrışma hız sabitleri akrilonitril, metil akrilat ve vinil asetat varlığında sırasıyla  $6.8 \times 10^{-6} \text{ s}^{-1}$ ,  $7.8 \times 10^{-6} \text{ s}^{-1}$  ve  $7.0 \times 10^{-5} \text{ s}^{-1}$  bulunmuştur. Aynı sıcaklıkta, saf sudaki persülfat ayrışma hız sabiti  $1.4 \times 10^{-6} \text{ s}^{-1}$ , ile karşılaşıldığımızda vinil asetat için 50 kattan fazla arttığını görürüz. Bu farklı hız sabitlerini elde etmemizin nedeni iki mekanizma ile açıklanmaya çalışılır. Birincisi vinil asetat gibi polar monomerlerin sülfat anyonları ve sülfat radikalleri gibi yüklü türleri sarması ki bu olay özel olarak "kafes kompleks mekanizması" olarak bilinir. İkincisi sulu fazdaki oligomerik radikallerin başlatıcı ile reaksiyona girerek indirgenmesidir. Fakat hangi mekanizmanın daha etkin olduğu hala tartışılmaktadır [ 4].

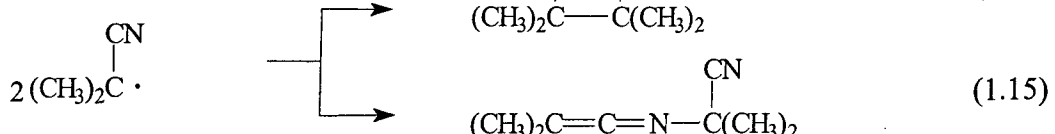
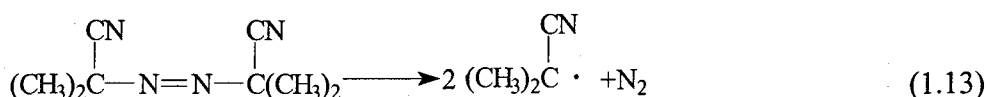
Meydana gelen yan reaksiyonların çeşitliliği, peroksitin yapısına, başlangıçta düzenlenen radikallerin kararlılığına ve monomer reaktivitesine bağlıdır. İdeal olarak bir peroksit başlatıcı pratikte reaksiyon hızını kontrol altına alabilmek için oda sıcaklığında kararlı olmalı ve polimer üretim sıcaklığında hızlı bir şekilde yeterince ayıışabilmelidir. Benzoiloksi radikalleri, karbondioksit çıkışı olmadan reaktif monomer molekülleri ile daha çok reaksiyon vermeye eğilimli olduğundan kararlıdır ve böylece başlatıcı kirleticileri azalır. Bu açıdan, benzoil peroksit, (yarı ömrü 100  $^{\circ}\text{C}$  de 30 dak.) avantajlıdır. Benzoiloksi radikallerinden daha kararlı olan ise t-bütoksi radikalleridir, bunlar neredeyse başlangıçta monomer tarafından kapılır, bununla birlikte ayrışma sıcaklığı karşılaştırıldığında yüksektir (yarı ömrü 126  $^{\circ}\text{C}$  de 10 saat). Tablo 1.1.2.1 de bazı başlatıcılar ve ayrışma sıcaklıkları verilmiştir.

**Tablo 1.1.2.1** Bazı peroksit başlatıcıları ve polimerizasyon sıcaklığı aralığı [5].

| PEROKSİT   | POLİMERİZASYON SICAKLIK ARALIĞI (°C) |
|--|--------------------------------------|
| $(\text{CH}_3)_3\text{COOC}(\text{CH}_3)_3$  | 100-135                              |
| $\text{Ph-COOH} (\text{CH}_3)_3$   | 50-120                               |
| $\begin{array}{c} \text{O} \quad \text{O} \\ \parallel \quad \parallel \\ \text{Ph}-\text{COOC}-\text{Ph} \end{array}$                                 | 38-80                                |
| $\text{K}_2\text{S}_2\text{O}_8$   | 50-90                                |
| $\begin{array}{c} \text{O} \quad \text{O} \\ \parallel \quad \parallel \\ (\text{CH}_3)_2\text{CHOC}-\text{OO}-\text{COCH}(\text{CH}_3)_2 \end{array}$ | 35-60                                |

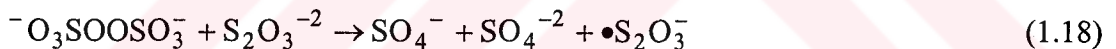
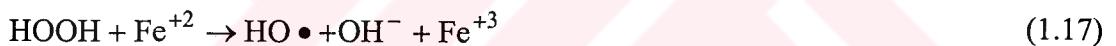
### Azot Bileşikleri:

En genel kullanılan azot bileşikleri, azot bağlanmış karbon grupları üzerinde siyano gruplarına sahip olanlardır, örneğin karşılaştırıldığında düşük sıcaklıkta ayıranan (yarı ömrü 80 °C de 1.3 saat)  $\alpha$ - $\alpha'$  azobis (izobutironitril)dir. Ayışma için yürütücü kuvvet azot gazının ve rezonans kararlı siyanopropil radikallerinin düzenlenmesidir (1.13). Peroksitin ayışmasıyla başlangıçta oluşan radikaller başlatıcı konsantrasyonu tükendiği için, çözgen kafesi içinde birleşebilirler. Birleşme, hem tetrametilsuksinonitril (1.14) hem de keteniminin (1.15) oluşmasına neden olur.



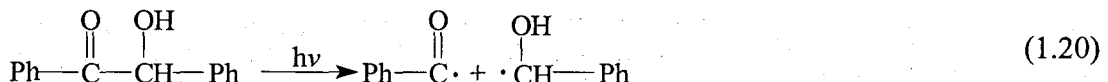
### **Redoks Başlatıcılar;**

Bir elektron transferi ile serbest radikal veren reaksiyonlar özellikle düşük sıcaklıktaki polimerizasyon ve emülsiyon polimerizasyonun başlatılmasında kullanışlıdır. Bazı klasik örnekler, (1.16), (1.17) ve (1.18) nolu eşitliklerde gösterilmiştir. Redoks sistemlerinin düşük sıcaklıkta çalışabilmesinden başka reaksiyon hızlarını metal iyon veya peroksitlerin çeşitli konsantrasyonları ile kontrol etmek kolaydır. Kumil hidroperoksitin ayrışması, ticari olarak stiren ve bütadienin düşük sıcaklıktaki emülsiyon polimerizasyonu ile stiren-bütadien kauçugunu oluşturmada kullanılır. Hidrojen peroksit veya persülfat sistemleri emülsiyon polimerizasyonunda, sulu fazda radikal üretmek için kullanılır. Susuz polimerizasyonlar için metal iyonları genellikle naftenatlar olarak gösterilir. Redoks başlatıcı sistemlerinin de çok sayıda birleşme reaksiyonları vardır.



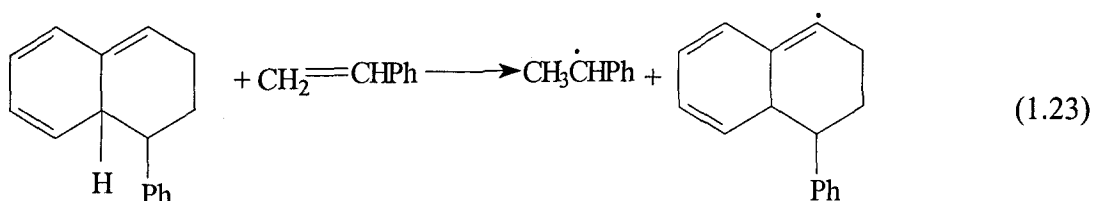
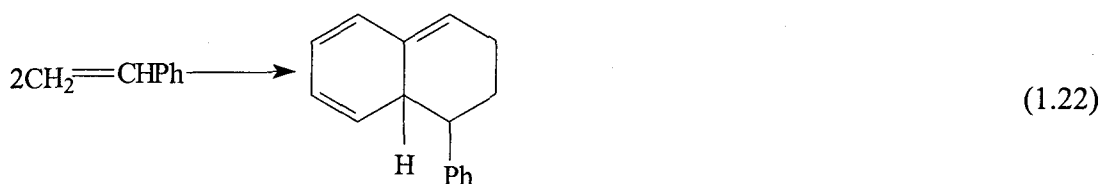
### **Fotobaşlatıcılar;**

Peroksitler ve azobileşikleri termal olarak parçalandıkları gibi fotolitik olarak da parçalanabilirler. Fotobaşlama olayının en büyük avantajı reaksiyonun sıcaklığa bağlı olmaması ve böylece polimerizasyonların çok düşük sıcaklıkta gerçekleşebilmesidir. Dahası polimerizasyon reaksiyonunun iyi bir şekilde kontrolü mümkündür. Çünkü dar dalga boyu bantları ayırmayı başlatmak için kullanılabilir ve reaksiyon ışık kaynağı kaldırılarak basitçe durdurulabilir. Fotobaşlatıcılar disülfitler (1.19), benzoin (1.20) ve benzil (1.21) bileşiklerini içeren geniş bir çeşitliliğe sahiptir.



### Termal Polimerizasyon;

Bazı monomerler başlatıcı eklemeden, ısıtarak yavaşça polimerize olurlar. Böyle durumlarda serbest radikal başlatıcı türleri mekanizmanın olmadığı ve çoğu durumda iyi anlaşılmayan yerlerde meydana gelir. Ticari olarak önemli vinil monomerlerinden stiren çok hızlı bir biçimde termal polimerizasyona uğrar. Mekanizma Diels-Alder (1.22) dimerlerin oluşumu ile başlama gösterir, burada monomere bir hidrojen atomu transfer edilir (1.23) ve stiril radikali ile bir benzillik radikal meydana gelir. Bu molekül indirgeme homolizi (radikal olmayan türlerin reaksiyonu ile hızlı radikal oluşumu) olarak bahsedilen bir örnektir. Başlatıcısız stiren fotopolimerizasyonu aşağıdaki yola benzer bir mekanizma gösterir.



### **Elektrokimyasal başlama;**

Monomer ve elektrolit içeren bir çözeltinin elektrolizi, polimerizasyonu başlatmak için kullanılabilir. Katotda, bir elektron bir radikal anyonu oluşturmak üzere bir monomer moleküline transfer olabilir ve anotta bir monomer molekülü bir radikal katyonu oluşturmak için bir elektronu bırakabilir. Radikal iyonların serbest radikal başlatma veya iyonik polimerizasyon veya her ikisini de vermesi elektroliz şartlarına bağlıdır. Çözeltideki diğer türler de polimerizasyonu başlatabilen diğer türleri üretmek üzere elektron transferi geçirebilir. Elektrokimyasal polimerizasyon özellikle polimer filmi metal yüzeylerine kaplamak için kullanışlıdır.

#### **1.1.3 Serbest Radikal Polimerizasyon Teknikleri**

Serbest radikal polimerizasyonu, çözelti, süspansiyon, kütle veya emülsiyonda yapılabilir. İyonik veya diğer radikalik olmayan polimerizasyonlar genellikle çözelti tekniği ile sınırlıdır. Her metodun Tablo 1.1.3.1 de gösterildiği gibi avantaj ve dezavantajları vardır. Ayrıca vinil monomerlerin gaz-fazı ve katı-faz polimerizasyonları da yapılır. Fakat bu çok önemli değildir. Çünkü polimerler uçucu değildir ve aslında gaz-fazı polimerizasyonu, monomer buharlarının polimerizasyon bölgesine diffüze oldukları kütle polimerizasyonudur.

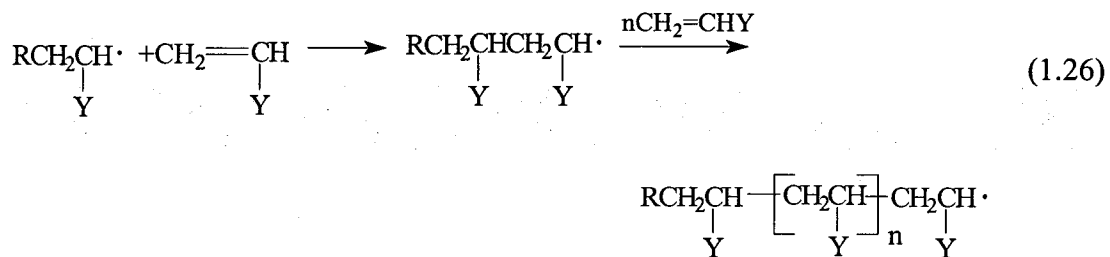
**Tablo 1.1.3.1 Serbest Radikal Polimerizasyon Teknikleri**

| Metod       | Avantaj   | Dezavantaj  |
|-------------|---|---|
| Kütle       | Basit; kirletici yok.   | Reaksiyon ısısının kontrol etmek zor; yüksek viskozite  |
| Süspansiyon | İşı hemen yayılır; düşük viskozite; granül polimer eldesi ve ürünün direk kullanılabilmesi  | Yıkama ve/veya kurutma gerekli, agglomerasyon meydana gelebilir, stabilizör ile kirletilir.   |
| Çözelti     | İşı hemen yayılır; düşük viskozite, çözelti olarak direk kullanılabilir.  | Eklenen çözgenin pahalı olması, çözgenin zor uzaklaştırılması, çözgene zincir transferi problemi, çevresel kirlilik.  |
| Emülsiyon   | İşinin hemen yayılması, düşük viskozite, yüksek molekül ağırlıklı polimer eldesi, emülsiyon olarak direk kullanılabilmesi, yapışkan polimer eldesi. | Özellikle klasik emülsiyon polimerizasyonunda, emülgatör ve diğer katkı maddeleri ile ürünün kirlenmesi, polimerizasyon derecesini kontrol etmek için zincir transferajanlarının gerekli olması, katı polimer için yıkama ve kurutma yapılması. |

#### 1.1.4 Polimerizasyon Mekanizması ve Kinetiği

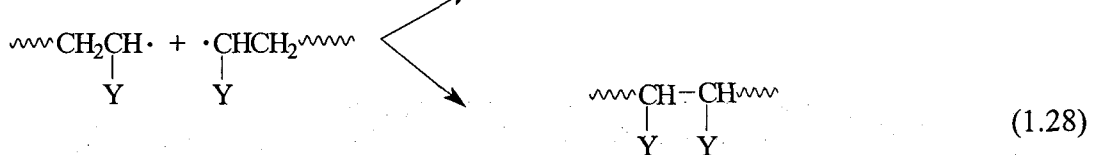
Serbest radikal zincir polimerizasyonunun başlama basamağı iki reaksiyon içe-rir; başlatıcı radikallerinin oluşması (1.24) ve başlatıcı radikallerinin monomerlere katılması (1.25). Başlatıcı radikallerinin tekrar birleştiğine dair kanıtlar son grupların kimyasal analizi ve spektroskopı ile ortaya çıkmıştır. Monomer radikalının diğer monomer moleküline eklenmesi ve uygun monomerlerin yeterli katılımları ile oligomer ve polimer radikallerinin oluşumunun bunu takip etmesi ilerleme reaksiyonlarını oluşturur (1.26).





Her katılma basamağında 1.26 reaksiyonunda gösterilen baş-kuyruk düzenlemesi genellikle baskındır. Bu elektronik ve sterik etkilerin birleşmesi yüzündendir. Sterik itme, saklı karbon çift bağına radikal saldırısını destekler ve rezonans kararlılık daha kararlı serbest radikal oluşumunu sağlar. Baş-baş polimerizasyonu çok yaygın olarak meydana gelmez. Baş-baş yapılarının önemli kısmı belli miktarda flor içeren polimerlerde ve farkedilir biçimde poli(vinil florit) ve poli(viniliden florit) (sırayla %13-17 ve %5-6 lik dönüşümlerde) ve poli(alil asetat) (polimerizasyon sıcaklığına bağlı olarak %19 un üzerindeki dönüşümde) gibi polimerlerde bulunmuştur.

İlerleme bazı reaksiyonların sonlanmasına kadar devam eder. Serbest radikal polimerizasyonunda sonlanma 2 teorik yolla meydana gelebilir; *radikal çifteleşmesi* veya *birleşmesi ile sonlanma* (1.27) ve bir zincirden diğerine bir atom (genellikle hidrojen) transfer edilen *orantısız sonlanma* (1.28). Her iki sonlanma reaksiyonu da difüzyon kontrollüdür ve elektron spin çifti gerektirir.



Sonlanmanın birleşme ile mi yoksa orantısız sonlanma ile mi olacağı büyük ölçüde monomer yapısına veya tamamen zincir sonu radikal yapısına bağlıdır. Polistiren radikalleri özellikle düşük sıcaklıkta birleşme ile sonlanma ile geçirirken poli(metil metakrilat) radikalleri çoğunlukla orantısız sonlanma geçirir, fakat genellikle her iki proses de meydana gelir. Bir sonlanma reaksiyonu neden tercih edilir? Sterik itme birinci faktördür. Birleşen poli(metil metakrilat) radikalleri etkin karbon üzerinde 4 hacimsel grup içerir. Ester gibi polar grupların elektrostatik itmesi birleşme için gerekli aktivasyon enerjisini yükseltebilir. Hidrojen transferinde alfa hidrojenine ulaşılabilirlik üçüncü faktördür; poli(metil metakrilat) da bu hidrojen sayısı 5 tir, polistiren radikallerinde ise 2 dir. Bununla birlikte sonlanmanın nasıl olacağını tahmin etmek kolay değildir, örneğin hemen hemen neredeyse özellikle  $60^{\circ}\text{C}$  de poliakrilonitril birleşme ile sonlama geçirirken poli(vinil asetat) orantısız sonlanma geçirir.

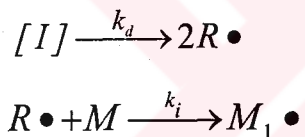
Başka mümkün olabilen sonlanma reaksiyonu zincir sonu radikalleri ile baştacı radikallerinin birleşmesidir (1.29). "Birincil radikal sonlanması" denen bu süreç yalnız yüksek başlatıcı seviyesinde veya çok yüksek viskozitede, yüksek molekül ağırlıklı zincir sonu radikallerinin diffüzyonunu sınırladığında önemli hale gelir.



Serbest radikal polimerizasyon kinetiğini basitleştirmek için başlama, ilerleme ve sonlanma hızlarının farklı olduğu, fakat her ilerleme basamağının özellikle başkuyruk şeklinde, zincir uzunluğundan bağımsız ve aynı hızda olduğu kabul edilir. Bu son yaklaşım, zincir yaklaşık dört monomer ünitesi içerdiginde, son grup etkisi ihmali edildiği için geçerlidir. Benzer şekilde birleşme ile veya orantısız sonlanma ile yapılan sonlanmanın hızı, zincir uzunluğundan bağımsız varsayılar. Önemli derecede başbaş düzenlenmesi olduğu yerde 4 ayrı ilerleme reaksiyonu hesaba katılmalıdır, bunlar; baş-radikal-baş, baş-radikal-kuyruk, kuyruk-radikal-baş, kuyruk-radikal-kuyruk dur.

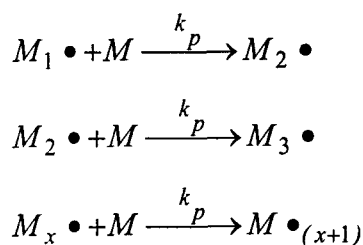
Başlama 2 basamakta oluşur; başlatıcı radikallerini ( $R\bullet$ ) vermek üzere başlatıcının ayrışması ve ardından  $R\bullet$  nin monomere katılarak yeni bir radikal oluşturulması ( $M_1\bullet$ )

#### *Başlama*



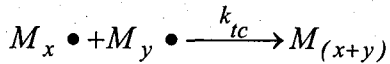
Bu iki reaksiyon için hız sabitleri  $k_d$  ve  $k_i$  dir. İlerleme basamağının (hız sabiti  $k_p$ ) başında  $M_1\bullet$  yeni radikal  $M_2\bullet$  oluşturmak üzere diğer monomer moleküllerine eklenir ve o radikalde monomere eklenerek  $M_3\bullet$  radikalini oluşturur ve böylece devam eder.

#### *İlerleme*

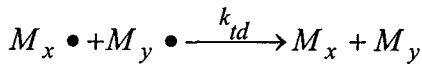


Daha önce de bahsedildiği gibi sonlanma radikal birleşmesi ile veya orantısız sonlanma ile meydana gelir.  $k_{tc}$  ve  $k_{td}$  hız sabitleri ilgili sabitlerdir.

### Sonlanma



Birleşme ile sonlanma



Orantısız sonlanma

Başlatıcı ayrışma hızının, başlatıcı radikallerinin monomere katılma hızına göre daha yavaş olduğu varsayılsa (doğal olarak serbest radikalın reaktivitesi yüksektir) her ayrışma ile oluşan iki radikalın oluşma hızı hesaplanarak, başlama hızı  $R_i$  ile gösterilir.

$$R_i = \frac{d[M \bullet]}{dt} = 2f k_d [I]$$

Burada  $[M \bullet]$  zincir radikallerinin toplam konsantrasyonunu,  $[I]$  başlatıcının molar konsantrasyonunu,  $f$  başlatıcının etkisini gösterir.  $f$  bir polimer zincirini başlatan başlatıcı radikallerinin kesridir ve daha önce tartışılan kirletici reaksiyonlarla azalmaz.

$$f = \frac{\text{Polimer zinciri oluşturan radikaller}}{\text{Başlangıçta başlatıcıdan meydana gelen radikaller}}$$

$f$  sayısı genellikle başlatıcı radikallerinin eklenmesi ile oluşan son grupların ölçülmesi ve reaksiyona giren başlatıcı miktarı ile karşılaştırılması ile belirlenir. Genellikle serbest radikal polimerizasyon prosesleri için  $f$  0,3-0,8 arasında değişir.

Sonlanma hız ifadesi;

$$R_t = -\frac{d[M \bullet]}{dt} = 2k_t [M \bullet]^2$$

2 sayısı iki radikalın tüketdiği bir sonlanma reaksiyonunu gösterir.  $k_t$  hız sabiti,  $k_{tc}$  veya  $k_{td}$  yerine kullanılmıştır.

Sonlanma hız sabitleri başlama hız sabitlerinden çok büyük oldukları için, biz reaksiyon başladıkten sonra radikallerin oluşumu ile tükenmesinin aynı hızlarda olduğunu kabul edebiliriz, böylece radikallerin konsantrasyonu  $[M\bullet]$  sabit kalır. Bu "kararlı hal yaklaşımı" olarak bilinir.

Böylece

$$R_i = R_t$$

veya

$$2fk_d[I] = 2k_t[M\bullet]^2 \quad \text{denklem çözülürse } [M\bullet];$$

$$[M\bullet] = \sqrt{\frac{fk_d[I]}{k_t}}$$

İlerleme için hız ifadesi

$$R_p = -\frac{d[M]}{dt} = k_p[M][M\bullet]$$

$[M\bullet]$  için verilen ifade yerine konursa;

$$R_p = -\frac{d[M]}{dt} = k_p[M] \sqrt{\frac{fk_d[I]}{k_t}} \text{ eşitliğini elde ederiz.}$$

Başlama bir defada biterken, ilerleme her zincir için çok sayıda monomer molekülü gerektirdiğinden, polimerizasyon hızı ilerleme hızına eşit kabul edilebilir. Polimerizasyon hızı böylece başlatıcı konsantrasyonunun karekökü ve monomerin konsantrasyonunun birinci kuvveti ile doğru orantılı olur. Böylece başlatıcı konsantrasyonu iki kat arttırılırsa yaklaşık 1.4 kat reaksiyon hızı artar. Bu ilişki çeşitli serbest radikal polimerizasyonları için deneyel olarak doğrulanmıştır. Çok sayıda ticari olarak önemli monomerlerin ilerleme ve sonlanma hız sabitleri ve ilgili aktivasyon enerjileri Tablo 1.1.4.1 de verilmiştir.

**Tablo 1.1.4.1** Sonlanma ve ilerleme hız sabitleri;  $k_p$  ve  $k_t$ , ve aktivasyon enerjileri,  $E_p$  ve  $E_t$  [ 4].

| Monomer          | Sıcaklık(°C) | $k_p$ (L/mol.s) | $E_p^*$ (kj/mol) | $k_t \times 10^{-6}$ (L/mol.s) | $E_t^*$ |
|------------------|--------------|-----------------|------------------|--------------------------------|---------|
| Akrilonitril     | 60           | 1960            | 16.2             | 782                            | 15.5    |
| Etilen           | 83           | 240             | 18.4             | 540                            | 1.3     |
| Metilakrilat     | 60           | 2090            | 29.7             | 9.5                            | 22.2    |
| Metil metakrilat | 60           | 515             | 26.4             | 25.5                           | 11.9    |
| Stiren           | 60           | 176             | 26.0             | 72                             | 8.0     |
| Vinil asetat     | 50           | 2640            | 30.6             | 116.8                          | 21.9    |
| Vinil klorit     | 50           | 11000           | 16               | 2100                           | 17.6    |
| Tetrafloroeten   | 40           | 7400            | 17.4             | $7.4 \times 10^{-5}$           | 13.6    |

Polimerizasyon hızı ile ilgili diğer önemli parametre "ortalama kinetik zincir uzunluğu" " $\bar{v}$ " dur. Polimerleşmenin başlatıldığı her bir zincirde polimerleşmiş monomer sayısıdır ve polimerizasyon hızı / başlama hızına eşittir. Kararlı hal şartları altında  $R_i = R_t$  olduğundan;

$$\bar{v} = \frac{R_p}{R_i} = \frac{R_p}{R_t}$$

$R_p$  ve  $R_t$  nin yerine önceki eşitlikler konulursa ;

$$\bar{v} = \frac{k_p[M][M^\bullet]}{2k_t[M^\bullet]^2} = \frac{k_p[M]}{2k_t[M^\bullet]} \text{ elde edilir.}$$

$[M^\bullet]$  için geçerli ifade bu eşitlikte yerine konursa;

$$\bar{v} = \frac{k_p[M]}{2(fk_t k_d[I])^{1/2}} \text{ elde edilir.}$$

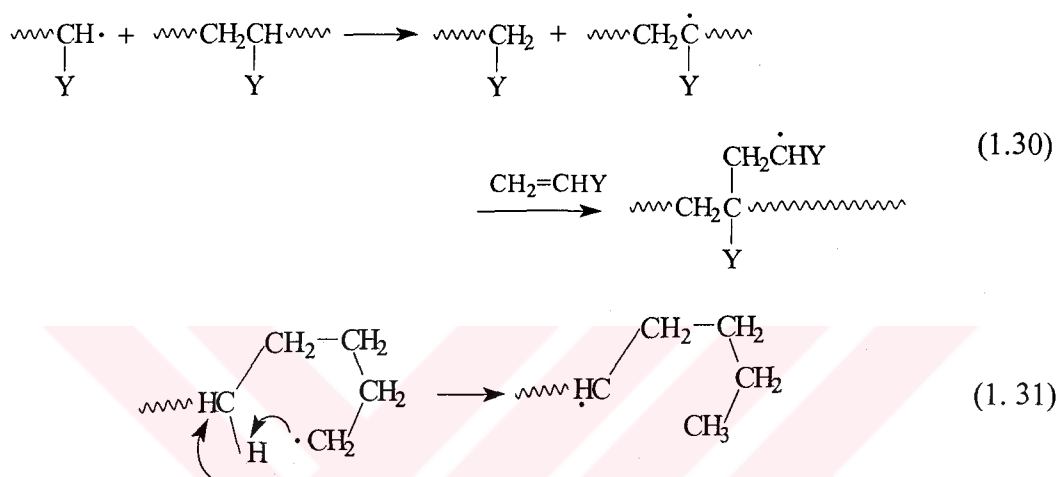
Böylece kinetik zincir uzunluğunun çeşitli hız ve konsantrasyon parametreleriyle ilgili olduğu görülür. Burada kinetik zincir uzunluğunun, hem başlatıcının hem de başlatıcı etkinlik katsayısının ( $f$ ) artmasıyla azalacağını belirtmeliyiz. Bu reaksiyonun ilk böülümlerinde mantıklıdır, çünkü gelişen zincir sayısı arttıkça sonlanma olasılığı artar. Böylece başlatıcı konsantrasyonu değiştirilerek molekül ağırlığı kontrol edilebilir.

Herhangi bir yan reaksiyon yokken kinetik zincir uzunluğu sonlanma şekline bağlı olarak polimerizasyon derecesi (ve böylece sayı ortalaması molekül ağırlığı) ile doğrudan ilgilidir. Eğer sonlanma orantısız sonlanma şeklinde meydana geliyorsa  $\overline{DP} = \bar{v}$ , birleşme ile sonlanma meydana geliyorsa  $\overline{DP} = 2\bar{v}$  dir.

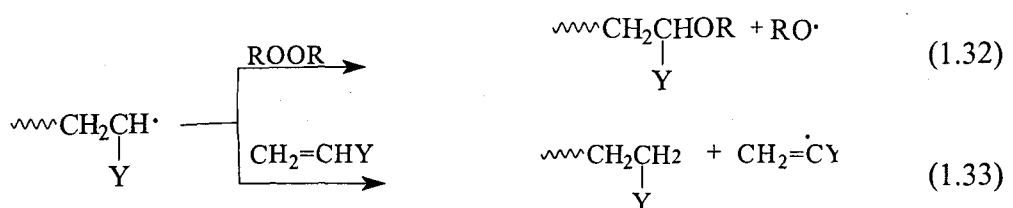
Yukarıda anlatılan kinetik eşitlikler her zaman geçerli olmayıp, bazı durumlar da sapmalar meydana gelir. Örneğin "Jel etkisi", "Trommsdorf etkisi" veya "Norris-Smith etkisi" gibi çeşitli şekillerde bahsedilen bir sapma, kütle polimerizasyonunda veya ortamın vizkozitesi çok yüksek olduğunda veya polimer çöktüğünde çözelti polimerizasyonunda meydana gelir. Daha viskoz bir ortamda zincir hareketliliği azalır ve zincir sonu radikallerinin sonlanmayı etkileyen pozisyonları oluşturma olasılığı da azalmış olur. Çünkü monomer molekülleri sonlanma hızı azalmış olsa bile hala aktif zincir sonlarına diffüze olabilirler, böylece polimerizasyon hızı önemli bir artış gösterir (veya otokatalitik etki meydana gelir) diyebiliriz. Hızdaki artış genellikle reaksiyon ekzotermının artışı eşlik edeceğinden, otokatalitik etki kütle polimerizasyonunda özellikle işlem zorluklarına neden olur. Aynı zamanda sonlanma hızındaki azalma daha yüksek molekül ağırlığına sahip polimerlerin oluşmasına da neden olur.

Kinetik davranışta görülen diğer bir sapma, zincir transfer reaksiyonlarında ortaya çıkar. Büyümekte olan polimer zincirinin reaktif kısmı ortamdaki diğer türlerle reaksiyona girer. Bu olayda zincir sonlanır ve aynı zamanda yeni bir radikal oluşur, bu nedenle zincir transfer reaksiyonları daha düşük molekül ağırlıklı ürünlerin oluşmasına neden olurlar. Serbest radikal vinil polimerizasyonlarının çoğunda zincir transfer reaksiyonları aynı şekilde meydana geldiği için genellikle geniş moleküller ağırlıklı dağılım görülür. Bilinen bazı zincir transfer reaksiyonlarını inceleyelim.

Bir zincir sonu radikali diğer bir zincirdeki hidrojen atomunu yakalayabilir, bu zincirin dallanmasına neden olan reaktif bir bölüm oluşturabilir (1.30) Hidrojenin yakalanması aynı zamanda molekül içinde de meydana gelebilir ki, bu süreç "geri kapma" (backbitting) olarak isimlendirilir (1. 31).



Zincir transferi aynı zamanda başlatıcı (1.32) veya monomere (1.33) veya çözgene olabilir.



Böyle durumlarda kinetik zincir uzunluğunu ilerleme hızının sonlanma ve transfer hızına oranı olarak yeniden tanımlamak gereklidir;

$$\bar{V}_{tr} = \frac{R_p}{R_t + R_{tr}}$$

Transfer reaksiyonları 2.dereceden olduğu için

$$R_{tr} = k_{tr} [M \bullet] [T]$$

Burada  $T$  transfer edicidir. Biz bütün mümkün olabilen transfer reaksiyonlarını da hesaba katarak  $\bar{v}_{tr}$  için yeni bir eşitlik yazabiliriz;

$$\bar{v}_{tr} = \frac{k_p [M][M \bullet]}{2k_t [M \bullet]^2 + \Sigma k_{tr} [M \bullet] [T]} = \frac{k_p [M]}{2k_t [M \bullet] + \Sigma k_{tr} [T]}$$

$\bar{v} = \frac{k_p [M]}{2k_t [M \bullet]}$  ifadesini hatırlarsak ve yukarıdaki formülde yerine koyarsak

$$\frac{1}{\bar{v}_{tr}} = \frac{1}{\bar{v}} + \frac{\Sigma k_{tr} [T]}{k_p [M]}$$

Bir monomer molekülü için transfer hız sabitinin ilerleme hız sabitine oranı genellikle zincir transfer sabiti olarak,  $C_T$  olarak belirlenir.

$$C_T = \frac{k_{tr}}{k_p}$$

Bu ifade de bir üst denklemde yerine konursa;

$$\frac{1}{\bar{v}_{tr}} = \frac{1}{\bar{v}} + \frac{\Sigma C_T [T]}{[M]}$$

Gördüğü gibi transfer hızı ve transfercinin konsantrasyonu arttıkça kinetik zincir uzunluğu azalır. Polimer literatüründe çok sayıda bileşen ve monomer için zincir transfer sabitleri bulunabilir ve birkaç tanesi Tablo 1.1.4.2 de verilmiştir [5]. Son derece etkili olan tiyoller kinetik zincir uzunluğunu kontrol etmek için kullandığımızda, bunu yapabilmek için gerekli transferci miktarını belirleyen diğer transfer işlemlerini ihmal etmek gereklidir. Transferci ajanın konsantrasyonu yüksek olduğunda

$k_{tr}$ ,  $k_p$  den daha büyük olur ve "telomerizasyon" denilen polimerizasyonlarla "telomerler" denen çok düşük molekül ağırlıklı polimerler elde edilir.

**Tablo 1.1.4.2 Zincir transfer sabitleri , Stiren ve Metil Metakrilat için  $C_T$  değerleri.**

| Transferci ajan    | Stiren  | Metil Metakrilat | $C_T \times 10^4$ |
|--------------------|---------|------------------|-------------------|
| Benzen             | 0.023   | 0.040            |                   |
| Toluen             | 0.125   | 0.20             |                   |
| Kloroform          | 0.5     | 1.77             |                   |
| Karbon tetraklorür | 90      | 2.40             |                   |
| Karbon tetrabromür | 22,000  | 2700             |                   |
| 1-Bütanol          | 210,000 | 6600             |                   |

Zincir transfer reaksiyonları aynı zamanda serbest radikal polimerizasyonlarını önlemek için de kullanılabilir. Alkilat fenol, vinil monomerler için bir stabilizör olarak eklenen bir bileşik çeşididir. Bu bileşik, polimerizasyonu başlatmaktan daha çok, birleşme reaksiyonu geçirmeyi seven yeni bir radikal oluşturmak üzere fenolik hidrojenini transfer eder. Böyle bileşiklere inhibitör denir ve genellikle depolama boyunca kendiliğinde olan polimerizasyonu önlemek için monomerlere eklenir.

## 1.2 Emülsiyon Polimerizasyonu

### 1.2.1 Klasik Emülsiyon Polimerizasyonu

Klasik emülsiyon polimerizasyonu, bir emülgatörün sulu çözeltisinde, bir monomer veya monomer karışımının serbest radikal zincir polimerizasyonu ile polimerleşmesidir. Ortaya çıkan ürün *lateks* olarak adlandırılır. Bu polimerizasyonun gerçekleştirilebilmesinde kullanılan temel içerik; monomer, su, emülgatör, başlatıcı ve zincir transfer ajanlarıdır.

Su hem süspansiyon hem de emülsiyonda en temel içeriktir. İnert ve sürekli bir faz olarak düşük viskozite ve iyi bir ısı transferi sağlar. Ayrıca polimerizasyon bölgesini izole eder. Bu ayırmayı; polimerizasyon hızı ve molar kütlenin aynı anda artışına neden olarak, özel bir avantaj sağlar. Su aynı zamanda monomer damlalarından ortama ve polimer parçacıklarına monomer transferi sağlar, başlatıcının radikallerine ayrıstoi ve oligomerlerinoluştuğu yerdir ve fazlar arasındaki emülgatörlerin dinamik değişimlerine izin veren bir ortamdır.

En genel suda çözünebilen başlatıcı persülfirik asitin inorganik tuzu potasyum persülfattır ve bu polimerizasyonu başlatan iki sülfat radikal anyonuna ayırsız. Redoks başlatıcılar, yani; genellikle yükseltgen bir madde ile indirgen bir maddenin radikal (persülfat-bisülfit) üreten karışımı, düşük sıcaklıktaki polimerizasyon için kullanışlıdır. Azot bileşikleri gibi, yalda çözünebilen başlatıcılar emülsiyon polimerizasyonunda parçacık morfolojisini kontrol etmek için ve polimerizasyon sonunda kalan monomerleri azaltmak için kullanılır.

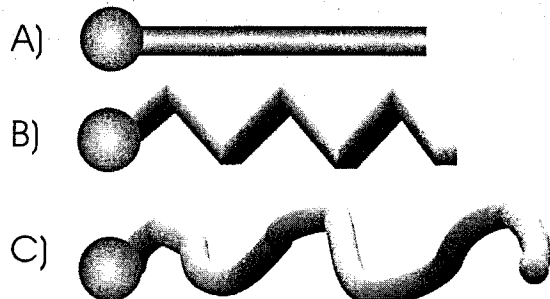
Merkaptanlar gibi çeşitli zincir transfer ajanları, polimerin molar kütlesini kontrol etmek için kullanılır.

Emülgatör (surfaktan olarak da ifade edilir) parçacık nükleasyonu için özel bir yer sağladığı gibi gelişmiş parçacıkların yüzeylerine adsorplanarak kolloidal kararlılık sağlar. Bu yüzden özel olarak incelenmelidir.

### **Emülgatörler;**

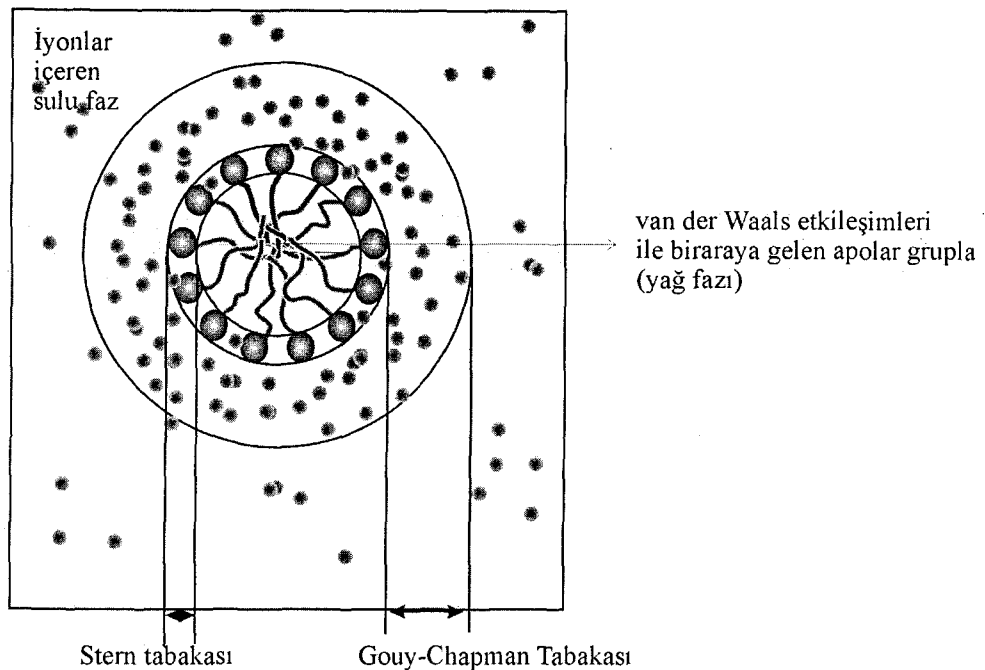
Teknik olarak "amfibiller" olarak bilinen kimyasal bileşiklerin bir sınıfıdır. Yunanca'dan gelen iki kelimenin de anlamı sevdikleri şey belli olmayandır. Böyle bileşiklerin molekülleri çok farklı özellikteki 2 bölgeden oluşur; birincisi polar (bir dipol veya yüklü grup) diğeri apolar (genellikle bir hidrokarbon veya halokarbon zinciri) bölgedir (Şekil 1.2.1.1). Her parça çok farklı çözünürlük özelliğine sahip olduğu için, moleküller herhangi bir çözgünde sınırlı çözünürlüğe sahiptirler ve iki faz arasındaki yüzey gerilimini azaltma eğilimi içersindendirler. En iyi bilinen örnekler sabunlardır, genellikle oleik, palmitik veya stearik asit gibi organik yağ asitlerinin

sodyum veya potasyum tuzları (örn. sodyum stearat, potasyum oleat) en çok kullanılan sabunlardır.



**Şekil 1.2.1.1** Bir emülgatör molekülü; yuvarlak baş grup polar, kuyruk apolar. Kuyruk C-C bağlı etrafında dönmek suretiyle sınırlı miktarda esnek. (A) Uzayda kapladığı yeri, (B) zincirdeki karbon sayısını, (C) esnekliği gösterir.

Düşük konsantrasyonda emülgatörler gerçek çözeltiler oluştururlar, fakat bazı moleküller sıvı bulunan kabin çeperleri üzerine veya hava-çözelti iç yüzeyine adsorbe olmaya başlar. Çünkü bu yolla molekülün iki farklı kısmı için uygun çevreyi bulmak mümkün olur. Konsantrasyon arttıkça adsorpsiyon artar ve diğer hidrokarbon zincirleri ile etkileşimler başlar. Bu basamakta normal şartlarda çözünme ilerler, fakat şimdi yeni bir süreç söz konusudur. Çözeltideki moleküller "miseller" denen aggregatları oluşturmaya başlar. Her misel için yaklaşık 50-100 molekül biraraya gelir (Şekil 1.2.1.2). Bu süreç "kritik misel konsantrasyonu" (cmc) denen bir konsantrasyonda meydana gelir.



**Şekil 1.2.1.2** Bir misel molekülü ve etrafındaki elektriksel alan.

Sodyum dodesil sülfat miselleri ilk düzenlendiklerinde küresel şekildedir, fakat konsantrasyon arttıkça boyutları büyür ve onlar daha az simetrik ve aynı boyda diskler ve çeşitli diğer yapılar oluşturmaya eğilim gösterirler. Bir sabun miselinde aggregat üzerinde gelişmiş elektriksel bir yük vardır, fakat bu kısım zıt iyonlarla dengelenir (elektriksel çift tabaka) ve miselin yüzeyi ile orantılı olarak sabit kalmıştır.

Misellerin oluşmasının bir sonucu olarak yüksek miktarda emülgatör çözünebilir ve miseller yeni bir yüzey için molekül sağlayabilen emülgatör kaynağı olarak görev yapar. Diğer bir ilginç nokta çözünürlük olaylarıdır, normalde suda çözünmeyen organik bir bileşik miselin içindeki yağısı bölgeye hareket ederek emülgatör çözeltisinde çözünebilir. Örneğin stirenin  $40^{\circ}\text{C}$  de sudaki çözünürlüğü  $0.00308 \text{ mol L}^{-1}$  kadarken palmitat çözeltisi içindeki çözünürlüğü  $0.096 \text{ mol L}^{-1}$  dir. Özellikle emülsiyon polimerizasyonunda suda çözünürlüğü az olan monomerlerin çözünürlüğü ortama konulan emülgatörlerle arttırılarak, uygun polimerizasyon hızı sağlanır.

## **1.2.2 Emülsiyon Polimerizasyonunda Parçacık Oluşum Mekanizmaları**

J.W. Vanderhoff [6] , polimer parçacıklarının oluşması için önerilmiş pek çok mekanizmayı parçacık çekirdeğininoluştuğu yere göre dört ana kategoriye ayırmıştır;(i) monomerle şışmiş misellerde, (ii) adsorbe olmuş emülgatör tabakasında, (iii) sulu fazda ,(iv) monomer damlalarında.

Mohammed S.El-Aaaser ve E.David Sudol [7] ise parçacık oluşumunu monomerin sudaki çözünürlüğüne göre 3 mekanizma altında toplamıştır;

### ***1. Miselli nükleasyon;***

Sulu fazda oluşan başlatıcı radikalleri, monomerle şışmiş misellere girer ve polimer parçacık oluşturmak üzere, tek bir radikal veya oligoradikal olarak ilerleme reaksiyonları verir. Miselden biri radikal kapar ve bir polimer parçacık oluşur. Başlatıcının girmediği misel, emülgatörleri ve monomer moleküllerini parçacıkları büyütmek üzere bırakır. Parçacık nükleasyonu misellerin gözden kaybolması ile son bulur, bundan sonra parçacık sayısı genellikle sabit kalır. Bununla birlikte bazı durumlarda azalır, çünkü burada kolloidal kararlılığı koruyacak yeterli emülgatör yoktur. Ya da parçacık sayısı hafifçe artabilir. Miselli nükleasyon suda çözünürlüğü az olan ( $[M_{aq}] < 15 \text{ mmol dm}^{-3}$ ) monomerler için ilk nükleasyon mekanizması olarak düşünülebilir.

### ***2. Homojen Nükleasyon;***

Sulu fazda oluşan radikaller monomer birimlerine katılarak suda çözünebilen oligomerlere dönüşürler, çözünürlük sınırına ulaştıktan sonra çözelti içinde çökerler [8]. Çöken oligomerik radikaller emülgatör, moleküllerini adsorbe ederek kararlı halde ilk parçacıkları oluşturur, bunlar monomer absorbe ederek polimerizasyonu devam ettirir ve gelişirler. Bu ilk parçacıklar kendilerini koruyabilir veya birbirleri ile koagüle olabilirler veya gelişmiş kararlı parçacıklar oluşturabilirler. Polimerizasyon boyunca parçacık boyutu (ve sayısı) gelişim süreci ve son parçacık

boyutu (ve sayısı), surfaktan miktarı ve onun gelişen parçacıkları kararlı hale getirebilmesi ile belirlenir.

Genelde koagülasyonla meydana gelen parçacık oluşumu daha baskındır. Bu nükleasyonda ilk olarak homojen nükleasyonun bir alt kolu olarak düşünülebilir. Koagülasyonda ilk olarak homojen nükleasyonla meydana gelen küçük boyutta ilk parçacıklar aggregatlaşarak kararlı hale gelirler. Bu mekanizmadaki farklı bir özellik ilk çekirdek parçacıklarının çok küçük boyutta olması ve içinde çok düşük konsantrasyonda monomere izin vermesidir, onlar hacimce ilerleme reaksiyonlarından daha hızlı bir biçimde koagülasyonla büyürler. Bu parçacıklar uygun miktarda monomer absorblayabildiği zaman, onların olgun lateks parçacıkları olduğu düşünülebilir.

Homojen nükleasyon südaki çözünürlüğü yüksek monomerler ( $[M_{aq}] > 170 \text{ mmol dm}^{-3}$ ) kullanıldığından baskın hale gelir. Aynı zamanda homojen nükleasyon, emülgatör konsantrasyonu kritik misel konsantrasyonun altında ve emülgatörsüz emülsiyon polimerizasyonu sistemlerinde parçacık oluşumu için birincil mekanizmadır [ 8, 9 ,10,11] . Daha sonra ilk parçacıkların ve gelişen parçacıkların kararlılığı parçacık yüzeyi üzerindeki başlatıcıdan gelen iyonik grupların (sülfat gibi) varlığı ile sağlanır, bunlar bu parçacıklara elektrostatik kararlılık verir.

### **3. Damla Nükleasyonu;**

Sulu fazda oluşan radikaller emülgatör adsorplamış monomer damlalarına tek bir radikal veya oligoradikal olarak girer ve parçacık oluşturmak üzere polimerizasyonu ilerletirler. Monomer damları yüzeyindeki emülgatör moleküllerinin adsorbsiyonu nedeniyle kolloidal kararlıdır ve polimer parçacığı büyür. Damla nükleasyon mekanizması ile parçacık oluşumu, geleneksel emülsiyon polimerizasyonu için önemsiz olarak düşünülebilir, bununla birlikte damalar mikroaltı boyutta olduğunda, onlar parçacık oluşumu için ilk kaynak olurlar. Damla nükleasyonunda, monomerlerin südaki çözünürlüğü hayli azdır ( $< 1 \text{ mmol dm}^{-3}$ ).

Bu mekanizma hem mini emülsiyon polimerizasyonu hem de mikro emisyon polimerizasyonunda öncelikli olarak düşünülür. Burada küçük boyutta damalar radikaller için etkili bir şekilde yarışır. Bu sistemlerde bir "kosurfaktan" kullanmak gere-

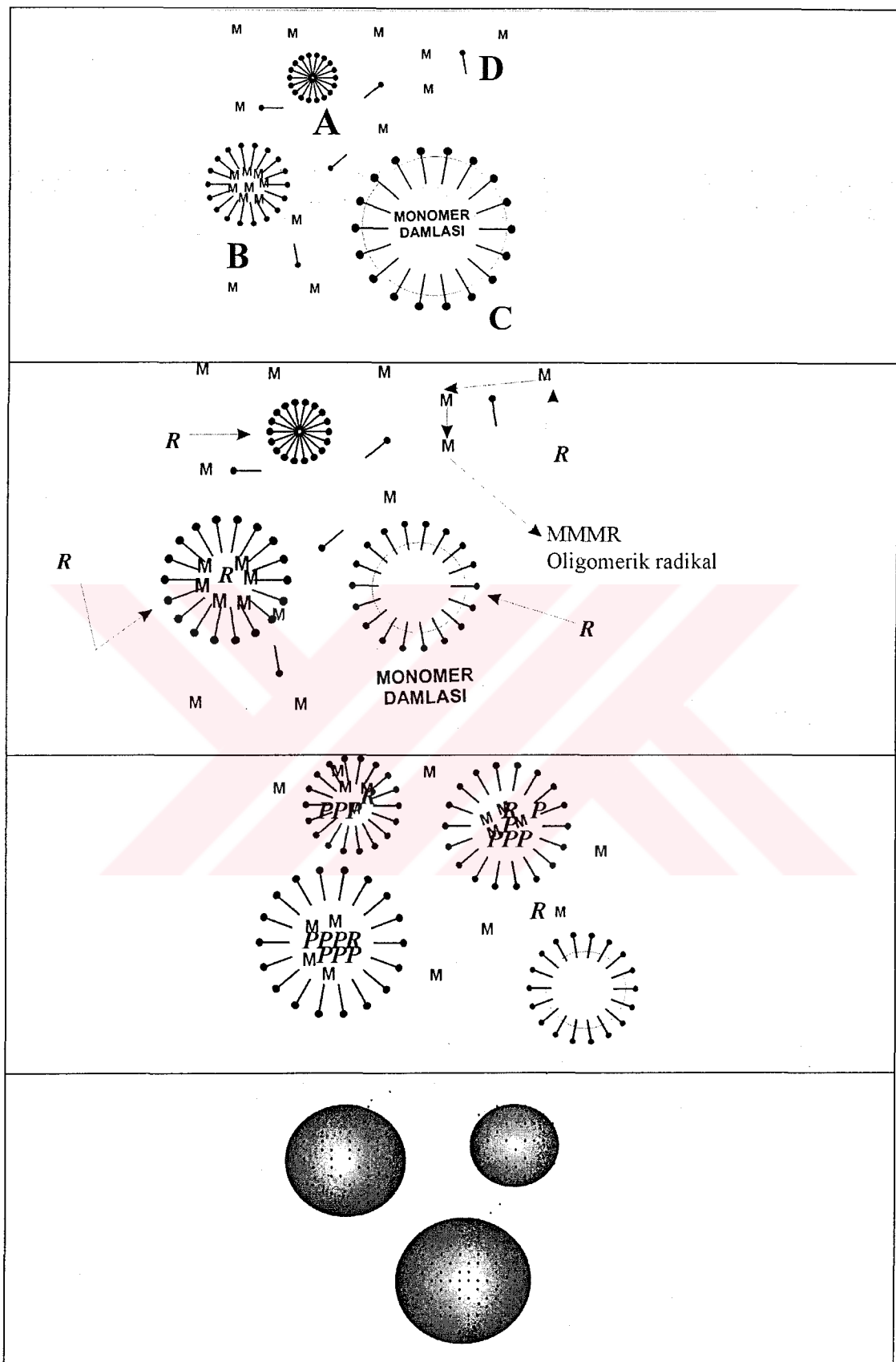
kir. Mini emülsiyon sistemlerinde kosurfaktan (hekzadekan veya setil alkol) düşük molar kütleli ve sudaki çözünürlüğü az olmalıdır. Mikro emülsiyon sistemleri için kosurfaktan genellikle düşük molar kütleli alkoller, (pentanon veya hekzanon gibi) dir. Mini emülsiyon polimerizasyonu ile ilgili orjinal çalışmalarında 20 mini emülsiyon damlasının bir tanesini bir parçacık oluşturmak üzere radikal yakaladığı gösterilmiştir [7]. Diğerleri parçacık büyütmek için monomer besleme görevi yapar.

Bütün bunlardan daha farklı olmak üzere özellikle emülgatörsüz emülsiyon polimerizasyonları için Arai ve çalışma grubu [12] tarafından büyüyen radikallerin parçacık nükleasyonu izleyen terminasyon sonucu ölü türleri oluşturdukları önerilirken, Goodall ve çalışma grubu [13], belli bir boyut ve konsantrasyonuna ulaşan serbest radikallerin yüzey aktif hale geldiklerini ve miselleşmeye uğradığını kabul etmişlerdir.

Goodall ve Wilkinson, farklı sıcaklıklarda başlatıcı olarak persülfat ile stirenin sulu çözeltilerinde polimerizasyonunu gerçekleştirerek, yüzey aktif oligomerlerin miselleşmelerinin tamamen parçacık nükleasyonu ile olduğunu önermişlerdir [13]. Vanderhoff, Goodall ve Wilkinson emülgatörsüz emülsiyon polimerizasyonun ilk aşamalarında elektron mikroskopu ile küçük miseller gibi parçacıkların bulunduğu gözlemlendiklerini bildirmiştir. Bu ilk aşamalarda alınan örnekler üzerinde jel geçirgenlik kromatografisi grafiklerinin sonuçları yaklaşık 1000 moleküller ağırlık madde fraksiyonlarına ve  $10^6$  moleküller ağırlığından meydana gelmiştir. Düşük molekül ağırlıklı fraksiyonun miktarı, reaksiyonun ilerlemesi ile artma göstermemiş, yalnızca reaksiyonun ilk adımı esnasında miktarda oluştuğu görülmüştür. Bu öneride göre; oligomerik serbest radikaller arasındaki terminasyonun büyük kısmı reaksiyonun ilk aşamasında meydana gelir. Tamamen yüzey aktif oligomerlerin miselleşmeleri ile üretilen miseller, polimerizasyonun daha ileri gitmesine yardım edip, Jel Geçirgenlik kromatograflarında (GPC) gözlenen daha yüksek moleküller ağırlıkların oluşmalarına neden olur [34].

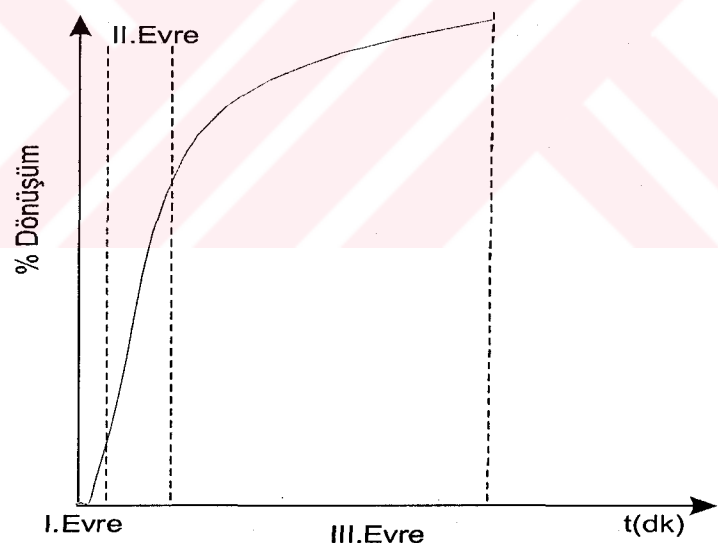
### **1.2.3 Emülsiyon Polimerizasyonuna Genel Bir Bakış;**

Emülsiyon polimerizasyonunun en önemli özelliği baştan sonra heterojen olmasıdır (Şekil 1.2.3.1). Monomer(ler), su ve emülgatör(ler) karıştırıldığında moleküller, monomerle şişmiş hidrofobik kabuğu olan misellere ayrılır. Misellerin büyüklükleri genellikle  $50\text{-}150 \text{ Å}^0$  arasındadır ve onların sayı yoğunluğu da  $10^{17} - 10^{18} \text{ dm}^{-3}$  tür. Bununla birlikte emülgatör molekülleri ile adsorbe olmuş daha büyük boyutta monomer damlaları da vardır, onların boyutları  $1\text{-}10 \text{ } \mu\text{m}$  ve sayı yoğunluğu  $10^9\text{-}10^{11} \text{ dm}^{-3}$  arasındadır. Başlatıcı eklendiğinde sulu fazda genellikle  $10^{16} - 10^{18} \text{ radikal dm}^{-3} \text{ s}^{-1}$  hızları arasında radikal oluşur ve bu radikaller sulu fazda çözünmüş monomer moleküllerine ( toplam monomerin küçük bir kısmını oluşturur) eklenderek oligoradikallere dönüşür. Bu noktada bir veya daha fazla mekanizma ( miselli, homojen ve damla mekanizmaları) parçacık nükleasyonu polimer parçacıklarını oluşturmak üzere başlar. Bu arada monomer damalarından monomer diffüzyonu ile polimer parçacıkları şiser ve parçacığın gelişmesinde ilerleme reaksiyonlarının meydana geldiği ana yer olur. Reaksiyon başlamamış misellerdeki emülgatörler dağılır ve gelişmiş parçacıkların yüzeylerine adsorbe olarak parçacıkların kolloidal kararlılığını sağlarlar. Bütün monomerler polimere dönüştüğünde polimerizasyon tamamlanır. Sonuçta oluşan ürün sulu fazda dispers olmuş ve adsorbe edilmiş emülgatör tabakası ile stabilize edilmiş mikroaltı polimer parçacıklarıdır.



Şekil 1.2.3.1 : Emülsiyon polimerizasyonu sırasında türlerin dönüşümü A: Misel, B: Monomerle şişmiş misel, C: Emülgatörle emülsiyon olmuş monomer daması D: Çözünmüş emülgatör M:Monomer, R:Radikal, P:Polimer.

Pek çok araştırmacı emülsiyon polimerizasyonu üç evreye ayırır, I.evre parçacık oluşum basamağı, II. ve III. evrede parçacık gelişim basamaklarını içerir. (Şekil 1.2.3.2) I. evre ortamdaki emülgatör konsantrasyonu yeni bir parçacık oluşturmaya-  
cak kadar azaldığında yani hepsi adsorbe edildiğinde biter. I.evre genellikle kısadır,  
parçacık oluşumu düşük dönüşümlerde (%5) tamamlanır. II.evrede polimer parça-  
cıkları (yaklaşık  $0.02\text{-}1.00 \mu\text{m}$ ) ile birlikte büyük monomer damlları ( $1\text{-}10\mu\text{m}$ ) var-  
dır. Bu evrede polimerizasyon polimer parçacıklar içinde, damlalardan monomer  
diffüzyonu ile ilerler. II. evre bu damlalar ortadan kalktığında biter. Genellikler bu  
olay %40 dönüşümlerde meydana gelir. III. evrede genellikle polimerizasyon hız-  
lanmıştır. Çünkü polimer zincirleri yeterince büyündüğünde zincir sonlarındaki radi-  
kallerin sonlanma reaksiyonu verme olasılığı azalır. Ve bu reaksiyonu diffuzyon  
kontrollü yapar. Özellikle yüksek dönüşümlerde (%98) bu durum daha da önemli  
hale gelir [14].



**Şekil 1.2.3.2** Emülsiyon polimerizasyonunun zamana karşı % dönüşüm grafiklerinde I.,II ve III. evre.

#### 1.2.4 Emülsiyon Polimerizasyon Kinetiği

Emülsiyon polimerizasyonu serbest radikal katılma polimerizasyonu olduğu i-  
çin bütün kinetik olaylar başlama, ilerleme, sonlanma ve transfer reaksiyonları şek-

linde özetlenebilir. Bununla birlikte polimerizasyonun heterojen yapısı, içeriklerin fazlar arasında (misel fazı, sulu faz, monomer damla fazı ve parçacık fazı) paylaşılması yüzünden bazı karışıklıklara neden olur. Bu içeriklerin paylaşılması polimerizasyonun ilk anlarında bütün fazlarda polimerizasyonu mümkün kılar, daha sonra yani monomer damlları gözden kaybolduktan sonra, bu fazlar parçacık fazı ve su fazı olarak ikiye iner.

Emülsiyon polimerizasyondaki heterojenliğin en önemli sonuçlarından bir tanesi polimerizasyon sisteminde, monomerle şişmiş polimer parçacık içinde yüksek oranda radikal ayrışmasıdır. Polimerizasyon bölgelerinin, geniş bir sıcaklık aralığında ve başlatıcı konsantrasyonunda, önemli miktarda radikal üretebilmesi polimerizasyon hızı ve polimer molar kütlerinin her ikisinin de aynı zamanda artabilmesinin nedenidir. Bu emülsiyon polimerizasyonu diğerlerinden (kütle, çözelti veya süspansiyon) ayıran önemli bir özelliklektir. Daha sonraki süreçlerde genellikle hızı artırmak için yapılan herhangi bir girişim molar kütlenin azalmasına neden olacaktır. Aşağıdaki genel eşitlikler, polimerizasyon hızı,  $R_p$ , ile sayı ortalaması polimerizasyon derecesi  $X_n$ 'ni emülsiyon polimerizasyonu ve kütle, çözelti veya süspansiyon polimerizasyonu için karşılaştırmalı olarak verilmiştir. Emülsiyon polimerizasyonu için,

$$R_p = k_p [M] \bar{n} N / N_A \quad (1.34)$$

$$X_n = k_p [M] \bar{n} N / R_i \bullet \quad (1.35)$$

Burada  $k_p$  ilerleme hız sabiti, parçacık içindeki  $[M]$  monomer konsantrasyonu,  $\bar{n}$  her parçacıkta ortalama radikal sayısı,  $N$  birim hacimdeki lateks parçacık sayısı,  $R_i \bullet$  radikal çoğalma hızı (veya toplam radikal absorbsiyonu) ve  $N_A$  avogadro sayısıdır. Kütle, çözelti veya süspansiyon polimerizasyonu için;

$$R_p = k_p [M] (R_i \bullet / 2k_t)^{1/2} \quad (1.36)$$

$$X_n = k_p [M] (2 / R_i \bullet k_t)^{1/2} \quad (1.37)$$

$k_t$ : Sonlanma hız sabiti. Eşitlik (1.34) ve (1.35) hem polimerizasyon hızının hem de molar kütlenin, sabit başlama hızında polimer parçacık sayısı arttıkça N, aynı zamanda arttığını gösterir. Buna emülgatör konsantrasyonunun artışı da eşlik eder. Polimerizasyon hızı çözelti kütle, veya süspansiyon polimerizasyonlarında başlama hızı arttıkça artabilir, bununla birlikte eşitlik (1.37) te görüldüğü gibi molar kütlede bir azalma meydana gelecektir.

Emülsiyon polimerizasyonunda diğer önemli özellik eşitlik (1.34) ve (1.35) de bulunan her parçacık içinde ortalama radikal sayısıdır. Bu polimerizasyon olayı boyunca molar kütle ve hızın belirlenmesinde anahtar bir parametredir. Bu sayı radikalın çoğalma hızı, polimer parçacık sayısı, parçacık içine radikal giriş katsayısı, radikal çıkış (girişten sonraki desorbsiyon) ve sonlanma reaksiyonlarının bir fonksiyonudur. Her parçacık içindeki ortalama radikal sayısı polimerizasyon süreci boyunca sabit değildir ve değeri yukarıda sayılan faktörlerden özellikle monomerin sudaki çözünürlüğünden geniş bir şekilde etkilenir. Smith ve Ewart [15]  $\bar{n}$  için üç limit durum bildirmiştir. Birinci durum  $\bar{n}$  sayısının 0.5 ten küçük olması ile belirlenir, burada radikal çıkış hızı, giriş hızından yüksektir ve sudaki çözünürlüğü yüksek olan monomerler içindir. İkinci durumda  $\bar{n} = 0.5$ 'tir. Burada parçacıkta radikal çıkış hızı önemsiz olduğundan sonlanma her an olabilir, böylece herhangi bir anda parçacık ya 0 yada 1 tane ilerleyen zincire sahiptir. Böyle sistemler zero-one sistemlerdir ve genellikle stiren emülsiyon polimerizasyonu böyledir. 3. durum  $\bar{n}$  sayısının 0.5 ten çok büyük olma durumunu gösterir. Parçacık içinde sonlanma hızı giriş hızından küçük ve parçacık hacmi hayli büyüktür.

### Parçacık Sayısı

Smith - Ewart teorisinde parçacık nükleasyonu için ana yer surfaktan miselleridir. Parçacık sayısı aşağıdaki gibi verilir.

$$N = k(\rho / \mu)^{0.4} (a_s S)^{0.6} \quad (1.38)$$

$\rho$ : radikal çoğalma hızı,  $\mu$ : parçacık hacminin genişleme hızı,  $a_s$ : bir emülgatör molekülü tarafından kaplanan alan,  $S$ : misel içindeki toplam emülgatör miktarı (Çözünmüş emülgatör miktarı ihmal edilir).

Namura (1979) ve Hansen ve Ugelstad (1980) birinci evre boyunca zincir transfer radikallerinin oligoradikale absorbsiyonu / desorbsiyonu / tekrar absorbsiyonun önemini farketti ve aşağıdaki genel eşitliği türetti [7].

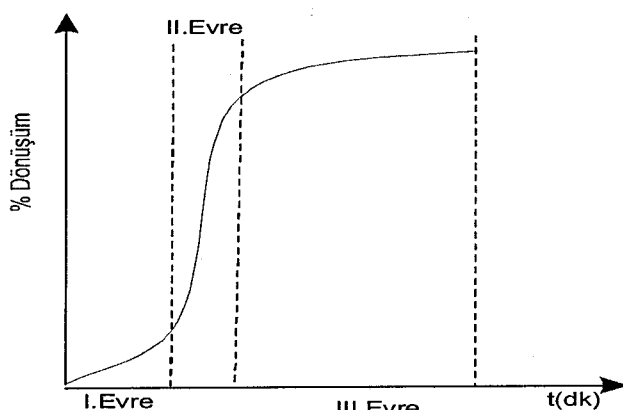
$$N = k(\rho / \mu)^{1-z} (a_s S)^z \quad (1.39)$$

$z$  sayısı zincir transfer sabitine ve monomerin sudaki çözünürlüğüne bağlıdır ve  $0.6 < z < 1.0$  dir.  $S$  ile ilgili olarak bir artış  $\rho$  ile ilgili bir azalşa neden olacaktır. Bu genellikle sudaki çözünürlüğü stirenden daha büyük olan vinilasetat, metil metakrilat ve vinil klorit gibi monomerler için geçerlidir.

Emülsiyon polimerizasyonun kinetiğindeki incelemeler polimerizasyon hızının belirlenmesi ve onun monomer, emülgatör, başlatıcı konsantrasyonu, sıcaklık ve ortam özellikleri (ionik şiddet, pH vb.) gibi polimerizasyon parametrelerine bağlılığı üzerinedir. Deneysel yaklaşımlar dönüşüm zaman eğrilerinin çeşitli parametreler üzerine belirlenmesi ile başlar, belirli zaman aralıkları üzerine zamana karşı dönüşüm birinci türevi alınarak polimerizasyon hızı hesabı ile devam eder. Hız profili genellikle zamana karşı ve dönüşüme karşı planlanır. Kinetik analizi tamamlamak için parçacık sayısını ve parçacık içindeki monomer konsantrasyonunu, dönüşümün bir fonksiyonu olarak bilmek gerekdir ki her parçacık içinde ortalama radikal sayısı  $\bar{n}$ , hesaplamamıza izin versin. Parçacık sayısı genellikle % dönüşüm bilgisi ve TEM veya SEM (Transmission veya Scanning Elektron Mikroskopu) ile veya ışık tarama metodu ile ölçülen parçacık boyutu ile hesaplanır. Parçacık içindeki monomer konsantrasyonu, termodinamik analizle, reaksiyona girmemiş monomer miktarıyla ve parçacık sayısı ve parçacık boyutu bilgileri ile tahmin edilebilir. % dönüşümün belirlenmesi klasik olarak gravimetri, gaz kromotografisi veya dilometre ile takip edilebilir. Bütün deneysel yaklaşımların doğru olduğunu varsayırsak polimerizasyon hızını belirlemek için dönüşüm zaman eğrisinin türevi alınmalıdır.

### 1.2.6 Emülgatörsüz Emülsiyon Polimerizasyonu

Klasik emülsiyon polimerizasyonu ile elde edilen polimer kolloidler, bilim ve teknolojinin farklı alanlarında; örneğin elektron ve ışık mikroskoplarında kalibrasyon standartı olarak, filtrelerin ve biyolojik membranların porluk tayinlerinde, kolloidlerin adsorpsiyon, folekülasyon gibi davranışlarını açıklamada kullanılabilirler. Bununla birlikte geleneksel emülsiyon latekslerinin kullanımı bazı problemleri beraberinde getirir. İstenen boyutta parçacık üretmek için özel şartlar belirlemek gereklidir, yeniden aynı ürünü almak zordur ve parçacığın saflaştırılması zor bir işlemidir. Ve en önemlisi emülgatörün tam olarak uzaklaştırılması oldukça zordur ve tam olarak uzaklaştırılamaz [16]. Fakat bazı monomerler emülgatörsüz olarak da emülsiyon polimerizasyonuna uğrayabilirler. Emülgatörsüz emülsiyon polimerizasyonu ile elde edilen kolloidler monodispers, temiz yüzeyli ve parçacık yüzeyinin kimyasal yapısı ve yükü ile kararlı halededirler. Özellikle klasik emülsiyon polimerizasyonunda kullanılan emülgatörün burada kullanılmaması, çevresel anlamda bir avantaj sağlarken, endüstriyel olarak daha pratik ve ekonomik üretimleri sağlamaktadır. Bu tip polimerizasyonun yüreme mekanizması klasik emülsiyon polimerizasyonundan biraz daha farklı şekilde gerçekleşir. Emülsiyon polimerizasyonundaki I.evre, parçacık oluşumunun yavaş gerçekleşmesi nedeniyle daha uzun sürer. II. evre daha kısalıdır ve birden yüksek dönüşümlere (%80) ulaşılır. Elde edilen grafik bir “S” şeklindedir (Şekil 1.2.6.1).



Şekil 1.2.6.1 Emülgatörsüz emülsiyon polimerizasyonundaki evreler.

### **1.2.6.1 Parçacık nükleasyon ve gelişim mekanizmaları**

Emülgatörsüz emülsiyon polimerizasyonu için birkaç nükleasyon mekanizması önerilmiştir. İlk olarak Fitch [8] bu tür polimerizasyon için homojen nükleasyon mekanizmasını önermiştir. Song ve Pohlein bir dizi makalede [9-11] iki basamaklı bir model ortaya koymuştur. Birinci basamak, oligomerik radikallerin çok sayıda misel oluşturmaları ile belirlenir. Oligomerik radikaller kararlılıklarını kaybederler ve yüzey yük yoğunluklarını azaltmak için bu basamağın sonunda koagülasyon geçirirler. İkinci basamak koagülasyon nedeniyle parçacık sayılarındaki azalmayla başlar ve parçacık nükleasyonu ile koagülasyon arasında bir denge kurulmasıyla devam eder. Fakat daha önce de belirtildiği gibi parçacık oluşum mekanizması monomerin sudaki çözünürlüğü ile birebir ilişkilidir. Bu yüzden monomerin çözünürlüğünə göre radikallerin olası durumları incelenmelidir.

Önemli derecede suda çözünebilen monomerlerin (örn MMA :0.15 mol /L 318K de) polimerizasyonu, su fazında suda çözünebilen (örn K<sub>2</sub>S<sub>2</sub>O<sub>8</sub>) bir başlatıcı ile başlar. Bu durumda oligomerik radikaller bir kaç reaksiyon verebilir;

- i. Su fazında çözünen monomer moleküllerine eklenerek kritik zincir uzunluğuna erişikten sonra ilk yüklü parçacıkları oluşturmak üzere çökerler.
- ii. Diğer suda çözünebilen radikallerle birleşerek nötral yüzey aktif maddeleri oluştururlar.
- iii. Diğer suda çözünmüş radikallerle sonlanma reaksiyonu vererek foleküle olur.

Bu süreçte meydana gelen doğal emülgatör parçacığı kararlı hale getirir ve oligomerik radikallerin çözünürlüğünü arttırır. Bu reaksiyonlarda her biri nükleasyon olayını monomerin (veya radikalın) çözünürlüğüne bağlı olarak etkileyebilir.

Polimerizasyonun ilerlemesi, olmuş ilk primer parçacıkların radikal kapması ve burada polimerizasyonun devam etmesi şeklindedir. Fitch, radikallerin kapılmasının parçacıkların toplam yüzey alanları ile doğru orantılı olduğunu ileri sürmüş fakat daha sonraki çalışmalar [12, 18] radikal yakalama hızının toplam yüzey alanına bağlılığının sadece sürecin ilk anlarında önemli olduğunu daha sonra ise radikal diffüzyonun önemli hale geldiğini göstermiştir. Parçacık sayısı başlama reaksiyonla-

rının hızı arttıkça artarken radikal yakalama hızı arttıkça azalır. Bununla birlikte oluşan parçacıklar onları daha kararlı yapan folekülasyona uğrayabilirler. Bu durum da parçacık sayısının azalmasına neden olacaktır. Arai ve çalışma grubu toplam parçacık sayısının kritik zincir uzunluğuna bağlılığını zamanın bir fonksiyonu olarak göstermiştir [12].

Stiren ( $2.6 \times 10^{-3}$  mol/L 298K de) gibi suda çözünürlüğü az olan monomerlerin emülgatörsüz emülsiyon polimerizasyonu önemli farklılıklar içerir. Kritik zincir uzunluğu küçük olduğundan reaksiyonun ilk anlarında çok sayıda primer parçacık folekülasyonla meydana gelir [13]. Ayrıca kısa zincir radikallerin tekrar birleşme olasılığı yüksek olduğundan çok sayıda birleşme ve yüzey aktif oligomerler meydana gelecektir. Böylece mekanizma miselli mekanizmaya benzeyecek ve oluşan miseller suda çözünen monomerleri absorblayarak süreç polimer-monomer parçacığı içinde devam edecektir. Oluşan polimerin molekül ağırlığı sonlanma reaksiyonları nedeniyle küçüktür. Benzer mekanizma stirenle aynı çözünürlüğe sahip N-Bütil metakrilat için P. Bataille [17] tarafından önerilmiştir.

Bu polimerizasyonda en önemli noktalardan biri; kolloidal taneciklerin kararlılığını sağlayan yüklü yüzey gruplarının başlatıcıdan doğmasıdır. Klasik emülsiyon polimerizasyonunda kolloidin kararlılığı; başlatıcıdan gelen yüklü gruplar + emülgatörden gelen gruplar ile sağlanırken, bu tip polimerizasyonda ancak başlatıcıdan gelen yüklü gruplar ile sağlanacaktır. Bu nedenle taneciklerin klasik emülsiyon polimerizasyonundaki taneciklerle karşılaştırıldığında bu tip polimerizasyon ile elde edilen taneciklerin daha büyük olması beklenebilir ki bu gerçekten böyledir.

### 1.3 Kolloidal Kararlılık

Kolloidal sistemler çok sayıda küçük parçacıkların bir sıvı içinde serbestçe hareket edebildiği akışkanlar olarak düşünülür. Bununla birlikte bu parçacıklar Brown hareketleri nedeniyle birbirleriyle sıkça çarpışırlar. Eğer sistem kararlı değilse çarpışma sonucu birbirlerine yapışıp kalabilirler ki bu olaya agglomerasyon veya aggregatlaşma denir. Bu birleşme onları yavaşlatacak fakat hala diğer parçacıklarla

çarpışmaları devam edecektir ve bu durum onların hareketsiz kalmasına kadar devam edecektir. Eğer sistemde parçacıklar çarşıtıklarında, onların yapışmalarını engelleleyen bazı mekanizmalar varsa parçacıklar bireysel olarak kalabilirler. Bu durum kolloid kimyasında kararlılık olarak adlandırılır. Kararlılığını sağlayan iki mekanizma vardır:

- 1) Parçacığın sahip olduğu elektriksel yük (pozitif veya negatif). Eğer parçacıkların hepsi aynı yüke sahipse onlar birbirlerini belli bir mesafeden sonra iteceklerdir.
- 2) Parçacıkların yüzeyleri yüzey aktif maddeler veya polimerlerle adsorbe edilerek kaplanabilir. Bu da onların birbirlerine yaklaşmalarını engelleyecektir.

Yukarıda sözü edilen birinci durum **elektrostatik kararlılık** ikinci durum ise **sterik kararlılık** olarak isimlendirilir. Emülsiyon polimerizasyonunda elde edilen latekslerin kararlılığı emülgatörden veya başlatıcıdan gelen yüklü grupların etkisiyle elektrostatik olarak sağlanır.

### 1.3.1 Elektrostatik Kararlılık

#### Yüzeydeki elektrik yükü ve elektriksel çift tabaka:

Çoğu kolloidal parçacıklar elektriksel olarak yüklüdür, onların yükü elektriksel alanda izlenerek kolayca bulunabilir. Şekil 1.3.1.1 pozitif yüklü kolloid parçacığın etrafındaki elektriksel yük dağılımını ve elektriksel potansiyeli değişimini gösterir. Bu konudaki ilk çalışmalar 19. yüzyılın ortalarında Helmholtz tarafından yapılmış ve bir metal yüzeyi üzerindeki elektrik yükünün, yüzeyin biraz yakınındaki çözeltide bulunan doygun haldeki eşit yüklerle dengelendiği öne sürülmüştür. Fakat kinetik moleküller teorinin gelişmesiyle yüklerin iyonlar üzerinde olduğu ve onların termal enerjileriyle hareket edebildikleri farkedilerek, 1910'larda yeni bir model Fransız Gouy tarafından öne sürülmüştür. Birkaç yıl sonra İngiliz Chapman tarafından geliştirilen model, günümüzde Gouy-Chapman Elektiksel Çift Tabaka Modeli olarak bilinir. Bu modele göre metal yüzeyi üzerindeki elektriksel yük elektrolit içindeki iyon dağılımını etkiler ve yüzeyin yakınında karşı işaretli iyonların olduğu bir çözelti tabakası oluşturur.

Yüzeye yakın herhangi bir noktadaki elektrostatik potansiyel,  $\psi$ , bu noktanın komşu bölgelerindeki birim hacmindeki net elektriksel yük sayısıyla ilgilidir; hacimsel yük yoğunluğu,  $\rho$ , pozitif veya negatif iyonların miktarnı ölçer. Elektrostatik teoriye göre  $\psi$  ve  $\rho$  arasındaki ilişki düz bir yüzey için Poisson eşitliği ile verilir.

$$\frac{d^2\psi}{dh^2} = -\rho/\epsilon_w = -\rho/\epsilon_0\epsilon_r \quad (1.40)$$

Burada  $\epsilon_w$ ; suyun (ortamın) dielektrik sabiti,  $\epsilon_0$ ; boşluğun dielektrik sabitidir. Bu teoride yüzeye paralel tabakalarda potansiyel sabittir ve yalnızca uzaklık,  $h$ , potansiyeli belirler.

İyonlar sadece bölgelerin elektrostatik potansiyel etkisi altında kalmazlar, aynı zamanda termal enerjileri de onları etkiler.  $i$  tipindeki iyonların sayısı  $n_i$  Boltzmann eşitliği ile verilebilir;

$$n_i = n_i^0 \exp(-W_i/kT) \quad (1.41)$$

$n_i^0$ ; yüzeyden uzaktaki çözeltide birim hacimde  $i$  tipindeki iyonların sayısı,  $k$ ; Boltzmann sabiti,  $T$ ; sıcaklık (Kelvin olarak).  $W_i$  elektrostatik enerjidir,  $W_i = z_i e \psi$  şeklinde hesaplanabilir, burada yüzeyden uzaktaki çözeltide  $\psi$  sıfır olduğundan aynı türler birbirini itecek ve zıt iyonlar çekilecektir. Hacimsel yük yoğunluğu,  $\rho$ , elektrolit çözeltisinde komşu noktalardan oluşmuş birim hacimde her bir tür iyonun toplamıdır;

$$\rho = \sum_i n_i z_i e = \sum_i n_i^0 z_i e \exp(-z_i e \psi / kT) \quad (1.42)$$

Eşitlik 1.40 ve 1.42 yeniden düzenlenirse Poisson-Boltzmann eşitliği yazılabilir;

$$\frac{d^2\psi}{dh^2} = -\frac{1}{\varepsilon_0 \varepsilon_r} \sum_i n_i^0 z_i e \exp(-z_i e \psi / kT) \quad (1.43)$$

Eğer iyonların elektriksel enerjisi termal enerjisinden küçükse ( $|z_i e \psi| < kT$ ) e nin üssü büyüyeceğinden ( $e^{z_i e \psi} = 1 + h + h^2 / 2! + \dots$ ) sadece ilk terimi alınabilir;

$$\frac{d^2\psi}{dh^2} = -\frac{1}{\varepsilon_w} \left( \sum_i n_i^0 z_i e - \sum_i n_i^0 z_i^2 e^2 \psi / kT \right) \quad (1.44)$$

Çözeltinin elektronötral olması ilk terimi sıfır yapar ve eşitlik yeniden düzenlenirse;

$$\frac{d^2\psi}{dh^2} = \left( \frac{\sum_i n_i^0 z_i^2 e^2}{\varepsilon_w kT} \right) \psi = \kappa^2 \psi \quad (1.45)$$

$$\kappa = \left( \frac{\sum_i n_i^0 z_i^2 e^2}{\varepsilon_w kT} \right)^{1/2} \quad (1.46)$$

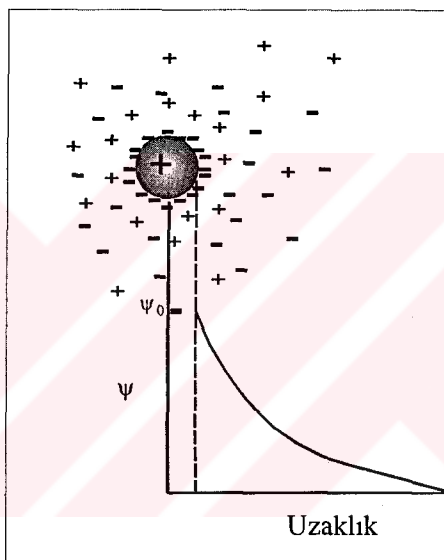
Buradaki  $\kappa$  parametresi Debye-Hückel parametresi olarak ifade edilir ve birimi (uzunluk)<sup>-1</sup> dir.  $\kappa$  parametresi çift tabaka teorisinde önemli bir rol oynar.  $1/\kappa$ , “çift tabakanın kalınlığı” olarak belirtilir.  $\kappa$  parametresi sıcaklığa ve çözeltinin elektrolit konsantrasyonuna bağlıdır. 25 °C de su için  $\kappa$  değeri aşağıdaki gibi verilebilir;

$$\begin{aligned} \kappa^2 &= (2000 F^2 / \varepsilon_0 \varepsilon_r R T) I \\ \kappa &= 3.288 \sqrt{I} (nm^{-1}) \end{aligned} \quad (1.47)$$

$F$ ; faraday sabiti,  $I$ ; çözeltinin iyonik şiddetidir.

$$I = \frac{1}{2} \sum_i (c_i z_i^2) \quad (1.48)$$

$c_i$  çözelti konsantrasyonudur. Eşitlik 1.47 de görüldüğü gibi sabit sıcaklıkta iyonik konsantrasyon arttıkça çift tabakanın kalınlığı azalır ve bu süreç "çift tabaka sıkışması yada incelmesi" olarak bilinir. Kalınlık yüksek konsantrasyonlarda (yaklaşık 1M) 1 nanometre iken, seyreltik çözeltilerde ( $10^{-5}$  M) bir kaç yüz nanometreye yayılır (Şekil 1.3.1.1).



Şekil 1.3.1.1 Yukarıda parçacık etrafındaki potansiyel ve değişimi

Benzer şekilde iyonların da yüklü parçacıklar olduğunu düşünürsek yukarıda ki hesaplamalar iyonlar için de geçerlidir. İyonun etrafında oluşan yük düzenlemelerine genellikle iyonik atmosfer denir. Bir iyon sulu çözeltide sahip olduğu iyonik atmosfer nedeniyle sahip olduğu iyonik çaptan daha büyük bir çapa sahipmiş gibi davranışır. Sulu çözeltide etrafındaki iyon bulutu içerisinde çok defa su molekülleri girdiğinden bu çapa hidrasyon çapı da denmektedir. Hidrasyon çapı ile iyonların elektriksel iletkenliği ( $\lambda$ ) arasındaki ilişki Stokes yarıçapı hesaplanmalarında dikkate alınır. Stokes yarıçapı, iyonların çözelti içindeki olası büyülüklüğü gösterir.

$$r_{stokes} = 9214 |z_i| (\lambda_i^\infty)^{-1} \quad (1.49)$$

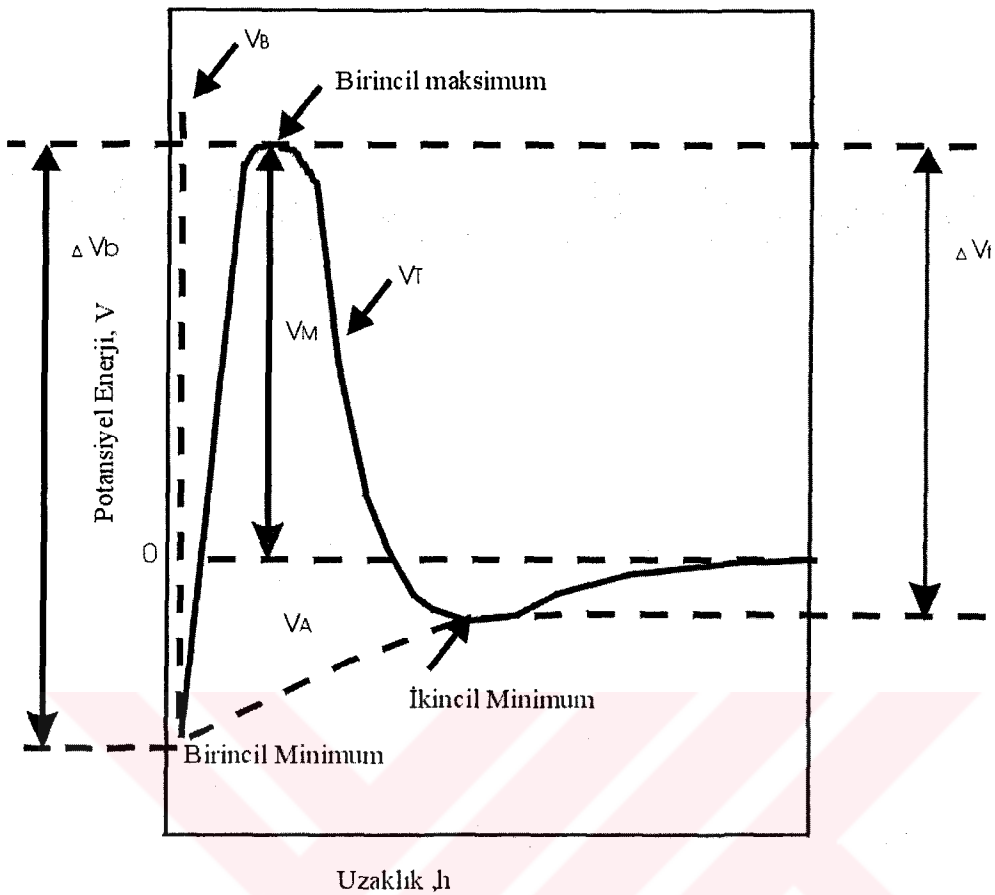
## Potansiyel Enerji Değişimleri ve DLVO Teorisi

Elektrostatik olarak kararlı parçacıkların kararlılığı Derjaguin, Landau, Verwey ve Overbeek (DLVO teorisi) in önerdiği bir potansiyel enerji diyagramı ile açıklanır. İki parçacık arasında oluşan potansiyel enerji, itme ( $V_R$ ) ve çekme ( $V_A$ ) potansiyel enerjilerinin toplamıdır. Elektriksel alandaki elektromagnetik alan etkisi ihmali edilir. Bu toplama Born itmesinden kaynaklanan potansiyel enerji ( $V_B$ ) de ilave edilirse toplam potansiyel enerji etkileşimi;

$$V_T = V_R + V_A + V_B \quad (1.50)$$

$V_T$ , uzaklığın ( $h$ ) bir fonksiyonu olarak değerlendirilir. Şekil 1.3.1.2 iki küresel parçacık arasındaki etkileşimlerin potansiyel enerjilerini gösteren bir diyagramdır, bu diyagramdan ortaya çıkan özelliklerise;

1. Kısa uzaklıklarda potansiyel enerji eğrisi derin bir minumum yapar. Buna birincil minumum denir ve  $h_0$  a en yakın mesafeye belirlenir. Bu derin düşüş yüzey enerjisini iki kat dağıtmasıyla ilgilidir.
2. Orta uzaklıklarda elektrostatik itme, çekmeden daha baskındır. Böylece eğride bir maksimum oluşur. Buna birincil maksimum denir ve büyülüğu  $V_M$  olarak gösterilir.
3. Daha uzak mesafelerde eğri itmeyle üssel azalma gösterirken, çekmekte  $1/h^a$  bağlı olarak azalır ve bir minumum meydana gelir. buna ikincil minumum denir ve büyülüğu  $V_{SM}$  ile gösterilir.
4. İki parçacığın birleşmesi için gerekli aktivasyon enerjisinin  $\Delta V_f / kT$  olduğu düşünülür.
5. Birincil minumunda iki parçacıyı ayırmak için gerekli enerji  $\Delta V_b$  dir.  $\Delta V_b \gg \Delta V_f$  ise, parçacıklar birincil minumunda birarada iken onları tekrar dispers etmek için enerji gerekli olacaktır.



Şekil 1.3.1.2 Uzaklığı ( $h$ ) karşı  $V_T$  eğrisinin şematik gösterimi

$V_M$  sıfıra yaklaşıkça parçacıkların birbirlerine yaklaşmaları için gerekli olan aktivasyon enerjisi sıfıra yaklaşır ve birincil minimumda birleşirler. Bu şartlar altında dispersiyon kararsızdır, çekme etkileşimleri baskındır ve parçacıklar birbirine yapışır ve bu süreç **koagülasyon** olarak isimlendirilir.

#### **Elektrolit katılımıyla koagülasyon**

Koagülasyon sürecine elektrolit etkisini, potansiyel enerji diyagramını kullanarak inceleyebiliriz.  $V_M$  sıfır olduğunda  $V_B$  ihmal edilebilir. Bu noktada

$$V_T = V_R + V_A \quad (1.51)$$

$V_T = V_M = 0$  ise

$$V_R = -V_A \quad (1.52)$$

ve

$$\frac{dV_R}{dh} = -\frac{dV_A}{dh} \quad (1.53)$$

$V_R$  yerine

$$V_R = 2\pi\epsilon_r\epsilon_0(4kT/e)^2 R\gamma^2 \exp(-\kappa h)/z^2 \quad (1.54)$$

ve  $V_A$  yerine

$$V_A = -AR/12h \quad (1.55)$$

koyarsak, ve  $h=1/\kappa$  ise aşağıdaki eşitliği elde ederiz;

$$\kappa_{koag} / m^{-1} = 2.0389 \times 10^{10} \gamma^2 / Az^2 \quad (1.56)$$

Özellikle simetrik elektrolitler için  $\kappa$ , koagülasyonun meydana geldiği elektrolit konsantrasyonu, yani kritik koagülasyon konsantrasyonu (ccc) ile direk ilişkili dir;

$$ccc / mol dm^{-3} = 3.853 \times 10^{-39} \gamma^4 / A^2 z^6 \quad (1.57)$$

A; Hamaker sabiti;  $\gamma$ ; yüzey gerilimi z; iyon değerliği

Görüldüğü gibi koagülasyon sürecinde iyonların değerliği önemlidir, değerlik arttıkça koagülasyon konsantrasyonu azalır ve koagülasyon hızlanır. Bu kurala özel olarak Schulze-Hardy kuralı denir [19].

$\gamma$  parametresi yüzey potansiyeline  $\psi_s$  bağlıdır. Küçük yüzeyler için ( $\psi_s < 25$ mV) eşitlik tekrar düzenlenirse;

$$ccc / mol dm^{-3} = 3.451 \times 10^{-35} \psi_s^4 / A^2 z^2 \quad (1.58)$$

Yine düşük potansiyellerde  $\psi_s$ , zeta potansiyeli  $\xi$ , ölçülerek bulunabilir;

$$ccc / moldm^{-3} = 3.451 \times 10^{-35} \xi^4 / A^2 z^2 \quad (1.59)$$

Yukarıdaki eşitliklerden de anlaşılabileceği gibi yüzey yükü küçük olan parçacıklar daha hızlı koagüle olurlar. Fakat tüm bu eşitliklerde koagülasyon meydana getiren iyonların kimyasal yapısı ihmali edilmiştir. Son yıllarda yüzey yakınındaki solvasyon etkileri de araştırılmaktadır. Çeşitli tuzlara ait koagülasyon konsantrasyonları Tablo 1.3.1.1 de verilmiştir.

**Tablo 1.3.1.1 Bazı elektrolitlerin koagülasyon konsantrasyonları ( $mmol L^{-1}$ ) [20]**

| Değerlik     | $As_2S_3$ sol (negatif) |      | Fe(OH) <sub>3</sub> (pozitif)                 |       |
|--------------|-------------------------|------|---|-------|
| 1 değerlikli | LiCl                    | 58   | NaCl  | 9.25  |
|              | NaCl                    | 51   | 1/2 BaCl <sub>2</sub>                         | 9.65  |
|              | KNO <sub>3</sub>        | 50   | KNO <sub>3</sub>                              | 12    |
| 2 değerlikli | MgCl <sub>2</sub>       | 0.72 | K <sub>2</sub> SO <sub>4</sub>                | 0.205 |
|              | MgSO <sub>4</sub>       | 0.81 | MgSO <sub>4</sub>                             | 0.22  |
|              | ZnCl <sub>2</sub>       | 0.69 | K <sub>2</sub> Cr <sub>2</sub> O <sub>7</sub> | 0.195 |

### 1.3.2 Emülgatörsüz Emülsiyon Polimerizasyonu ile Elde Edilen Lateksin Kararlığını Etkileyen Faktörler

#### a) Yüzey Aktif maddeler

Polimerizasyon boyunca oluşan suda çözünebilir oligomerler düşük molekül ağırlıklı yüzey aktif maddeler gibi hareket ederler. Bu yüzden toplam polimerizasyonda sulu fazda radikallerin sonlanması önemli bir rol oynar. Radikal sonlanması suda çözünebilir yüzey aktif maddelerin belli bir konsantrasyonunda miselleri oluşturmaları izler. Yamazaki, emülgatörsüz MMA latekslerin polimerizasyon boyunca oluşan oligomer ve yüzey aktif polimerler tarafından kararlı hale getirildiğini latekslerin diyalizi ile göstermiştir [18].

### **b) Elektrostatik faktör**

H.Ono, MMA in emülgatörsüz emülsiyon polimerizasyonunu potasyum persülfatın çeşitli konsantasyonlarında yapmış ve elde edilen latekslerin parçacık yüzeyinlerinde farklı zeta potansiyelleri bulmuştur. Diyaliz ettiği latekslerin konduktometrik titrasyonu ile parçacıklar üzerinde güçlü asit sulfat grupları bulmuştur. Parçacık yük yoğunluğunun, doğrusal olarak başlatıcı konsantrasyonuna bağlı olduğunu göstermiştir [18]. Bunun dışında monomerin kendisi de fonksiyonel bir grup içerdiginde yüzey gruplarının değiştiği çeşitli çalışmalarda gösterilmiştir [21].

Ottowil ve Shaw, sülfat gruplarının makromoleküllere kovalent olarak bağlandıklarını ve parçacık yüzeyine yerleşerek bir elektrolit içinde lateksin kararlılığını etkilediğini söylemiştir [18]. Persülfat başlatıcısı ile elde edilen emülgatörsüz lateksler dispers bir ortamda her zaman düşük molekül ağırlıklı elektrolit içerirler ve bu parçacık boyutunu ve kararlılığını etkilediği gösterilmiştir [22, 23, 24 ].

Sıcaklık artışı ( başlama hızının artması sonucu) lateksin kararlılığını artırır. Sıcaklığın artması ile boncuk boyutu azalır, yüzey yükü ve kararlılık artar.Bu nükleasyonun hızlı bir biçimde olması ve parçacıkların çabucak oluşan oligomerik radikallerle kararlı hale gelmesi ile açıklanabilir [22,23,24 ].

Ortamın iyonik siddeti ve elektrolit konsantrasyonu, yüzey yükünü etkileyeceden elektrostatik kararlılığı etkiler [25,26,27,28,34,35].

### **c) Yapısal faktör**

Sulu fazdaki polimer polaritesi yüzey etkileşimlerine neden olur. bu etkileşimler yüzey enerjisini azaltır ve lateksin agregatlaşma kararlılığını etkiler. Lateks parçacıkların hidrofilik yüzeyi arttıkça dispersyonun kararlığı artar, tersine hidrofobiklik artarsa kararlılık azalır.[29,30] Latekslerin hidrofilik-hidrofobik özellikleri monomer bileşimi değiştirilerek ayarlanabilir [31].

## 1.4 Polimerlerin Molekül Ağırlıkları

Polimerizasyon reaksiyonlarında polimerizasyonun ilerlemesi ve sonlanması tamamen rastlantısal olarak gerçekleşmektedir. Bu nedenle ister ortaya çıkan ürün çeşitli moleküller ağırlıklardaki polimer moleküllerinin bir karışımıdır. Bu yüzden polimerler için bir moleküller ağırlık dağılımından ve ortalama bir molekül ağırlığından söz etmek zorunda kalınır. Polimerlerin molekül ağırlık ortalamaları moleküller ağırlığının elde edilişine göre üç kategori altında toplanır.

### Sayı Ortalaması Molekül Ağırlığı ( $\bar{M}_n$ )

Donma noktası alçalması, kaynama noktası yükselmesi, osmotik basıncı, buhar basıncı düşmesi gibi kolligatif özelliklerin ölçülmesine dayanan yöntemlerle elde edilir. Bir polimer örneğindeki moleküllerin toplam ağırlıkları  $w$  kadarsa molekül başına düşen moleküller ağırlığı,  $n_i$ ,  $M_i$  molekül ağırlığındakilerin kesri ve  $X_i M_i$  ağırlığındaki moleküllerin mol kesri olmak üzere eşitlik

$$\bar{M}_n = \frac{w}{\sum_i n_i} = \frac{\sum_i n_i M_i}{\sum_i n_i} = \sum_i X_i M_i \quad (1.60)$$

eşitliği yazılabilir.

### Ağırlık Ortalaması Molekül Ağırlığı ( $\bar{M}_w$ )

Işık saçılması ultrasantrifüj ile sedimentasyon gibi dağılımda büyük moleküllerin taşıdığı ağırlığı yansitan yöntemlerle elde edilen molekül ağırlığıdır. Ağırlık ortalaması molekül ağırlığı,

$$\bar{M}_w = \frac{\sum_i c_i M_i}{\sum_i c_i} = \frac{\sum_i c_i M_i}{c} = \frac{\sum_i N_i M_i^2}{\sum_i N_i M_i} = \sum_i w_i M_i \quad (1.61)$$

bağıntısı ile verilir. Burada  $c_i$  ve  $w_i$  sırası ile  $M_i$  ağırlıklı moleküllerin ağırlık konsantrasyonu ve ağırlık kesridir,  $c$  ise bütün polimer moleküllerinin ağırlık konsantrasyonudur (birim hacimde gram olarak).

### Vizkozite Ortalaması Molekül Ağırlığı ( $\bar{M}_v$ )

Polimer çözeltisinin vizkozitesi kullanılarak elde edilir. Bu amaçla polimerin çeşitli konsantrasyonlarda çözeltileri hazırlanır. Herbir konsantrasyonda çözünen moleküllerin etkisi vizkoziteye etkileri

$$\frac{\eta - \eta_0}{\eta_0} \text{ ya da } \frac{\eta}{\eta_0} - 1 \quad (1.62)$$

eşitliği ile belirlenir. Burada  $\eta_0$  ve  $\eta$  sırasıyla çözgen ve çözeltinin vizkoziteleridir. Polimer çözeltisinin özellikleri büyük çözünmüş polimer moleküllerinin etkileşmeleri nedeni ile değişir. Fakat sonsuz seyreltik çözeltileri için elde edilen sonuçlar onların birbirleriyle etkileşmelerinden ziyade polimer moleküllerin kendi özelliklerini yansıtır. Çözünenin birim konsantrasyon başına vizkoziteye etkisi  $(\eta / \eta_0 - 1) / c$  eşitliği ile verilebilir. Sonsuz seyreltik çözelti durumunda moleküllerin vizkoziteye etkisi

$$[\eta] = \lim_{c \rightarrow 0} \left( \frac{\frac{\eta}{\eta_0} - 1}{c} \right) \quad (1.63)$$

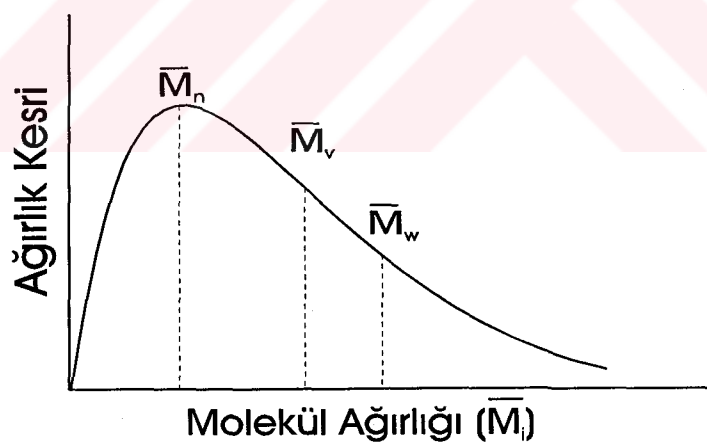
şeklindedir. Burada,  $[\eta]$  gerçek (intrinsic) vizkozite değeridir. Bu arada  $[\eta]$  gerçekten bir vizkozite değildir.  $\eta/\eta_0$  bağımlı olduğundan vizkozite birimi içermez. Herhangi bir molekülün çözeltisinin gerçek vizkozitesi molekülün şekli ve moleküller kütlesini belirlemeye kullanılır. Herhangi bir çözgünde sentetik bir polimerin gerçek vizkozitesinin mol tartısına bağımlılığı

$$[\eta] = KM^a \quad (1.64)$$

eşitliği ile verilir. Burada M, polimerin moleküler kütlesi; K ve a deneysel sabitlerdir. Bu parametreler bilinen moleküler ağırlıktaki polimer fraksiyonlarının ölçülmesi ile elde edilir. Vizkozite ortalaması molekül ağırlığı için

$$\overline{M}_v = [w_i M_i^a]^{1/a} \quad (1.65)$$

eşitliği yazılır. Ağırlık ortalaması molekül ağırlığı ile vizkozite ortalaması molekül ağırlığı  $a=1$  için birbirine eşittir. Heterojen bir molekül ağırlık dağılımına sahip polimer için  $\overline{M}_w > \overline{M}_v > \overline{M}_n$  şeklinde bir sonuç ortaya çıkar (Şekil 1.4.1).



Şekil 1.4.1 Heterojen bir molekül ağırlığına sahip polimeri için molekül ağırlık dağılımları

## **1.5 Çalışmanın Amacı**

Emülgatörsüz emülsiyon polimerizasyonu ile temiz ve istenen özelliklerde polimer ve polimer boncuk hazırlama yollarının belirlenmesi son yıllarda ilgi odağı olmuştur. Çünkü monodispers ve temiz polimer lateksler; elektron mikroskopları, ışık-saçılma aletleri, ultrasantrifüjler, aerosol sayma aletleri, tıbbi teşhis testleri, filtrelerin ve biyolojik zarların gözenek çaplarının belirlenmesi gibi çeşitli ölçme aletleri ve tekniklerinin kalibrasyonlarında ve ayrıca kolloid çalışmalarında model sistemler olarak geniş uygulama alanlarına sahiptir.

Literatürde polimerizasyon kinetiğini ve ürünün özelliklerini etkileyen parametreler ( monomer tipi ve konsantrasyonu, başlatıcı tipi ve konsantrasyonu, sıcaklık, çarpraz bağlayıcılar vb..) üzerine pek çok çalışma vardır. Fakat elektrolitlerin polimerizasyon üzerine etkilerine ilişkin çok az bilgi bulunmaktadır [21 ,20, 25, 26] ayrıca bu bilgiler de çelişkilidir. İyonik kuvvetin etkisi Smith & Ewart, Gordon gibi araştırmacıların emülsiyon polimerizasyonuna ilişkin temel teorilerinde ihmal edilmektedir. Oysa latekslerin kararlılığı için iyonik kuvvet çok önemlidir.

Bu çalışmada iyonik şiddetin, ve birbirine çok yakın ve aynı iyonik şiddeti sağlayan iyonların polimerizasyon kinetiği ve polimerik ürün özellikleri ( molekül ağırlığı, boncuk çapı, yüzey yükü ) üzerine etkileri araştırılacaktır.

## **2. DENEYSEL KISIM**

### **2.1 Kullanılan Kimyasallar Ve Aletler**

#### **2.1.1 Kimyasal Maddeler**

**Metil Metakrilat (MMA):** %99 un üzerindeki saflıktaki metil metakrilat, önce kullanılacak metil metakrilat kadar %5 NaOH çözeltisi ile üç dört defa inhibitörü uzaklaştırmak için yıkanmıştır. Monomer içerisinde çözünmüş suyu uzaklaştırmak için susuz  $\text{Na}_2\text{SO}_4$  ile monomer kurutulmuştur. Daha sonra metil metakrilat temiz ve kuru bir balona alınarak vakum altında destillemiştir.

**Potasyum Persülfat:** Potasyum persülfat,  $\text{K}_2\text{S}_2\text{O}_8$ , başlatıcısı Merck olup, herhangi bir saflaştırma işlemine tabi tutulmaksızın kullanılmıştır.

**Azot Gazi:** Azot gazı, reaksiyon ortamına gönderilmeden önce bazik piragallol çözeltisinden, derişik sülfürük asitten, granül sodyum hidroksit ve en son katı kalsiyum klorürden geçirilmiştir.

**Sodyum sülfat:** Monomerin saflaştırılmasında kullanılan analitik saflıktaki maddeye saflaştırma işlemi uygulanmamıştır.

**Hidrokinon:** Saflaşırılmaksızın kullanılmıştır.

**Saf Su:** Kullanılan su katyon ve anyon değiştirici reçineler içeren deionize saf su cihazından elde edildikten sonra ayrıca tekrar  $\text{KMnO}_4$  eşliğinde destile edilmiştir ve iletkenliği 1.0-1.5  $\mu\text{S}$  olarak ölçülmüştür.

**Sodyum Hidroksit, Sodyum Karbonat:** Saflaştırma işlemlerinde kullanılan bu kimyasallar analitik saflıkta olduğundan herhangi bir saflaştırma yapılmamıştır.

**Sodyum Klorür , Sodyum Bromür, Lityum Klorür, Magnezyum Klorür, Barium Klorür, Kalsiyum Klorür, Sodyum İyodür :**Kullanılan bu tuzlar analitik saflikta Merck marka maddelerdir ve bu nedenle bu tzlara da herhangi bir saflaştırma işlemi uygulanmamıştır.

**Kloroform:** Saf yerli kalitedeki kloroform önce derişik sülfirik asitle en az 1gün boyunca bir magnetik karıştırıcı ile karıştırılmıştır. Daha sonra kloroform fazı alınarak olası asiti alabilmek için seyreltik NaOH çözeltisi ile yıkamıştır. Ortamda oluşan suyu çektebilmek için susuz  $\text{Na}_2\text{CO}_3$  ilave edilmiş berrak bir kloroform elde edinceye kadar karıştırılmıştır. Organik faz dekantasyon ile kurutucudan uzaklaştırılmış ve kullanmadan önce vakum altında destilleenmiştir [32].

### 2.1.2 Aletler

**Reaktör Sistemi:** Reaksiyonların gerçekleştirilmesinde kullanılan 1 litrelik dört girişli silindirik reaktör kullanılmıştır. Reaktördeki girişler aşağıdaki amaçlar için kullanılmıştır.

**Birinci Giriş :** İnert bir atmosfer oluşturmak için azot girişi ve başlatıcının sisteme ilavesi için kullanılmıştır.

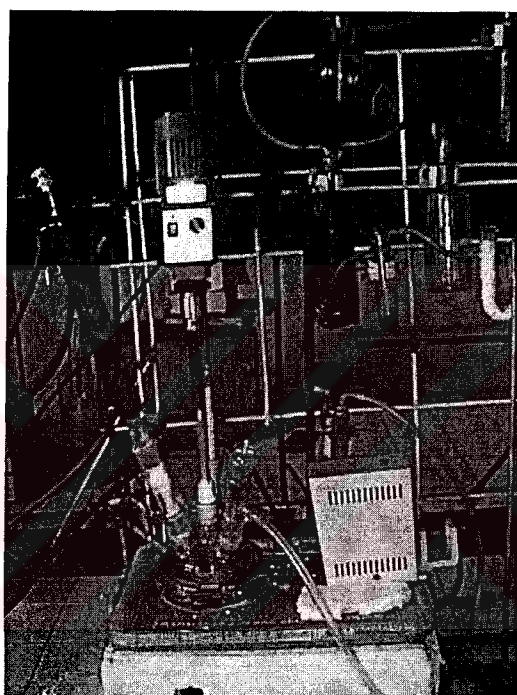
**İkinci Giriş :** Buharlaşan su ve monomerin yeniden sisteme dönmesini sağlayacak ve sisteme gönderilen fazla azot gazının dışarı atılması soğutucu takılarak kullanılmıştır. Ayrıca girişe eklenen özel bir düzenek yardımıyla çeşitli zamanlardaki örnekler buradan alınmıştır. Ayrıca soğutucunun ucuna takılan bir hortum içine bir miktar su bulunan erlene daldırılarak sisteme giren ve çıkan azot gazını izlemek için kullanılmıştır.

**Üçüncü Giriş :** Reaksiyon sisteminin sıcaklığını ölçebilmek için  $0.1\text{ }^{\circ}\text{C}$  hassas termometre bağlanmıştır.

**Dördüncü Giriş :** Reaksiyon ortamını karıştırabilmek için yarım ay şeklinde çapa kısımlı cam karıştırıcı monte edilmiştir (Şekil 2.1.2.1)

**Karıştırıcı:** Reaksiyon ortamının karıştırılmasında kullanılan karıştırıcı, dijital göstergeli IKA labortechnik RW 20 DZM marka bir karıştırıcıdır.

**Vizkozimetre:** Elde edilen polimerlerin vizkozite ortalaması molekül ağırlıklarını hesaplamada Ubbelohde vizkozimetresi kullanılmıştır. Kullanılan vizkozimetre için saf kloroformun akma süresi yaklaşık olarak 27 sn dir.



Şekil 2.1.2.1 Polimerizasyonda kullanılan reaktör sistemi

**Sirkülatörlü ısıtıcı ( Immersion circulator):** Sabit sıcaklığa ayarlanabilir hava sirkülasyonlu Polyscience 70 tipi bir ısıtıcı bir başlık kullanılmıştır. Su banyosu olarak plastik kapaklı büyükçe bir kap alınarak uygun hale getirilmiştir.

**Scanning Elektron Mikroskobu (SEM):** Polimer boncuklarının scanning elektron mikroskobu fotoğrafları, JSM 840 CX tip bir elektron mikroskobu kullanılarak elde edilmiştir.

**Jel Geçirgenlik Kromotografisi (GPC) ;** Polimerlerin moleküller ağırlıkları ve molekül ağırlık dağılımlarının elde edilmesinde kullanılan cihaz, refraktif indeks

dedektörlü Agilent 1100 marka bir kromatografi cihazıdır. Ölçümler 30 °C de 0.3 mL/min. akış hızındaki THF ve poli(metilmekrilat) standartlar kullanılarak gerçekleştirılmıştır. Bu analiz İstanbul Teknik Üniversitesi'nde yapılmıştır.

## 2.2 Deneylerin Yapılışı Ve Elde Edilen Sonuçlar

### 2.2.1 Latekslerin Sentezi

Latekslerin sentezinde, yukarıda anlatıldığı şekilde hazırlanan kimyasallar kullanılmıştır. Monomer hazırlanan saflaştırılmış stoklardan kullanılmıştır.

1. Deneye başlamadan önce termostat sıcaklığı yaklaşık 75 °C ye ulaşınca, tuzsuz latekslerde reaktöre sisteme ilave edilecek suyun 50 ml eksiği, tuzlu latekslerde 100 mL eksiği konulmuştur. Bu aşamada, tuzlu latekslerde gereken tuz 40 mL suda çözülkerek reaktöre ilave edildikten sonra kap 10 mL su ile yıkınarak tekrar reaktöre ilave edilmiştir.
2. Sıcaklık tekrar istenilen değere ulaşınca kadar beklenmiştir. Bu işlem sırasında reaktörden azot gazı geçirilmeye başlanmıştır.
3. Sıcaklık 75 °C ye ulaşınca gereken miktarda monomer reaktöre ilave edilmiş ve monomer ilave edildikten sonra beher tekrar tartışarak ilave edilen monomer miktarı belirlenmiştir.
4. Su-Monomer sisteminin dengeye gelmesi ve termal dengenin tekrar kurulması için yaklaşık olarak 20-30 dk beklenmiştir. Bu sırada da ortamdan azot gazı geçirmesine ara verilmemiştir.
5. Daha sonra 40 mL suda çözülmüş potasyum persülfat başlatıcısı reaktöre ilave edildikten sonra, kap 10 mL su ile yıkınarak bu su da reaktör içeriğine katılmıştır. Böylece istenilen miktarlarda suyun reaktöre başlatıcı ile ilave edilmesi ile birlikte reaksiyon başlatılmıştır.
6. Tüm bu işlemler sırasında reaktör içeriği yaklaşık 240 devir/dk hızla karıştırılmış ve karıştırma reaksiyon sonuna kadar sürdürülmüştür.
7. Reaksiyon ortamından çeşitli zamanlarda reaksiyon boyunca numuneler alınmıştır. Alınan numuneler içinde az miktarda hidrokinon bulunan tartımı belli be-

herlere konularak hemen tartılmıştır. Son numune reaksiyon tamamlandıktan sonra alınmış ve diğerlerine yapılan işlemler buna da uygulanmıştır.

Başlatıcı ilavesinden sonra reaksiyon sıcaklığı 1-2 °C kadar düşerken dönüşüm artışı noktada reaktördeki sıcaklık reaktörün içeriğine bağlı olarak 1-3 °C kadar yükselmiştir. Reaksiyon sisteminin kurulmasında T.Tanrisever ( Doktora Tezi ,1996)[33] in bildirdiği tecrübelerden yararlanılmıştır.

Latekslerin sentezinde kullanılan reaktiflerin çalışma şartları ve çalışma numaraları Tablo 2.2.1.1 ve Tablo 2.2.1.2 de gösterilmiştir.

Tablo 2.2.1.1 Emülgatörsüz emülsiyon polimerizasyonun gerçekleştirilmesinde kullanılan reçeteler

| ÇALIŞMA NO | Ç. ZAMANI (dak.) | t (°C) | K. HIZI (devir/dk) | MONOMER (g.) | K <sub>2</sub> S <sub>2</sub> O <sub>8</sub> (g.) | TOPLAM SU (g.) | TUZ ADI                         | Tuz (g.) |
|------------|------------------|--------|--------------------|--------------|---|----------------|---------------------------------|----------|
| 1          | 120              | 75     | 240                | 38,7373      | 0,1288  | 952,5          | -                               | 0        |
| 2          | 120              | 75     | 240                | 38,6522      | 0,1288  | 952,5          | -                               | 0        |
| 3          | 160              | 75     | 240                | 38,6760      | 0,1288  | 952,5          | NaCl                            | 0,2785   |
| 4          | 158              | 75     | 240                | 38,6935      | 0,1288  | 952,5          | NaCl                            | 0,5569   |
| 5          | 160              | 75     | 240                | 38,7187      | 0,1288  | 952,5          | NaCl                            | 1,1137   |
| 6          | 150              | 75     | 240                | 38,7168      | 0,1287  | 952,5          | NaBr                            | 0,4906   |
| 7          | 155              | 75     | 240                | 38,7138      | 0,1288  | 952,5          | NaBr                            | 0,9806   |
| 8          | 152              | 75     | 240                | 38,7334      | 0,1288  | 952,5          | NaBr                            | 1,9604   |
| 9          | 150              | 75     | 240                | 38,7569      | 0,1289  | 952,5          | Na <sub>2</sub> SO <sub>4</sub> | 0,6769   |
| 10         | 150              | 75     | 240                | 38,7584      | 0,1288  | 952,5          | Na <sub>2</sub> SO <sub>4</sub> | 0,3382   |
| 11         | 164              | 75     | 240                | 38,7811      | 0,1288  | 952,5          | Na <sub>2</sub> SO <sub>4</sub> | 1,3528   |
| 12         | 155              | 75     | 240                | 38,7782      | 0,1289  | 952,5          | Na <sub>2</sub> SO <sub>4</sub> | 0,6763   |
| 13         | 150              | 75     | 240                | 38,7174      | 0,1288  | 952,5          | Na <sub>2</sub> SO <sub>4</sub> | 0,3384   |
| 14         | 150              | 75     | 240                | 38,7550      | 0,1288  | 952,5          | Na <sub>2</sub> SO <sub>4</sub> | 0,1352   |
| 15         | 155              | 75     | 240                | 38,7094      | 0,1288  | 952,5          | Na <sub>2</sub> SO <sub>4</sub> | 1,0146   |
| 16         | 160              | 75     | 240                | 38,7961      | 0,1288  | 952,5          | Na <sub>2</sub> SO <sub>4</sub> | 1,0146   |
| 17         | 155              | 75     | 240                | 38,8287      | 0,1288  | 952,5          | Na <sub>2</sub> SO <sub>4</sub> | 1,3529   |
| 18         | 157              | 75     | 240                | 38,7668      | 0,1289  | 952,5          | LiCl                            | 0,4039   |
| 19         | 153              | 75     | 240                | 38,7063      | 0,1289  | 952,5          | LiCl                            | 0,8076   |
| 20         | 165              | 75     | 240                | 38,7080      | 0,1289  | 952,5          | LiCl                            | 0,2018   |
| 21         | 150              | 75     | 240                | 38,6975      | 0,1288  | 952,5          | Na <sub>2</sub> SO <sub>4</sub> | 0,8118   |
| 22         | 140              | 75     | 240                | 38,7034      | 0,1288  | 952,5          | Na <sub>2</sub> SO <sub>4</sub> | 0,4513   |
| 23         | 153              | 75     | 240                | 38,8132      | 0,1289  | 952,5          | CaCl <sub>2</sub>               | 0,1765   |
| 24         | 155              | 75     | 240                | 38,7468      | 0,1289  | 952,5          | MgCl <sub>2</sub>               | 0,3234   |
| 25         | 154              | 75     | 240                | 38,7640      | 0,1289  | 952,5          | BaCl <sub>2</sub>               | 0,3879   |

Tablo 2.2.1.2 Emülgatörstüz emülsiyon polimerizasyonunun gerçekleştirilemesinde kullanılan reçeteler

| CALISMA NO | C. ZAMANI<br>(dakika) | t<br>(°C) | K. HIZI<br>(devir/dk) | MONOMER<br>(Mol / L Su) | K <sub>2</sub> S <sub>2</sub> O <sub>8</sub><br>(Mol / L Su) | TOPLAM SU<br>(g.) | TUZ ADI                         | Tuz<br>(Mol / L Su) |
|------------|-----------------------|-----------|-----------------------|-------------------------|--|-------------------|---------------------------------|---------------------|
| 1          | 120                   | 75        | 240                   | 0,406203                | 5,00x10 <sup>-04</sup>                                       | 952,5             | -                               | 0                   |
| 2          | 120                   | 75        | 240                   | 0,405311                | 5,00x10 <sup>-04</sup>                                       | 952,5             | -                               | 0                   |
| 3          | 160                   | 75        | 240                   | 0,405561                | 5,00x10 <sup>-04</sup>                                       | 952,5             | NaCl                            | 0,0050              |
| 4          | 158                   | 75        | 240                   | 0,405744                | 5,00x10 <sup>-04</sup>                                       | 952,5             | NaCl                            | 0,0100              |
| 5          | 160                   | 75        | 240                   | 0,406008                | 5,00x10 <sup>-04</sup>                                       | 952,5             | NaCl                            | 0,0200              |
| 6          | 150                   | 75        | 240                   | 0,405988                | 5,00x10 <sup>-04</sup>                                       | 952,5             | NaBr                            | 0,0050              |
| 7          | 155                   | 75        | 240                   | 0,405957                | 5,00x10 <sup>-04</sup>                                       | 952,5             | NaBr                            | 0,0100              |
| 8          | 152                   | 75        | 240                   | 0,406162                | 5,00x10 <sup>-04</sup>                                       | 952,5             | NaBr                            | 0,0200              |
| 9          | 150                   | 75        | 240                   | 0,406409                | 5,00x10 <sup>-04</sup>                                       | 952,5             | Na <sub>2</sub> SO <sub>4</sub> | 0,0050              |
| 10         | 150                   | 75        | 240                   | 0,406425                | 5,00x10 <sup>-04</sup>                                       | 952,5             | Na <sub>2</sub> SO <sub>4</sub> | 0,0025              |
| 11         | 164                   | 75        | 240                   | 0,406663                | 5,00x10 <sup>-04</sup>                                       | 952,5             | Na <sub>2</sub> SO <sub>4</sub> | 0,0100              |
| 12         | 155                   | 75        | 240                   | 0,406632                | 5,00x10 <sup>-04</sup>                                       | 952,5             | Na <sub>2</sub> SO <sub>4</sub> | 0,0050              |
| 13         | 150                   | 75        | 240                   | 0,405995                | 5,00x10 <sup>-04</sup>                                       | 952,5             | Na <sub>2</sub> SO <sub>4</sub> | 0,0025              |
| 14         | 150                   | 75        | 240                   | 0,406389                | 5,00x10 <sup>-04</sup>                                       | 952,5             | Na <sub>2</sub> SO <sub>4</sub> | 0,0010              |
| 15         | 155                   | 75        | 240                   | 0,405911                | 5,00x10 <sup>-04</sup>                                       | 952,5             | Na <sub>2</sub> SO <sub>4</sub> | 0,0075              |
| 16         | 160                   | 75        | 240                   | 0,406820                | 5,00x10 <sup>-04</sup>                                       | 952,5             | Na <sub>2</sub> SO <sub>4</sub> | 0,0075              |
| 17         | 155                   | 75        | 240                   | 0,407162                | 5,00x10 <sup>-04</sup>                                       | 952,5             | Na <sub>2</sub> SO <sub>4</sub> | 0,0100              |
| 18         | 157                   | 75        | 240                   | 0,406513                | 5,00x10 <sup>-04</sup>                                       | 952,5             | LiCl                            | 0,0100              |
| 19         | 153                   | 75        | 240                   | 0,405878                | 5,00x10 <sup>-04</sup>                                       | 952,5             | LiCl                            | 0,0200              |
| 20         | 165                   | 75        | 240                   | 0,405896                | 5,00x10 <sup>-04</sup>                                       | 952,5             | LiCl                            | 0,0050              |
| 21         | 150                   | 75        | 240                   | 0,405786                | 5,00x10 <sup>-04</sup>                                       | 952,5             | Na <sub>2</sub> SO <sub>4</sub> | 0,0060              |
| 22         | 140                   | 75        | 240                   | 0,405847                | 5,00x10 <sup>-04</sup>                                       | 952,5             | Na <sub>2</sub> SO <sub>4</sub> | 0,0033              |
| 23         | 153                   | 75        | 240                   | 0,406999                | 5,00x10 <sup>-04</sup>                                       | 952,5             | CaCl <sub>2</sub>               | 0,0017              |
| 24         | 155                   | 75        | 240                   | 0,406303                | 5,00x10 <sup>-04</sup>                                       | 952,5             | MgCl <sub>2</sub>               | 0,0017              |
| 25         | 154                   | 75        | 240                   | 0,406483                | 5,00x10 <sup>-04</sup>                                       | 952,5             | BaCl <sub>2</sub>               | 0,0017              |

## **2.2.2. Dönüşüm Eğrilerinin Elde Edilmeleri**

Daha önce anlatıldığı şekilde hidrokinon içeren beherlere alınan lateks içindeki su, 60-70 °C deki etüvde buharlaştırılmıştır. Beherler uygun bir ortamda soğutulduktan sonra tekrar tartılarak, polimer miktarı belirlenmiştir. Zamana karşı dönüşüm miktarları elde edilmiştir. Dönüşüm miktarları belirlenirken, ortamda yer alan türlerin miktarları da hesaplamalarda dikkate alınmıştır. Dönüşüm eğrileri elde edilirken kullanılan eşitlikler aşağıda verilmiştir.

Rektörden alınan numune miktarı;

$$m_N = m_{N,B} - m_{B,B}$$

olup burada  $m_N$ , alınan numune miktarı ;  $m_{B,B}$ , boş beherin kütlesi;  $m_{N,B}$ , boş beher ve reaktörden alınan numunenin toplam kütlesidir.

Burada boş beher ve numuneli beher olarak anılan beherin içindeki hidrokinon tıtmı etkilemeyeceğinden, hidrokinondan indis olarak bahsedilmemiştir ve bundan sonraki ifadelerde de yer almayacaktır.

### **Monomer-Başlatıcı-Su Sistemi İçin:**

Oluşan polimer miktarı;

$$m_P = m_{B,B + P} - m_{B,B} \quad \text{olup buradaki } P \text{ indis polimeri gösterir.}$$

Alınan numune içinde oluşabilecek polimer miktarı ancak, monomerin kütlesi ve yaklaşık olarak katılan başlatıcı ( potasyum persülfat) kütlesinin toplamı kadardır. Bu nedenle beher içinde bulunabilecek maksimum polimer miktarı için;

$$m_{MaxP} = \left( \frac{M_M + M_B}{M_M + M_{Su} + M_B} \right) xm_N$$

yazılabilir. Buradaki M harfi ile gösterilen büyüklükler reaktöre konulan maddelerin toplam kütlesini gösterir. Örneğin;  $M_B$ , reaktöre konulan toplam başlatıcı kütlesini;  $M_{Su}$  reaktöre konulan toplam su kütlesini göstermektedir.

Bu nedenle yüzde dönüşüm için;

$$\% \text{Dönüşüm} = \left( \frac{m_P}{m_{MaxP}} \right) \times 100$$

yazılabilir.

#### **Monomer-Başlatıcı-Tuz-Su Sistemi İçin:**

Ortama tuz gibi polimerin yapısına girmeyecek fakat numunenin ve beher içindeki polimerin tartımını etkileyebilecek bir tür katıldığında yukarıdaki hesaplamalar yeni düzenlemeler gerektirir. Bu tip hesaplamalar için beher içinde bulunabilecek maksimum polimer miktarı için;

$$m_{MaxP} = m_N \left( \frac{M_M + M_B + M_{Tuz}}{M_M + M_B + M_{Tuz} + M_{su}} \right) - m_N \left( \frac{M_{Tuz}}{M_M + M_B + M_{Tuz} + M_{su}} \right)$$

olacaktır. Bu eşitliğin ilk terimi alınan numune içindeki tuz ve polimerin kütlesini, ikinci terim ise alınan numunedeki tuz miktarını gösterir. Alınan numunedeki polimer miktarı ise;

$$m_P = m_{B.B+P} - m_{B.B} - m_N \left( \frac{M_{Tuz}}{M_M + M_{su} + M_B + M_{Tuz}} \right)$$

olacaktır. Böylece yüzde dönüşüm için

$$\% \text{Dönüşüm} = \left( \frac{m_p}{m_{MaxP}} \right) \times 100$$

yazılabilir. Dönüşüm eğrilerinin elde edilmesinde sistemlere göre bu eşitlikler kullanılmıştır. Yukarıdaki eşitlikler kullanılarak elde edilen zaman - dönüşüm verileri Tablo 2.2.2. 1 de verilmiştir.

**Tablo 2.2.2. 1 Çalışmalarda elde edilen zaman-dönüşüm verileri**

**Çalışma No:1**

| t/dk | m <sub>B.B.</sub> | m <sub>N.B.</sub> | m <sub>B.B + P</sub> | m <sub>N</sub> | m <sub>P</sub> | m <sub>MaxP</sub> | %Dönüşüm |
|------|-------------------|-------------------|----------------------|----------------|----------------|-------------------|----------|
| 10   | 27,6076           | 32,2045           | 27,6139              | 4,5969         | 0,0063         | 0,18022           | 3,50     |
| 15   | 28,0210           | 31,2290           | 28,0308              | 3,2080         | 0,0098         | 0,12577           | 7,79     |
| 20   | 28,1433           | 32,3001           | 28,1705              | 4,1568         | 0,0272         | 0,16297           | 16,69    |
| 25   | 33,9542           | 36,8108           | 34,0022              | 2,8566         | 0,0480         | 0,11199           | 42,86    |
| 31   | 28,4148           | 32,6040           | 28,5531              | 4,1892         | 0,1383         | 0,16424           | 84,21    |
| 35   | 29,4815           | 35,2647           | 29,6843              | 5,7832         | 0,2028         | 0,22673           | 89,45    |
| 40   | 28,5529           | 35,7661           | 28,8102              | 7,2132         | 0,2573         | 0,28279           | 90,99    |
| 120  | 27,6068           | 34,6094           | 27,8632              | 7,0026         | 0,2564         | 0,27453           | 93,40    |

**Çalışma No:2**

| t/dk | m <sub>B.B.</sub> | m <sub>N.B.</sub> | m <sub>B.B + P</sub> | m <sub>N</sub> | m <sub>P</sub> | m <sub>MaxP</sub> | %Dönüşüm |
|------|-------------------|-------------------|----------------------|----------------|----------------|-------------------|----------|
| 10   | 28,1704           | 31,1525           | 28,1728              | 2,9821         | 0,0024         | 0,1169            | 2,05     |
| 15   | 29,5050           | 34,7076           | 29,5216              | 5,2026         | 0,0166         | 0,2039            | 8,14     |
| 20   | 33,1124           | 38,2614           | 33,1439              | 5,1490         | 0,0315         | 0,2018            | 15,60    |
| 25   | 28,5442           | 37,3696           | 28,6624              | 8,8254         | 0,1182         | 0,3460            | 34,16    |
| 31   | 27,6172           | 33,8455           | 27,8148              | 6,2283         | 0,1976         | 0,2441            | 80,93    |
| 35   | 28,0498           | 36,8540           | 28,3619              | 8,8042         | 0,3121         | 0,3451            | 90,42    |
| 40   | 28,4088           | 35,6914           | 28,6739              | 7,2826         | 0,2651         | 0,2855            | 92,85    |
| 120  | 27,3878           | 37,7850           | 27,7728              | 10,3972        | 0,3850         | 0,4076            | 94,45    |

**Çalışma No:3**

| T/dk | m <sub>B.B.</sub> | m <sub>N.B.</sub> | m <sub>B.B + P</sub> | m <sub>N</sub> | m <sub>P</sub> | m <sub>MaxP</sub> | %Dönüşüm |
|------|-------------------|-------------------|----------------------|----------------|----------------|-------------------|----------|
| 10   | 27,4056           | 32,3651           | 27,4104              | 4,9595         | 0,0034         | 0,1940            | 1,76     |
| 20   | 28,3281           | 36,0130           | 28,3598              | 7,6849         | 0,0295         | 0,3007            | 9,82     |
| 25   | 27,5832           | 33,1505           | 27,6208              | 5,5673         | 0,0360         | 0,2178            | 16,54    |
| 31   | 27,3878           | 33,1947           | 27,4683              | 5,8069         | 0,0788         | 0,2272            | 34,71    |
| 35   | 28,0394           | 36,2510           | 28,2823              | 8,2116         | 0,2412         | 0,3213            | 75,09    |
| 40   | 28,4239           | 35,9790           | 28,6808              | 7,5551         | 0,2547         | 0,2956            | 86,17    |
| 45   | 37,5142           | 44,8070           | 37,7625              | 7,2928         | 0,2462         | 0,2854            | 86,28    |
| 50   | 36,1990           | 44,4864           | 36,4948              | 8,2874         | 0,2934         | 0,3243            | 90,49    |
| 55   | 28,1290           | 34,2509           | 28,3445              | 6,1219         | 0,2137         | 0,2395            | 89,23    |
| 61   | 29,4387           | 37,0685           | 29,7086              | 7,6298         | 0,2677         | 0,2985            | 89,68    |
| 150  | 28,5155           | 33,2526           | 28,6567              | 4,7371         | 0,1398         | 0,1853            | 75,45    |
| 160  | 27,6037           | 36,2349           | 27,8605              | 8,6312         | 0,2543         | 0,3377            | 75,31    |

**Çalışma No:4**

| t/dk | m <sub>B.B.</sub> | m <sub>N.B.</sub> | m <sub>B.B + P</sub> | m <sub>N</sub> | m <sub>P</sub> | m <sub>MaxP</sub> | %Dönüşüm |
|------|-------------------|-------------------|----------------------|----------------|----------------|-------------------|----------|
| 10   | 27,6270           | 31,2234           | 27,6303              | 3,5964         | 0,0012         | 0,1407            | 0,91     |
| 20   | 36,2163           | 42,7635           | 36,2328              | 6,5472         | 0,0128         | 0,2562            | 5,00     |
| 28   | 33,1353           | 39,4319           | 33,1626              | 6,2966         | 0,0237         | 0,2464            | 9,64     |
| 35   | 28,1370           | 34,6358           | 28,177               | 6,4988         | 0,0363         | 0,2543            | 14,29    |
| 40   | 28,0339           | 34,2225           | 28,0885              | 6,1886         | 0,0511         | 0,2422            | 21,11    |
| 45   | 28,3246           | 33,9348           | 28,4172              | 5,6102         | 0,0894         | 0,2195            | 40,74    |
| 50   | 28,5146           | 34,4535           | 28,6914              | 5,9389         | 0,1734         | 0,2324            | 74,63    |
| 55   | 27,4015           | 34,5252           | 27,6248              | 7,1237         | 0,2193         | 0,2788            | 78,65    |
| 61   | 27,3735           | 35,7805           | 27,6519              | 8,4070         | 0,2736         | 0,3290            | 83,17    |
| 155  | 27,5774           | 33,7364           | 27,8034              | 6,1590         | 0,2225         | 0,2410            | 92,32    |
| 158  | 29,4515           | 35,7935           | 29,6866              | 6,3420         | 0,2315         | 0,2482            | 93,28    |

**Çalışma No:5**

| t/dk | m <sub>B.B.</sub> | m <sub>N.B.</sub> | m <sub>B.B + P</sub> | m <sub>N</sub> | m <sub>P</sub> | m <sub>MaxP</sub> | %Dönüşüm |
|------|-------------------|-------------------|----------------------|----------------|----------------|-------------------|----------|
| 10   | 28,3298           | 33,3336           | 28,3371              | 5,0038         | 0,0016         | 0,1958            | 0,86     |
| 20   | 27,3627           | 32,9166           | 27,3819              | 5,5539         | 0,0129         | 0,2173            | 5,97     |
| 31   | 27,4126           | 33,8943           | 27,4415              | 6,4817         | 0,0216         | 0,2537            | 8,52     |
| 40   | 28,1298           | 34,0256           | 28,1671              | 5,8958         | 0,0306         | 0,2307            | 13,30    |
| 50   | 27,5954           | 33,9042           | 27,6674              | 6,3088         | 0,0649         | 0,2469            | 26,29    |
| 55   | 33,1267           | 39,5921           | 33,3056              | 6,4654         | 0,1716         | 0,2530            | 67,82    |
| 60   | 29,4464           | 36,8523           | 29,6752              | 7,4059         | 0,2204         | 0,2898            | 76,06    |
| 65   | 28,038            | 34,4071           | 28,2380              | 6,3691         | 0,1928         | 0,2493            | 77,36    |
| 70   | 28,5101           | 35,7716           | 28,7537              | 7,2615         | 0,2354         | 0,2842            | 82,84    |
| 155  | 27,6046           | 33,6677           | 27,8308              | 6,0631         | 0,2194         | 0,2373            | 92,45    |
| 160  | 36,1911           | 43,369            | 36,4413              | 7,1779         | 0,2421         | 0,2809            | 86,18    |

**Çalışma No:6**

| t/dk | m <sub>B.B.</sub> | m <sub>N.B.</sub> | m <sub>B.B + P</sub> | m <sub>N</sub> | m <sub>P</sub> | m <sub>MaxP</sub> | %Dönüşüm |
|------|-------------------|-------------------|----------------------|----------------|----------------|-------------------|----------|
| 10   | 28,0104           | 32,5618           | 28,0189              | 4,5514         | 0,0062         | 0,1782            | 3,51     |
| 20   | 28,3088           | 34,6143           | 28,3287              | 6,3055         | 0,0167         | 0,2469            | 6,80     |
| 31   | 27,6064           | 32,0471           | 27,6372              | 4,4407         | 0,0286         | 0,1739            | 16,45    |
| 35   | 28,3851           | 35,3134           | 28,5188              | 6,9283         | 0,1302         | 0,2713            | 48,01    |
| 40   | 27,3954           | 33,5382           | 27,5856              | 6,1428         | 0,1871         | 0,2405            | 77,80    |
| 45   | 29,4343           | 35,6209           | 29,6402              | 6,1866         | 0,2028         | 0,2423            | 83,71    |
| 50   | 27,4021           | 34,1938           | 27,6377              | 6,7917         | 0,2322         | 0,2660            | 87,31    |
| 55   | 28,5010           | 34,3311           | 28,7059              | 5,8301         | 0,2020         | 0,2283            | 88,47    |
| 61   | 36,1914           | 41,8195           | 36,3928              | 5,6281         | 0,1986         | 0,2204            | 90,11    |
| 146  | 27,5913           | 31,9109           | 27,751               | 4,3196         | 0,1575         | 0,1691            | 93,14    |
| 150  | 37,5128           | 43,239            | 37,7225              | 5,7262         | 0,2068         | 0,2242            | 92,24    |

Çalışma No:7

| t/dk | m <sub>B,B.</sub> | m <sub>N,B.</sub> | m <sub>B,B + P</sub> | m <sub>N</sub> | m <sub>P</sub> | m <sub>MaxP</sub> | %Dönüşüm |
|------|-------------------|-------------------|----------------------|----------------|----------------|-------------------|----------|
| 10   | 27,6206           | 33,2343           | 27,6316              | 5,6137         | 0,0054         | 0,2197            | 2,48     |
| 20   | 29,4461           | 35,2367           | 29,4646              | 5,7906         | 0,0127         | 0,2266            | 5,64     |
| 28   | 28,1569           | 32,7803           | 28,177               | 4,6234         | 0,0155         | 0,1809            | 8,58     |
| 35   | 27,3669           | 32,2918           | 27,3962              | 4,9249         | 0,0244         | 0,1927            | 12,67    |
| 40   | 28,0059           | 34,2309           | 28,0528              | 6,2250         | 0,0407         | 0,2436            | 16,72    |
| 45   | 28,4969           | 34,5574           | 28,5621              | 6,0605         | 0,0592         | 0,2372            | 24,96    |
| 50   | 28,3121           | 35,1417           | 28,4494              | 6,8296         | 0,1305         | 0,2673            | 48,84    |
| 55   | 27,3832           | 34,7209           | 27,6187              | 7,3377         | 0,2282         | 0,2872            | 79,47    |
| 61   | 33,0995           | 41,4748           | 33,3745              | 8,3753         | 0,2667         | 0,3278            | 81,36    |
| 65   | 27,5886           | 34,1125           | 27,8056              | 6,5239         | 0,2105         | 0,2553            | 82,45    |
| 120  | 28,4071           | 33,0376           | 28,5757              | 4,6305         | 0,1640         | 0,1812            | 90,50    |
| 155  | 33,9852           | 45,0415           | 34,4028              | 11,0563        | 0,4066         | 0,4327            | 93,97    |

Çalışma No:8

| t/dk | m <sub>B,B.</sub> | m <sub>N,B.</sub> | m <sub>B,B + P</sub> | m <sub>N</sub> | m <sub>P</sub> | m <sub>MaxP</sub> | %Dönüşüm |
|------|-------------------|-------------------|----------------------|----------------|----------------|-------------------|----------|
| 10   | 28,2970           | 33,3377           | 28,3134              | 5,0407         | 0,0064         | 0,1972            | 3,27     |
| 20   | 28,3809           | 35,6781           | 28,4157              | 7,2972         | 0,0200         | 0,2854            | 7,15     |
| 31   | 28,1516           | 34,9346           | 28,1879              | 6,7830         | 0,0229         | 0,2653            | 8,63     |
| 40   | 28,0872           | 33,2886           | 28,1225              | 5,2014         | 0,0250         | 0,2035            | 12,30    |
| 45   | 27,3962           | 33,1431           | 27,4411              | 5,7469         | 0,0335         | 0,2248            | 14,93    |
| 50   | 28,0113           | 33,6119           | 28,0621              | 5,6077         | 0,0397         | 0,2193            | 18,11    |
| 55   | 28,4946           | 35,6472           | 28,5776              | 7,1526         | 0,0688         | 0,2798            | 24,62    |
| 61   | 33,0875           | 39,6584           | 33,2332              | 6,5709         | 0,1327         | 0,2570            | 51,63    |
| 65   | 27,5671           | 35,4921           | 27,8101              | 7,9250         | 0,2273         | 0,3100            | 73,33    |
| 70   | 27,3577           | 35,4051           | 27,6127              | 8,0474         | 0,2391         | 0,3148            | 75,95    |
| 75   | 27,5928           | 35,0232           | 27,8297              | 7,4304         | 0,2222         | 0,2907            | 76,45    |
| 150  | 37,5124           | 42,2821           | 37,6867              | 4,7697         | 0,1648         | 0,1866            | 88,36    |
| 152  | 33,9508           | 39,9089           | 34,1658              | 5,9581         | 0,2032         | 0,2331            | 87,19    |

**Çalışma No:9**

| t/dk | m <sub>B.B.</sub> | m <sub>N.B.</sub> | m <sub>B.B + P</sub> | m <sub>N</sub> | m <sub>P</sub> | m <sub>MaxP</sub> | %Dönüşüm |
|------|-------------------|-------------------|----------------------|----------------|----------------|-------------------|----------|
| 10   | 27,3562           | 31,0791           | 27,3625              | 3,7229         | 0,0037         | 0,1459            | 2,5765   |
| 20   | 28,0756           | 34,6796           | 28,1077              | 6,6040         | 0,0275         | 0,2588            | 10,6599  |
| 28   | 27,4010           | 33,7052           | 27,4421              | 6,3042         | 0,0368         | 0,2471            | 14,8918  |
| 32   | 27,6074           | 33,4401           | 27,6623              | 5,8327         | 0,0509         | 0,2286            | 22,2725  |
| 35   | 28,0005           | 34,4902           | 28,0930              | 6,4897         | 0,0880         | 0,2543            | 34,6227  |
| 40   | 28,1127           | 34,5890           | 28,3072              | 6,4763         | 0,1900         | 0,2538            | 74,8790  |
| 45   | 28,3037           | 37,4460           | 28,5961              | 9,1423         | 0,2861         | 0,3583            | 79,8554  |
| 50   | 37,5097           | 45,3455           | 37,7640              | 7,8358         | 0,2489         | 0,3071            | 81,0555  |
| 55   | 28,4880           | 37,4335           | 28,7805              | 8,9455         | 0,2864         | 0,3506            | 81,6791  |
| 120  | 33,9416           | 37,1858           | 34,0639              | 3,2442         | 0,12009        | 0,12716           | 94,4353  |

**Çalışma No:10**

| t/dk | m <sub>B.B.</sub> | m <sub>N.B.</sub> | m <sub>B.B + P</sub> | m <sub>N</sub> | m <sub>P</sub> | m <sub>MaxP</sub> | %Dönüşüm |
|------|-------------------|-------------------|----------------------|----------------|----------------|-------------------|----------|
| 10   | 28,4905           | 31,6302           | 28,4957              | 3,1397         | 0,0041         | 0,1231            | 3,3540   |
| 20   | 33,0866           | 37,4212           | 33,1022              | 4,3346         | 0,0141         | 0,1699            | 8,3085   |
| 25   | 28,4098           | 31,3149           | 28,4232              | 2,9051         | 0,0124         | 0,1139            | 10,8935  |
| 31   | 27,5673           | 31,7198           | 27,6033              | 4,1525         | 0,0345         | 0,1628            | 21,2397  |
| 35   | 27,3555           | 30,4921           | 27,4000              | 3,1366         | 0,0434         | 0,1229            | 35,3117  |
| 40   | 28,1121           | 32,7222           | 28,2496              | 4,6101         | 0,1359         | 0,1807            | 75,1939  |
| 45   | 27,6002           | 32,129            | 27,7518              | 4,5288         | 0,1500         | 0,1775            | 84,4994  |
| 50   | 28,0094           | 33,8029           | 28,1996              | 5,7935         | 0,1882         | 0,2271            | 82,8551  |
| 146  | 37,5079           | 42,2083           | 37,6519              | 4,7004         | 0,1424         | 0,1843            | 77,2593  |
| 150  | 28,3059           | 42,5185           | 28,8038              | 14,2126        | 0,4930         | 0,5573            | 88,4718  |

**Çalışma No:11**

| t/dk | m <sub>B.B.</sub> | m <sub>N.B.</sub> | m <sub>B.B + P</sub> | m <sub>N</sub> | m <sub>P</sub> | m <sub>MaxP</sub> | %Dönüşüm |
|------|-------------------|-------------------|----------------------|----------------|----------------|-------------------|----------|
| 10   | 27,9948           | 30,7444           | 28,0006              | 2,7496         | 0,0020         | 0,1077            | 1,9052   |
| 20   | 27,6011           | 33,7573           | 27,6187              | 6,1562         | 0,0092         | 0,2412            | 3,8175   |
| 28   | 28,4949           | 34,0640           | 28,5172              | 5,5691         | 0,0147         | 0,2182            | 6,7398   |
| 35   | 29,4454           | 36,6709           | 29,4845              | 7,2255         | 0,0292         | 0,2831            | 10,3300  |
| 45   | 28,3915           | 33,6978           | 28,4347              | 5,3063         | 0,0359         | 0,2079            | 17,2952  |
| 50   | 27,4057           | 34,5460           | 27,4893              | 7,1403         | 0,0738         | 0,2798            | 26,3960  |
| 55   | 28,0869           | 33,8835           | 28,2395              | 5,7966         | 0,1447         | 0,2271            | 63,6918  |
| 61   | 26,6362           | 33,5140           | 26,8400              | 6,8778         | 0,1944         | 0,2695            | 72,1264  |
| 65   | 27,3595           | 33,0783           | 27,5307              | 5,7188         | 0,1634         | 0,2241            | 72,9040  |
| 70   | 27,5684           | 35,8025           | 27,8433              | 8,2341         | 0,2636         | 0,3227            | 81,7044  |
| 161  | 37,5228           | 44,3173           | 37,7901              | 6,7945         | 0,2580         | 0,2660            | 96,8985  |
| 164  | 33,0999           | 40,7422           | 33,3742              | 7,6423         | 0,2638         | 0,2995            | 88,1003  |

**Çalışma No:12**

| t/dk | m <sub>B.B.</sub> | m <sub>N.B.</sub> | m <sub>B.B + P</sub> | m <sub>N</sub> | m <sub>P</sub> | m <sub>MaxP</sub> | %Dönüşüm |
|------|-------------------|-------------------|----------------------|----------------|----------------|-------------------|----------|
| 10   | 27,5696           | 33,7604           | 27,5842              | 6,1908         | 0,0104         | 0,2427            | 4,2752   |
| 20   | 27,9991           | 35,966            | 28,0322              | 7,9669         | 0,0276         | 0,3124            | 8,8557   |
| 31   | 28,3822           | 37,3606           | 28,4501              | 8,9784         | 0,0617         | 0,3521            | 17,5454  |
| 35   | 33,1021           | 41,3715           | 33,2364              | 8,2694         | 0,1286         | 0,3243            | 39,6732  |
| 40   | 37,5178           | 42,1006           | 37,648               | 4,5828         | 0,1270         | 0,1797            | 70,7052  |
| 45   | 28,1169           | 34,4016           | 28,3101              | 6,2847         | 0,1889         | 0,2464            | 76,6483  |
| 50   | 27,3526           | 35,1354           | 27,6221              | 7,7828         | 0,2641         | 0,3052            | 86,5580  |
| 55   | 28,4868           | 35,7189           | 28,7316              | 7,2321         | 0,2398         | 0,2836            | 84,5727  |
| 61   | 33,9311           | 40,7292           | 34,1669              | 6,7981         | 0,2311         | 0,2666            | 86,7072  |
| 145  | 29,4214           | 35,4255           | 29,6557              | 6,0041         | 0,2302         | 0,2354            | 97,7664  |
| 155  | 27,3938           | 35,9616           | 27,7177              | 8,5678         | 0,3180         | 0,3360            | 94,6581  |

**Çalışma No:13**

| t/dk | m <sub>B.B.</sub> | m <sub>N.B.</sub> | m <sub>B.B + P</sub> | m <sub>N</sub> | m <sub>P</sub> | m <sub>MaxP</sub> | %Dönüşüm |
|------|-------------------|-------------------|----------------------|----------------|----------------|-------------------|----------|
| 10   | 27,6024           | 32,7012           | 27,6062              | 5,0988         | 0,0020         | 0,1997            | 1,0314   |
| 20   | 27,5738           | 34,8662           | 27,5922              | 7,2924         | 0,0159         | 0,2856            | 5,5701   |
| 25   | 28,3008           | 35,3813           | 28,3287              | 7,0805         | 0,0254         | 0,2773            | 9,1881   |
| 31   | 28,4900           | 31,8068           | 28,5125              | 3,3168         | 0,0213         | 0,1299            | 16,4464  |
| 35   | 28,3861           | 35,7591           | 28,4664              | 7,3730         | 0,0777         | 0,2888            | 26,9321  |
| 40   | 27,3638           | 33,6507           | 27,5325              | 6,2869         | 0,1665         | 0,2462            | 67,6309  |
| 45   | 28,1149           | 36,5744           | 28,3973              | 8,4595         | 0,2795         | 0,3313            | 84,3495  |
| 50   | 33,0827           | 43,0048           | 33,4265              | 9,9221         | 0,3404         | 0,3886            | 87,5848  |
| 55   | 28,0072           | 35,2564           | 28,2575              | 7,2492         | 0,2478         | 0,2839            | 87,2734  |
| 145  | 26,6222           | 32,9522           | 26,8118              | 6,3300         | 0,1874         | 0,2479            | 75,5933  |
| 150  | 33,9855           | 41,9138           | 34,2258              | 7,9283         | 0,2375         | 0,3105            | 76,5035  |

**Çalışma No:14**

| t/dk | m <sub>B.B.</sub> | m <sub>N.B.</sub> | m <sub>B.B + P</sub> | m <sub>N</sub> | M <sub>P</sub> | m <sub>MaxP</sub> | %Dönüşüm |
|------|-------------------|-------------------|----------------------|----------------|----------------|-------------------|----------|
| 10   | 27,3660           | 36,5595           | 27,3772              | 9,1935         | 0,0099         | 0,3605            | 2,7587   |
| 20   | 28,1260           | 35,2497           | 28,1485              | 7,1237         | 0,0215         | 0,2793            | 7,7062   |
| 25   | 28,4862           | 32,8552           | 28,5112              | 4,3690         | 0,0244         | 0,1713            | 14,2434  |
| 31   | 33,0777           | 38,2269           | 33,1325              | 5,1492         | 0,0541         | 0,2019            | 26,7900  |
| 35   | 27,9954           | 34,0917           | 28,1320              | 6,0963         | 0,1357         | 0,2390            | 56,7892  |
| 40   | 28,2979           | 34,5313           | 28,5030              | 6,2334         | 0,2042         | 0,2444            | 83,5544  |
| 45   | 28,3740           | 36,5045           | 28,6617              | 8,1305         | 0,2865         | 0,3188            | 89,8831  |
| 50   | 26,6148           | 33,4662           | 26,8639              | 6,8514         | 0,2481         | 0,2686            | 92,3623  |
| 145  | 27,5846           | 33,9192           | 27,8225              | 6,3346         | 0,2370         | 0,2484            | 95,4174  |
| 150  | 27,3760           | 34,8089           | 27,6577              | 7,4329         | 0,2806         | 0,2914            | 96,2931  |

**Çalışma No:15**

| t/dk | m <sub>B.B.</sub> | m <sub>N.B.</sub> | m <sub>B.B + P</sub> | m <sub>N</sub> | M <sub>P</sub> | m <sub>MaxP</sub> | %Dönüşüm |
|------|-------------------|-------------------|----------------------|----------------|----------------|-------------------|----------|
| 10   | 37,5148           | 43,7417           | 37,5197              | 6,2269         | 0              | 0,2437            | 0        |
| 20   | 28,0858           | 32,2022           | 28,0905              | 4,1164         | 0,0005         | 0,1611            | 0,3049   |
| 31   | 29,4335           | 36,4211           | 29,4558              | 6,9876         | 0,0151         | 0,2734            | 5,5418   |
| 40   | 27,5655           | 31,9585           | 27,5862              | 4,3930         | 0,0162         | 0,1719            | 9,4273   |
| 45   | 33,9484           | 41,2979           | 33,9936              | 7,3495         | 0,0376         | 0,2876            | 13,1016  |
| 50   | 27,3846           | 35,1360           | 27,4492              | 7,7514         | 0,0566         | 0,3033            | 18,6817  |
| 55   | 27,5868           | 36,9030           | 27,7023              | 9,3162         | 0,1059         | 0,3646            | 29,0650  |
| 61   | 28,5070           | 33,1092           | 28,6383              | 4,6022         | 0,1265         | 0,1801            | 70,2840  |
| 70   | 28,1185           | 35,9119           | 28,3627              | 7,7934         | 0,2362         | 0,3050            | 77,4494  |
| 145  | 27,3635           | 33,1339           | 27,5370              | 5,7704         | 0,1676         | 0,2258            | 74,2122  |
| 150  | 33,0954           | 44,0300           | 33,4883              | 10,9346        | 0,3817         | 0,4279            | 89,1968  |
| 155  | 28,0074           | 32,6412           | 28,1678              | 4,6338         | 0,1556         | 0,1813            | 85,8327  |

**Çalışma No:16**

| t/dk | m <sub>B.B.</sub> | m <sub>N.B.</sub> | m <sub>B.B + P</sub> | m <sub>N</sub> | M <sub>P</sub> | m <sub>MaxP</sub> | %Dönüşüm |
|------|-------------------|-------------------|----------------------|----------------|----------------|-------------------|----------|
| 10   | 28,2903           | 33,9928           | 28,0907              | 5,7025         | 0,0000         | 0,2232            | 0,0000   |
| 20   | 26,6214           | 33,3230           | 26,6286              | 6,7016         | 0,0003         | 0,2623            | 0,1327   |
| 31   | 28,0896           | 37,5929           | 28,1094              | 9,5033         | 0,0101         | 0,3719            | 2,7111   |
| 40   | 37,4986           | 45,7843           | 37,5349              | 8,2857         | 0,0278         | 0,3243            | 8,5816   |
| 45   | 28,1095           | 37,9783           | 28,1685              | 9,8688         | 0,0489         | 0,3862            | 12,6631  |
| 50   | 28,3803           | 37,1308           | 28,4489              | 8,7505         | 0,0597         | 0,3425            | 17,4184  |
| 55   | 27,5636           | 36,4289           | 27,6931              | 8,8653         | 0,1204         | 0,3470            | 34,7112  |
| 61   | 27,3745           | 38,1072           | 27,7036              | 10,7327        | 0,3181         | 0,4201            | 75,7353  |
| 65   | 28,4989           | 41,3286           | 28,9172              | 12,8297        | 0,4052         | 0,5021            | 80,6940  |
| 70   | 29,4513           | 39,5120           | 29,8056              | 10,0607        | 0,3440         | 0,3938            | 87,3684  |
| 140  | 33,0966           | 42,6456           | 33,4259              | 9,5490         | 0,3195         | 0,3737            | 85,5008  |
| 160  | 33,9394           | 47,3920           | 34,4283              | 13,4526        | 0,4751         | 0,5265            | 90,2459  |

**Çalışma No:17**

| t/dk | m <sub>B.B.</sub> | m <sub>N.B.</sub> | m <sub>B.B + P</sub> | m <sub>N</sub> | M <sub>P</sub> | m <sub>MaxP</sub> | %Dönüşüm |
|------|-------------------|-------------------|----------------------|----------------|----------------|-------------------|----------|
| 10   | 27,3892           | 38,6073           | 27,4107              | 11,2181        | 0,0062         | 0,4397            | 1,4132   |
| 20   | 27,3658           | 38,3230           | 27,3992              | 10,9572        | 0,0185         | 0,4295            | 4,3006   |
| 31   | 26,6255           | 39,5240           | 26,6895              | 12,8985        | 0,0464         | 0,5055            | 9,1830   |
| 40   | 28,2993           | 42,2749           | 28,3992              | 13,9756        | 0,0809         | 0,5478            | 14,7614  |
| 50   | 28,3844           | 36,0554           | 28,4940              | 7,6710         | 0,0991         | 0,3007            | 32,9771  |
| 54   | 28,0095           | 34,8205           | 28,2037              | 6,8110         | 0,1849         | 0,2669            | 69,2717  |
| 59   | 28,1206           | 37,2037           | 28,4121              | 9,0831         | 0,2791         | 0,3560            | 78,4055  |
| 65   | 29,4251           | 40,8290           | 29,8024              | 11,4039        | 0,3618         | 0,4470            | 80,9381  |
| 150  | 27,5954           | 39,2313           | 28,0365              | 11,6359        | 0,4252         | 0,4561            | 93,2446  |
| 155  | 28,4992           | 38,5691           | 28,8617              | 10,0699        | 0,3488         | 0,3947            | 88,3709  |

**Çalışma No:18**

| t/dk | m <sub>B.B.</sub> | m <sub>N.B.</sub> | m <sub>B.B + P</sub> | m <sub>N</sub> | M <sub>P</sub> | m <sub>MaxP</sub> | %Dönüşüm |
|------|-------------------|-------------------|----------------------|----------------|----------------|-------------------|----------|
| 10   | 33,9435           | 47,8550           | 33,9596              | 13,9115        | 0,0104         | 0,5456            | 1,9126   |
| 20   | 33,1016           | 44,6255           | 33,1216              | 11,5239        | 0,0153         | 0,4519            | 3,3870   |
| 31   | 28,0832           | 35,4895           | 28,1120              | 7,4063         | 0,0258         | 0,2905            | 8,8771   |
| 36   | 37,5020           | 48,1074           | 37,5636              | 10,6054        | 0,0573         | 0,4159            | 13,7723  |
| 40   | 27,5657           | 37,0245           | 27,6363              | 9,4588         | 0,0667         | 0,3709            | 17,9939  |
| 45   | 27,6018           | 36,3636           | 27,7060              | 8,7618         | 0,1006         | 0,3436            | 29,2863  |
| 50   | 26,6290           | 37,5092           | 26,8710              | 10,8802        | 0,2376         | 0,4267            | 55,6770  |
| 55   | 28,1131           | 39,2916           | 28,4746              | 11,1785        | 0,3569         | 0,4384            | 81,4223  |
| 61   | 29,4315           | 45,5174           | 29,9840              | 16,0859        | 0,5459         | 0,6308            | 86,5425  |
| 65   | 28,3816           | 40,9422           | 28,8233              | 12,5606        | 0,4366         | 0,4926            | 88,6300  |
| 154  | 28,5013           | 42,3587           | 29,0294              | 13,8574        | 0,5225         | 0,5434            | 96,1371  |
| 157  | 28,0072           | 39,1539           | 28,4303              | 11,1467        | 0,4186         | 0,4371            | 95,7490  |

**Çalışma No:19**

| t/dk | m <sub>B.B.</sub> | m <sub>N.B.</sub> | m <sub>B.B + P</sub> | m <sub>N</sub> | M <sub>P</sub> | m <sub>MaxP</sub> | %Dönüşüm |
|------|-------------------|-------------------|----------------------|----------------|----------------|-------------------|----------|
| 10   | 28,3715           | 36,8863           | 28,3826              | 8,5148         | 0,0042         | 0,3333            | 1,25     |
| 20   | 28,3101           | 37,8310           | 28,3312              | 9,5209         | 0,01335        | 0,3727            | 3,58     |
| 31   | 27,3824           | 36,3450           | 27,4148              | 8,9626         | 0,02510        | 0,3508            | 7,16     |
| 40   | 27,3634           | 39,1201           | 27,4288              | 11,7567        | 0,05583        | 0,4602            | 12,13    |
| 50   | 28,0045           | 36,6662           | 28,1002              | 8,6617         | 0,0887         | 0,3390            | 26,15    |
| 55   | 28,4952           | 38,1783           | 28,6968              | 9,6831         | 0,1937         | 0,3790            | 51,11    |
| 59   | 26,6253           | 35,0287           | 26,8805              | 8,4034         | 0,2484         | 0,3289            | 75,51    |
| 65   | 28,1122           | 41,2143           | 28,5312              | 13,1021        | 0,4083         | 0,5129            | 79,62    |
| 70   | 29,4314           | 41,7979           | 29,8348              | 12,3665        | 0,3933         | 0,4841            | 81,26    |
| 140  | 33,0848           | 45,0236           | 33,5469              | 11,9388        | 0,4524         | 0,4673            | 96,80    |
| 153  | 27,5833           | 41,2840           | 28,1246              | 13,7007        | 0,5302         | 0,5363            | 98,86    |

**Çalışma No:20**

| t/dk | m <sub>B.B.</sub> | m <sub>N.B.</sub> | m <sub>B.B + P</sub> | m <sub>N</sub> | M <sub>P</sub> | m <sub>MaxP</sub> | %Dönüşüm |
|------|-------------------|-------------------|----------------------|----------------|----------------|-------------------|----------|
| 10   | 26,6267           | 32,7374           | 26,6330              | 6,1107         | 0,0051         | 0,2393            | 2,1126   |
| 20   | 29,4383           | 38,0506           | 29,4635              | 8,6123         | 0,0234         | 0,3373            | 6,9508   |
| 31   | 27,5836           | 37,4716           | 27,6512              | 9,8880         | 0,0656         | 0,3873            | 16,9347  |
| 35   | 33,0814           | 42,0904           | 33,1657              | 9,0090         | 0,0825         | 0,3529            | 23,3704  |
| 40   | 27,5668           | 33,9988           | 27,6712              | 6,4320         | 0,1031         | 0,2519            | 40,9204  |
| 45   | 27,9928           | 38,1264           | 28,3114              | 10,1336        | 0,3165         | 0,3969            | 79,7493  |
| 50   | 28,3818           | 34,4989           | 28,5969              | 6,1171         | 0,2139         | 0,2396            | 89,2563  |
| 55   | 33,9454           | 39,1841           | 34,1331              | 5,2387         | 0,1866         | 0,2052            | 90,9561  |
| 160  | 37,5064           | 41,2750           | 37,6358              | 3,7686         | 0,1286         | 0,1476            | 87,1440  |
| 165  | 28,0880           | 36,2665           | 28,3528              | 8,1785         | 0,2631         | 0,3203            | 82,1431  |

**Çalışma No:21**

| t/dk | m <sub>B.B.</sub> | m <sub>N.B.</sub> | m <sub>B.B + P</sub> | m <sub>N</sub> | M <sub>P</sub> | m <sub>MaxP</sub> | %Dönüşüm |
|------|-------------------|-------------------|----------------------|----------------|----------------|-------------------|----------|
| 10   | 27,3570           | 38,1969           | 27,3806              | 10,8399        | 0,0147         | 0,4242            | 3,4725   |
| 20   | 27,3804           | 35,1707           | 27,4096              | 7,7903         | 0,0228         | 0,3049            | 7,4871   |
| 31   | 27,5927           | 39,2895           | 27,6548              | 11,6968        | 0,0525         | 0,4577            | 11,4757  |
| 40   | 27,5679           | 39,7418           | 27,6589              | 12,1739        | 0,0810         | 0,4764            | 17,0102  |
| 45   | 28,4920           | 40,3736           | 28,6202              | 11,8816        | 0,1185         | 0,4650            | 25,4806  |
| 50   | 33,0821           | 41,3745           | 33,2202              | 8,2924         | 0,1313         | 0,3245            | 40,4650  |
| 55   | 28,2900           | 36,9555           | 28,5687              | 8,6655         | 0,2716         | 0,3391            | 80,0936  |
| 60   | 28,0135           | 37,6735           | 28,3430              | 9,6600         | 0,3216         | 0,3780            | 85,0706  |
| 66   | 26,6222           | 39,2438           | 27,0902              | 12,6216        | 0,4577         | 0,4939            | 92,6588  |
| 145  | 33,9462           | 43,2362           | 34,2910              | 9,2900         | 0,3372         | 0,3636            | 92,7505  |
| 150  | 52,5571           | 65,6850           | 53,0548              | 13,1279        | 0,48696        | 0,51375           | 94,7857  |

**Çalışma No:22**

| t/dk | m <sub>B,B.</sub> | m <sub>N.B.</sub> | m <sub>B,B + P</sub> | m <sub>N</sub> | M <sub>P</sub> | m <sub>MaxP</sub> | %Dönüşüm |
|------|-------------------|-------------------|----------------------|----------------|----------------|-------------------|----------|
| 10   | 28,0040           | 39,6457           | 28,0189              | 11,6417        | 0,0096         | 0,4558            | 2,1067   |
| 20   | 28,0854           | 40,9647           | 28,1222              | 12,8793        | 0,0309         | 0,5043            | 6,1354   |
| 31   | 28,2966           | 40,9656           | 28,3680              | 12,6690        | 0,0656         | 0,4960            | 13,2318  |
| 35   | 37,5209           | 42,1992           | 37,5499              | 4,6783         | 0,0269         | 0,1832            | 14,6698  |
| 40   | 26,6581           | 37,5948           | 26,7622              | 10,9367        | 0,0991         | 0,4282            | 23,1481  |
| 45   | 28,4885           | 39,2732           | 28,6685              | 10,7847        | 0,1751         | 0,4223            | 41,4653  |
| 50   | 27,3522           | 33,5473           | 27,5477              | 6,1951         | 0,1927         | 0,2426            | 79,4356  |
| 58   | 33,0884           | 39,0247           | 33,2977              | 5,9363         | 0,2066         | 0,2324            | 88,8867  |
| 66   | 33,9375           | 42,5140           | 34,2559              | 8,5765         | 0,3145         | 0,3358            | 93,6552  |
| 132  | 28,3831           | 44,7230           | 28,9485              | 16,3399        | 0,5580         | 0,6398            | 87,2132  |
| 140  | 27,5872           | 35,8884           | 27,8493              | 8,3012         | 0,2583         | 0,3250            | 79,4779  |

**Çalışma No:23**

| t/dk | m <sub>B,B.</sub> | m <sub>N.B.</sub> | m <sub>B,B + P</sub> | m <sub>N</sub> | M <sub>P</sub> | m <sub>MaxP</sub> | %Dönüşüm |
|------|-------------------|-------------------|----------------------|----------------|----------------|-------------------|----------|
| 10   | 28,0068           | 35,4778           | 28,0128              | 7,4710         | 0,0047         | 0,2934            | 1,5918   |
| 21,5 | 28,0811           | 36,1857           | 28,1018              | 8,1046         | 0,0193         | 0,3183            | 6,0505   |
| 31   | 28,3035           | 37,2502           | 28,3365              | 8,9467         | 0,0314         | 0,3513            | 8,9392   |
| 35   | 27,5899           | 38,5953           | 27,6411              | 11,005         | 0,0492         | 0,4322            | 11,3932  |
| 43   | 26,6413           | 32,9083           | 26,6808              | 6,2670         | 0,0384         | 0,2461            | 15,5963  |
| 50   | 27,3716           | 37,0685           | 27,5048              | 9,6969         | 0,1315         | 0,3808            | 34,5249  |
| 55   | 29,4345           | 41,0380           | 29,7642              | 11,6035        | 0,3276         | 0,4557            | 71,8995  |
| 61   | 28,4890           | 38,3370           | 28,8011              | 9,8480         | 0,3103         | 0,3867            | 80,2463  |
| 145  | 37,5213           | 50,8922           | 38,0061              | 13,3709        | 0,4824         | 0,5251            | 91,8735  |
| 153  | 48,9800           | 61,6170           | 49,4361              | 12,6370        | 0,4539         | 0,4963            | 91,4522  |

**Çalışma No:24**

| t/dk | m <sub>B,B.</sub> | m <sub>N.B.</sub> | m <sub>B,B + P</sub> | m <sub>N</sub> | M <sub>P</sub> | m <sub>MaxP</sub> | %Dönüşüm |
|------|-------------------|-------------------|----------------------|----------------|----------------|-------------------|----------|
| 10   | 28,0812           | 40,3265           | 28,0913              | 12,245         | 0,0061         | 0,4800            | 1,2722   |
| 25   | 28,0087           | 37,1173           | 28,0263              | 9,1086         | 0,0146         | 0,3571            | 4,0972   |
| 35   | 28,3125           | 41,4083           | 28,3590              | 13,095         | 0,0422         | 0,5134            | 8,2259   |
| 45   | 27,5911           | 37,0014           | 27,6477              | 9,4103         | 0,0535         | 0,3689            | 14,5113  |
| 51   | 26,6327           | 35,3151           | 26,7181              | 8,6824         | 0,0826         | 0,3404            | 24,2592  |
| 55   | 33,9330           | 41,1870           | 34,1098              | 7,2540         | 0,1744         | 0,2844            | 61,3418  |
| 61   | 29,4469           | 40,9020           | 29,8029              | 11,4551        | 0,3523         | 0,4491            | 78,4461  |
| 66   | 28,5052           | 36,4649           | 28,7670              | 7,9597         | 0,2592         | 0,3120            | 83,0706  |
| 150  | 37,5120           | 44,6553           | 37,7748              | 7,1433         | 0,2605         | 0,2800            | 93,0168  |
| 155  | 27,3664           | 33,8613           | 27,6075              | 6,4949         | 0,2390         | 0,2546            | 93,8630  |

Çalışma No:25

| t/dk | m <sub>B.B.</sub> | m <sub>N.B.</sub> | m <sub>B.B + P</sub> | m <sub>N</sub> | M <sub>P</sub> | m <sub>MaxP</sub> | %Dönüşüm |
|------|-------------------|-------------------|----------------------|----------------|----------------|-------------------|----------|
| 10   | 28,0190           | 39,0638           | 28,0432              | 11,0448        | 0,0199         | 0,4331            | 4,59     |
| 15   | 28,0791           | 36,2702           | 28,1002              | 8,1911         | 0,0179         | 0,3212            | 5,57     |
| 25   | 28,3003           | 39,3073           | 28,3644              | 11,0070        | 0,0598         | 0,4316            | 13,85    |
| 35   | 27,6046           | 36,665            | 27,6728              | 9,0604         | 0,0647         | 0,3553            | 18,19    |
| 40   | 26,6294           | 37,5773           | 26,7564              | 10,9479        | 0,1227         | 0,4293            | 28,58    |
| 45   | 26,5897           | 38,4597           | 26,8061              | 11,8700        | 0,2118         | 0,4655            | 45,49    |
| 53   | 33,9589           | 38,4412           | 34,0988              | 4,4823         | 0,1381         | 0,1758            | 78,59    |
| 61   | 29,4566           | 35,5298           | 29,6559              | 6,0732         | 0,1969         | 0,2382            | 82,68    |
| 145  | 28,5004           | 35,2662           | 28,7363              | 6,7658         | 0,2333         | 0,2653            | 87,91    |
| 148  | 37,5103           | 44,5524           | 37,7562              | 7,0421         | 0,2431         | 0,2762            | 88,05    |
| 154  | 27,3595           | 35,553            | 27,6487              | 8,1935         | 0,285996       | 0,32131           | 89,01    |

### **2.2.3. Latekslerin Analiz İçin Hazırlanması**

Elde edilen latekslerden yaklaşık 20-30 mL alınmış ve -17 °C de dondurulmuştur. Daha sonra oda sıcaklığında erimeleri sağlanmış ve üst kısımdaki sıvı dekantasyonla uzaklaştırılmıştır. Geriye kalan yoğun lateks sıvısının bir kısmı elektron mikroskopu ölçümleri için alınmış, diğer kısmı ise etüvde 60-70 °C de 1 gün bekletilerek buharlaştırılmış ve katı polimer elde edilmiştir

İçerisinde tuz bulunan numunelerin, vizkozite ortalaması molekül ağırlığı tayininde gerekli olan kloroform çözeltilerinde homojenlik sağlanamamıştır. Bu yüzden ortamdan tuzu uzaklaştmak için, katı polimere hacmi kadar bidestile su konarak, iyice karıştırıldıktan sonra dondurulmuş ve üst kısımdaki sıvı dekantasyonla uzaklaştırılmıştır. Bu işlem 5 kez tekrar edilmiştir. Bundan sonra polimerin homojen kloroform çözeltileri hazırlanabilmiştir.

### **2.2.4. Molekül Ağırlıklarının Hesaplanması**

#### **Vizkozite Ortalaması Molekül Ağırlıkları:**

Vizkozite ortalaması moleküler ağırlıkların hesaplanması için PMMA'in 20 °C deki  $\text{HCCl}_3$  çözeltileri hazırlanmıştır. Hesaplamların yapılmasında kullanılan  $K_m$  ve  $a$  parametresinin büyülüğu sırasıyla  $5.5 \times 10^{-3}$  mL/g ve 0.79 olarak alınmıştır ( Brandrup J., Immergut E.H., 1989). Vizkozite deneyleri aşağıdaki süreçce göre gerçekleştirilmiştir.

1. Termostat sıcaklığı 20 °C ye getirildikten sonra, kloroform Ubbeleohde vizkozimetresine konulmuş ve vizkozimetrenin kolundan indirilen termometre yardımıyla sıcaklığın istenilen değerde olup olmadığı kontrol edilmiştir. Tüm deney boyunca sıcaklık kontrolü yapılmıştır.
2. Saf çözgenin akma süresi genellikle 5 kez ( bazen daha fazla) ölçülerek belirlenmiştir.

**3.** Daha sonra vizkozimetreye en seyreltik polimer çözeltisi alınmış ve bu çözelti ile vizkozimetre bir kez yıkanmıştır. Daha sonra bu çözeltiden vizkozimetreye tekrar gereği kadar (yaklaşık 20 mL) alınarak akma süresi saf çözgünde olduğu gibi belirlenmiştir

**4.** Uygun eşitlikler kullanılarak molekül ağırlıkları hesaplanmıştır.

Deneysel çalışmalarında elde edilen verilerden biri Tablo 2.2.4.1'de, bu çalışmadan elde edilen öz vizkozite, indirgenmiş vizkozite, korelasyon katsayısı, gerçek vizkozite değeri ve moleküler ağırlık değerleri Tablo 2.2.4.2'de verilmiştir. Tablo 2.2.4.3'de ise elde edilen tüm çalışmalar için veriler gösterilmektedir. Tablo 2.2.4.4'de de hesaplamlar sonucu elde edilen veriler toplanmıştır.

**Tablo 2.2.4.1** 7 nolu çalışma için elde edilen akma süreleri

| HCCl <sub>3</sub> | *1.385x10 <sup>-3</sup> | 2.503x10 <sup>-3</sup> | 5.014x10 <sup>-3</sup> | 10.06x10 <sup>-3</sup> |
|-------------------|-------------------------|------------------------|------------------------|------------------------|
| t (sn.)           | PPMA                    | PPMA                   | PPMA                   | PPMA                   |
|                   | t (sn.)                 | t(sn.)                 | t(sn.)                 | t(sn.)                 |
| 24.47             | 29.72                   | 35.44                  | 51.78                  | 100.19                 |
| 24.53             | 29.85                   | 35.41                  | 52.03                  | 100.59                 |
| 24.38             | 29.76                   | 35.35                  | 51.88                  | 100.25                 |
| 24.28             | 29.97                   | 35.42                  | 51.97                  | 101.25                 |
| 24.34             | 29.94                   | 35.44                  | 52.00                  | 100.97                 |
| <b>ORT.</b>       | <b>ORT.</b>             | <b>ORT.</b>            | <b>ORT.</b>            | <b>ORT.</b>            |
| 24.40             | 29.85                   | 35.41                  | 51.93                  | 100.65                 |
| <b>ORT.</b>       | <b>ORT.</b>             | <b>ORT.</b>            | <b>ORT.</b>            | <b>ORT.</b>            |
| <b>HATA</b>       | <b>HATA</b>             | <b>HATA</b>            | <b>HATA</b>            | <b>HATA</b>            |
| 0.08              | 0.09                    | 0.026                  | 0.082                  | 0.37                   |

\* Kloroform--PMMA çözeltilerinin konsantrasyon birimi g PMMA mL<sup>-1</sup> Kloroformdur. Örneğin bu çözeltinin konsantrasyon 1.385x10<sup>-3</sup> g PMMA mL Kloroformdur. Çalışmalardaki tüm akma süreleri 20 °C de yapılan deneylerden elde edilmiştir.

**Tablo 2.2.4.2** 20 °C de PMMA-Kloroform çözeltilerinin akma sürelerinden elde edilen özvizkozite, indirgenmiş vizkozite değerleri ve bu değerler kullanılarak elde edilen molekulere ilişkin gerçek vizkozite değeri, korelasyon katsayısı ve moleküler ağırlık.

| $C = \text{g PMMA/ mL}$<br>$\text{HCCl}_3$ | $\eta_{\text{öz}}$<br>$(\frac{t_1 - t_0}{t_0})$ | $\eta_{\text{öz}}/C$ |
|--|---|----------------------|
| $1.385 \times 10^{-3}$                     | 0.22328   | 161.2589             |
| $2.503 \times 10^{-3}$                     | 0.45131   | 180.3046             |
| $5.014 \times 10^{-3}$                     | 1.12836   | 225.0335             |
| $10.06 \times 10^{-3}$                     | 3.12500   | 311.3745             |
| <b>Korelasyon Katsayısı</b>                | $\eta_i$<br>0.9999                              | $M_y$<br>368732      |
|  | 137.23  |                      |

**Tablo 2.2.4.3** (Tablo 2.2.4.1)'daki verilere benzer şekilde elde edilen sonuçlar.

| Deney No | Cx10 <sup>2</sup><br>(g PMMA/ mL<br>HCCl <sub>3</sub> ) | t <sub>çözücü</sub><br>(sn.) | t <sub>çözelti</sub><br>(sn.) | t <sub>çözelti</sub><br>(sn.) | t <sub>çözelti</sub><br>(sn.) | t <sub>çözelti</sub><br>(sn.) |
|----------|---|------------------------------|-------------------------------|-------------------------------|-------------------------------|-------------------------------|
| 1        | 0.0000  | 26.76±0.07                   | ----                          | ----                          | ----                          | ----                          |
|          | 0.1367  | ----                         | 36.25 ±0.08                   | ----                          | ----                          | ----                          |
|          | 0.2518  | ----                         | ----                          | 46.48±0.30                    | ----                          | ----                          |
|          | 0.5016  | ----                         | ----                          | ----                          | 84.65±0.14                    | ----                          |
|          | 1.0050  | ----                         | ----                          | ----                          | ----                          | 199.42±2.3                    |
| 2        | 0.0000  | 26.79±0.04                   | ----                          | ----                          | ----                          | ----                          |
|          | 0.1302  | ----                         | 34.50±0.11                    | ----                          | ----                          | ----                          |
|          | 0.2506  | ----                         | ----                          | 43.3±0.06                     | ----                          | ----                          |
|          | 0.5028  | ----                         | ----                          | ----                          | 67.83±0.70                    | ----                          |
|          | 1.0002  | ----                         | ----                          | ----                          | ----                          | 136.22±0.21                   |
| 3        | 0.0000  | 26.78±0.10                   | ----                          | ----                          | ----                          | ----                          |
|          | 0.1365  | ----                         | 34.83±0.10                    | ----                          | ----                          | ----                          |
|          | 0.2497  | ----                         | ----                          | 43.04±0.09                    | ----                          | ----                          |
|          | 0.5136  | ----                         | ----                          | ----                          | 68.85±0.17                    | ----                          |
|          | 1.0141  | ----                         | ----                          | ----                          | ----                          | 140.33±0.27                   |
| 4        | 0.0000  | 27.38±0.09                   | ----                          | ----                          | ----                          | ----                          |
|          | 0.1266  | ----                         | 34.64±0.04                    | ----                          | ----                          | ----                          |
|          | 0.2491  | ----                         | ----                          | 43.06±0.03                    | ----                          | ----                          |
|          | 0.4997  | ----                         | ----                          | ----                          | 66.71±0.11                    | ----                          |
|          | 1.0130  | ----                         | ----                          | ----                          | ----                          | 135.51±0.1                    |
| 5        | 0.0000  | 26.82±0.08                   | ----                          | ----                          | ----                          | ----                          |
|          | 0.1339  | ----                         | 34.08±0.07                    | ----                          | ----                          | ----                          |
|          | 0.2491  | ----                         | ----                          | 41.80±0.02                    | ----                          | ----                          |
|          | 0.5068  | ----                         | ----                          | ----                          | 65.288±0.4                    | ----                          |
|          | 1.0052  | ----                         | ----                          | ----                          | ----                          | 130.80±0.3                    |
| 6        | 0.0000  | 24.68±0.1                    | ----                          | ----                          | ----                          | ----                          |
|          | 0.1407  | ----                         | 30.48±0.08                    | ----                          | ----                          | ----                          |
|          | 0.2503  | ----                         | ----                          | 36.42±0.02                    | ----                          | ----                          |
|          | 0.4930  | ----                         | ----                          | ----                          | 54.76±0.09                    | ----                          |
|          | 1.0052  | ----                         | ----                          | ----                          | ----                          | 111.3±0.2                     |
| 7        | 0.0000  | 24.40±0.03                   | ----                          | ----                          | ----                          | ----                          |
|          | 0.1385  | ----                         | 29.85±0.09                    | ----                          | ----                          | ----                          |
|          | 0.2503  | ----                         | ----                          | 35.41±0.04                    | ----                          | ----                          |
|          | 0.5014  | ----                         | ----                          | ----                          | 51.93±0.04                    | ----                          |
|          | 1.0036  | ----                         | ----                          | ----                          | ----                          | 100.65±0.38                   |
| 8        | 0.0000  | 25.18±0.06                   | ----                          | ----                          | ----                          | ----                          |
|          | 0.1443  | ----                         | 30.50±0.03                    | ----                          | ----                          | ----                          |
|          | 0.2559  | ----                         | ----                          | 35.78±0.09                    | ----                          | ----                          |
|          | 0.5002  | ----                         | ----                          | ----                          | 50.49±0.07                    | ----                          |
|          | 1.0036  | ----                         | ----                          | ----                          | ----                          | 93.29±0.3                     |
| 9        | 0.0000  | 24,18±0.1                    | ----                          | ----                          | ----                          | ----                          |
|          | 0.1367  | ----                         | 30,83±0.1                     | ----                          | ----                          | ----                          |
|          | 0.2503  | ----                         | ----                          | 37,94±0.09                    | ----                          | ----                          |
|          | 0.5046  | ----                         | ----                          | ----                          | 59,3±0,16                     | ----                          |
|          | 1.0014  | ----                         | ----                          | ----                          | ----                          | 123,688±0,27                  |

(Tablo 2.2.4.3 ün devamı)

|    |        |            |            |            |            |              |
|----|--------|------------|------------|------------|------------|--------------|
|    | 0.0000 | 24.22±0.07 | ----       | ----       | ----       | ----         |
| 10 | 0.1379 | ----       | 29.98±0.09 | ----       | ----       | ----         |
|    | 0.2517 | ----       | ----       | 36.16±0.8  | ----       | ----         |
|    | 0.5044 | ----       | ----       | ----       | 55.06±0.13 | ----         |
|    | 1.0028 | ----       | ----       | ----       | ----       | 110,334±0.06 |
| 11 | 0.0000 | 25.19±0.01 | ----       | ----       | ----       | ----         |
|    | 0.1359 | ----       | 29.65±0.09 | ----       | ----       | ----         |
|    | 0.2497 | ----       | ----       | 34.63±0.03 | ----       | ----         |
|    | 0.5038 | ----       | ----       | ----       | 48.75±0.04 | ----         |
| 12 | 1.0016 | ----       | ----       | ----       | ----       | 90.53±0.05   |
|    | 0.0000 | 24.73±0.01 | ----       | ----       | ----       | ----         |
|    | 0.1395 | ----       | 30.73±0.05 | ----       | ----       | ----         |
|    | 0.2519 | ----       | ----       | 37.23±0.04 | ----       | ----         |
| 13 | 0.5026 | ----       | ----       | ----       | 56.73±0.08 | ----         |
|    | 1.0022 | ----       | ----       | ----       | ----       | 114.68±0.01  |
|    | 0.0000 | 24.72±0.02 | ----       | ----       | ----       | ----         |
|    | 0.1379 | ----       | 30.49±0.06 | ----       | ----       | ----         |
| 14 | 0.2517 | ----       | ----       | 36.97±0.05 | ----       | ----         |
|    | 0.5044 | ----       | ----       | ----       | 55.67±0.08 | ----         |
|    | 1.0028 | ----       | ----       | ----       | ----       | 111.44±0.1   |
|    | 0.0000 | 27.42±0.18 | ----       | ----       | ----       | ----         |
| 15 | 0.1312 | ----       | 34.73±0.03 | ----       | ----       | ----         |
|    | 0.2541 | ----       | ----       | 44.60±0.60 | ----       | ----         |
|    | 0.5080 | ----       | ----       | ----       | 71.03±0.60 | ----         |
|    | 1.0013 | ----       | ----       | ----       | ----       | 146.48±0.20  |
| 16 | 0.0000 | 24.33±0.08 | ----       | ----       | ----       | ----         |
|    | 0.1399 | ----       | 29.60±0.1  | ----       | ----       | ----         |
|    | 0.2507 | ----       | ----       | 34.78±0.06 | ----       | ----         |
|    | 0.5036 | ----       | ----       | ----       | 50.27±0.06 | ----         |
| 17 | 1.0118 | ----       | ----       | ----       | ----       | 95.3±0.25    |
|    | 0.0000 | 24.27±0.03 | ----       | ----       | ----       | ----         |
|    | 0.1383 | ----       | 29.71±0.1  | ----       | ----       | ----         |
|    | 0.2523 | ----       | ----       | 35.58±0.16 | ----       | ----         |
| 18 | 0.5038 | ----       | ----       | ----       | 52.42±0.04 | ----         |
|    | 1.0054 | ----       | ----       | ----       | ----       | 104.78±4.85  |
|    | 0.0000 | 25.36±0.12 | ----       | ----       | ----       | ----         |
|    | 0.1359 | ----       | 29.95±0.12 | ----       | ----       | ----         |
| 19 | 0.2497 | ----       | ----       | 34.9±0.08  | ----       | ----         |
|    | 0.5038 | ----       | ----       | ----       | 49.02±0.02 | ----         |
|    | 1.0016 | ----       | ----       | ----       | ----       | 91.35±0,23   |
|    | 0.0000 | 24.47±0.04 | ----       | ----       | ----       | ----         |
| 20 | 0.1381 | ----       | 29.73±0.03 | ----       | ----       | ----         |
|    | 0.2519 | ----       | ----       | 35.48±0.1  | ----       | ----         |
|    | 0.5014 | ----       | ----       | ----       | 51.43±0.14 | ----         |
|    | 1.0022 | ----       | ----       | ----       | ----       | 100.04±0.15  |

(Tablo 2.2.4.3 ün devamı)

|    |        |            |            |            |            |             |
|----|--------|------------|------------|------------|------------|-------------|
|    | 0.0000 | 24.76±0.07 | ----       | ----       | ----       | ----        |
| 19 | 0.1371 | ----       | 29.62±0.20 | ----       | ----       | ----        |
|    | 0.2505 | ----       | ----       | 34.78±0.05 | ----       | ----        |
|    | 0.5040 | ----       | ----       | ----       | 49.37±0.04 | ----        |
|    | 1.0052 | ----       | ----       | ----       | ----       | 91.21±0.14  |
|    | 0.0000 | 24.69±0.02 | ----       | ----       | ----       | ----        |
| 20 | 0.1369 | ----       | 30.41±0.03 | ----       | ----       | ----        |
|    | 0.2513 | ----       | ----       | 36.70±0.06 | ----       | ----        |
|    | 0.5040 | ----       | ----       | ----       | 55.76±0.08 | ----        |
|    | 1.0064 | ----       | ----       | ----       | ----       | 112.95±0.23 |
|    | 0.0000 | 24.44±0.03 | ----       | ----       | ----       | ----        |
| 21 | 0.1387 | ----       | 29.87±0.03 | ----       | ----       | ----        |
|    | 0.2511 | ----       | ----       | 35.60±0.06 | ----       | ----        |
|    | 0.5034 | ----       | ----       | ----       | 52.64±0.09 | ----        |
|    | 1.0050 | ----       | ----       | ----       | ----       | 101.5±0.30  |
|    | 0.0000 | 24.54±0.07 | ----       | ----       | ----       | ----        |
| 22 | 0.1397 | ----       | 31.33±0.06 | ----       | ----       | ----        |
|    | 0.2511 | ----       | ----       | 38.37±0.04 | ----       | ----        |
|    | 0.5034 | ----       | ----       | ----       | 60.73±0.45 | ----        |
|    | 1.0032 | ----       | ----       | ----       | ----       | 125.74±0.1  |
|    | 0.0000 | 25.02±0.08 | ----       | ----       | ----       | ----        |
| 23 | 0.1413 | ----       | 31.56±0.1  | ----       | ----       | ----        |
|    | 0.2513 | ----       | ----       | 37.60±0.10 | ----       | ----        |
|    | 0.5018 | ----       | ----       | ----       | 55.47±0.05 | ----        |
|    | 1.0082 | ----       | ----       | ----       | ----       | 104.86±0.02 |
|    | 0.0000 | 24.64±0.06 | ----       | ----       | ----       | ----        |
| 24 | 0.1373 | ----       | 30.83±0.08 | ----       | ----       | ----        |
|    | 0.2529 | ----       | ----       | 37.66±0.09 | ----       | ----        |
|    | 0.5002 | ----       | ----       | ----       | 56.62±0.10 | ----        |
|    | 1.0012 | ----       | ----       | ----       | ----       | 119.34±0.07 |
|    | 0.0000 | 24.74±0.06 | ----       | ----       | ----       | ----        |
| 25 | 0.1375 | ----       | 30.57±0.03 | ----       | ----       | ----        |
|    | 0.2499 | ----       | ----       | 36.60±0.05 | ----       | ----        |
|    | 0.5020 | ----       | ----       | ----       | 55.79±0.08 | ----        |
|    | 1.0074 | ----       | ----       | ----       | ----       | 115.7±0.01  |

**Tablo 2.2.4.4** Tüm çalışmalar için (Tablo 2.2.3.2)'deki verilere benzer şekilde elde edilen sonuçlardan hesaplanan  $\eta_i$  değerleri, vizkozite ortalaması molekül ağırlığı ve verilerin uyumunu gösteren korelasyon katsayıları .

| Çalışma No | $\eta_i$ | $\bar{M}_v$<br>( $\text{gmol}^{-1}$ ) | K.K.   |
|------------|----------|---------------------------------------|--------|
| 1          | 193.86   | 571033                                | 0.9957 |
| 2          | 192.21   | 564887                                | 0.9993 |
| 3          | 188.35   | 550563                                | 0.9998 |
| 4          | 181.93   | 526914                                | 0.9990 |
| 5          | 173.28   | 495400                                | 0.9995 |
| 6          | 138.86   | 374286                                | 0.9987 |
| 7          | 137.23   | 368732                                | 0.9999 |
| 8          | 127.46   | 335818                                | 0.9990 |
| 9          | 166.54   | 471133                                | 0.9998 |
| 10         | 143.26   | 389363                                | 0.9998 |
| 11         | 111.89   | 284754                                | 0.9995 |
| 12         | 145.19   | 396016                                | 0.9995 |
| 13         | 142.64   | 387231                                | 0.9995 |
| 14         | 178.38   | 513931                                | 0.9946 |
| 15         | 133.40   | 355753                                | 0.9998 |
| 16         | 134.88   | 360757                                | 0.9996 |
| 17         | 113.31   | 289337                                | 0.9999 |
| 18         | 132.71   | 353425                                | 0.9996 |
| 19         | 125.02   | 327700                                | 0.9996 |
| 20         | 140.55   | 380062                                | 0.9999 |
| 21         | 137.30   | 368971                                | 0.9991 |
| 22         | 164.31   | 463160                                | 0.9991 |
| 23         | 163.12   | 458918                                | 0.9990 |
| 24         | 212.35   | 416114                                | 0.9991 |
| 25         | 137.97   | 371252                                | 0.9995 |

### Sayı Ortalaması Molekül Ağırlığı ( $\bar{M}_n$ ) ve Ağırlık Ortalaması Molekül Ağırlığı ( $\bar{M}_w$ )nın Belirlenmesi

Latekslerdeki molekül ağırlık dağılımları Jel Geçirgenlik Kromatografisi (GPC) ile belirlenmiştir. Bu çalışmalarдан elde edilen sonuçlar toplu olarak Tablo 2.2.4.5 de verilmiştir.

**Tablo 2.2.4.5 GPC ile elde edilmiş molekül ağırlıkları.**

| NO | $\bar{M}_w$ (gmol <sup>-1</sup> ) | $\bar{M}_n$ (gmol <sup>-1</sup> ) | $\bar{M}_w / \bar{M}_n$ |
|----|-----------------------------------|-----------------------------------|-------------------------|
| 1  | 736423                            | 327326                            | 2.25                    |
| 2  | 826550                            | 493509                            | 1.67                    |
| 3  | 797981                            | 401212                            | 1.99                    |
| 4  | 853814                            | 482194                            | 1.77                    |
| 5  | 683685                            | 264416                            | 2.59                    |
| 6  | 707296                            | 331699                            | 2.13                    |
| 7  | 803932                            | 414556                            | 1.94                    |
| 8  | 601790                            | 260395                            | 2.31                    |
| 9  | 746849                            | 331446                            | 2.25                    |
| 10 | 696837                            | 284466                            | 2.45                    |
| 11 | 660821                            | 286038                            | 2.31                    |
| 12 | 716586                            | 281867                            | 2.54                    |
| 13 | 772147                            | 377901                            | 2.04                    |
| 14 | 657767                            | 340643                            | 1.93                    |
| 15 | 715340                            | 356319                            | 2.01                    |
| 16 | 683115                            | 281298                            | 2.43                    |
| 17 | 615774                            | 217146                            | 2.84                    |
| 18 | 788900                            | 384645                            | 2.05                    |
| 19 | 604756                            | 228592                            | 2.65                    |
| 20 | 785955                            | 398233                            | 1.97                    |
| 21 | 725741                            | 389639                            | 1.86                    |
| 22 | 788178                            | 356616                            | 2.21                    |
| 23 | 642473                            | 274557                            | 2.34                    |
| 24 | 674477                            | 326149                            | 2.07                    |
| 25 | 716301                            | 295451                            | 2.42                    |

## **2.2.5 Latekslerdeki Parçacık Boyut Dağılımlarının Belirlenmesi**

### **SEM Fotoğrafları:**

Numuneler fotoğrafları alınmadan önce yaklaşık olarak yirmi kattan daha fazla suyla seyreltilerek metal stap üzerine bir iki damla kadar damlatılmış ve havada kurutulmuştur. Daha sonra numuneler altınla kaplanmıştır. 20000 den 35000 büyütmelerde fotoğrafları çekilmiştir. Fotoğraflardaki boyut dağılımları bir bilgisayar programı olan Corel PhotoPaint 8.0 yardımı ile ölçülmüştür.

Elektron mikroskopu çalışmaları ile elde edilen fotoğraflardan elde edilen tanecik boyut dağılımları Tablo 2.2.5.1'de verilmiştir.

**Tablo 2.2.5.1** SEM fotoğraflarından elde edilmiş parçacık boyut dağılımları

| NO | R /(nm)  | NO | R /(nm)  |
|----|----------|----|----------|
| 1  | -----    | 14 | 372± 4   |
| 2  | 234 ± 5  | 15 | 488 ± 6  |
| 3  | 278 ± 5  | 16 | -----    |
| 4  | 423 ± 14 | 17 | -----    |
| 5  | 465 ± 16 | 18 | 406 ± 12 |
| 6  | 277 ± 6  | 19 | 495 ± 10 |
| 7  | 418 ± 16 | 20 | 386 ± 6  |
| 8  | 473 ± 12 | 21 | 466 ± 12 |
| 9  | 499 ± 10 | 22 | 432 ± 9  |
| 10 | 393 ± 4  | 23 | 524 ± 19 |
| 11 | 481 ± 6  | 24 | 584 ± 14 |
| 12 | 421 ± 9  | 25 | 538 ± 21 |
| 13 | -----    |    |          |

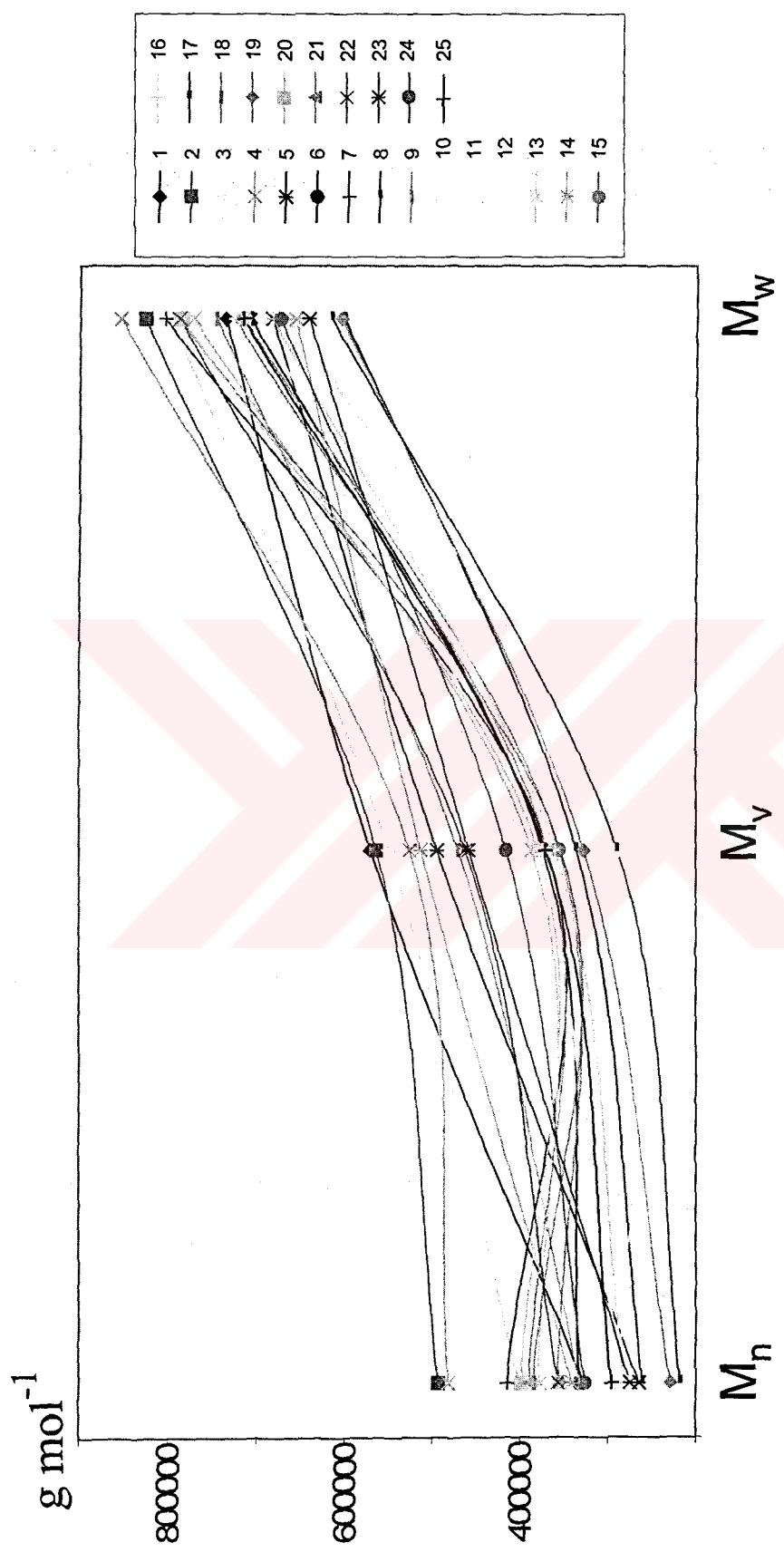
### **3. SONUÇLAR VE TARTIŞMA**

Metil metakrilatın emülgatörsüz emülsiyon polimerizasyon kinetiği, farklı kontrasyonlardaki tuzlarla, ortam özellikleri değiştirilerek incelenmiş, Zaman-Dönüşüm eğrilerinin yanı sıra, ürünün mol tartısı ve lateks içindeki boncukların boyut dağılımlarının değişimi ortam özelliklerine bağlı olarak aşağıda verilmiştir.

Polimerizasyon kinetiği 160 dakika boyunca izlenmiş ve beklentiği gibi reaksiyonun başlarında polimerizasyon hız düşükken, ortama bağlı olarak 25-55 dakika arasında birinci bölgenin sonuna ulaşılmıştır.

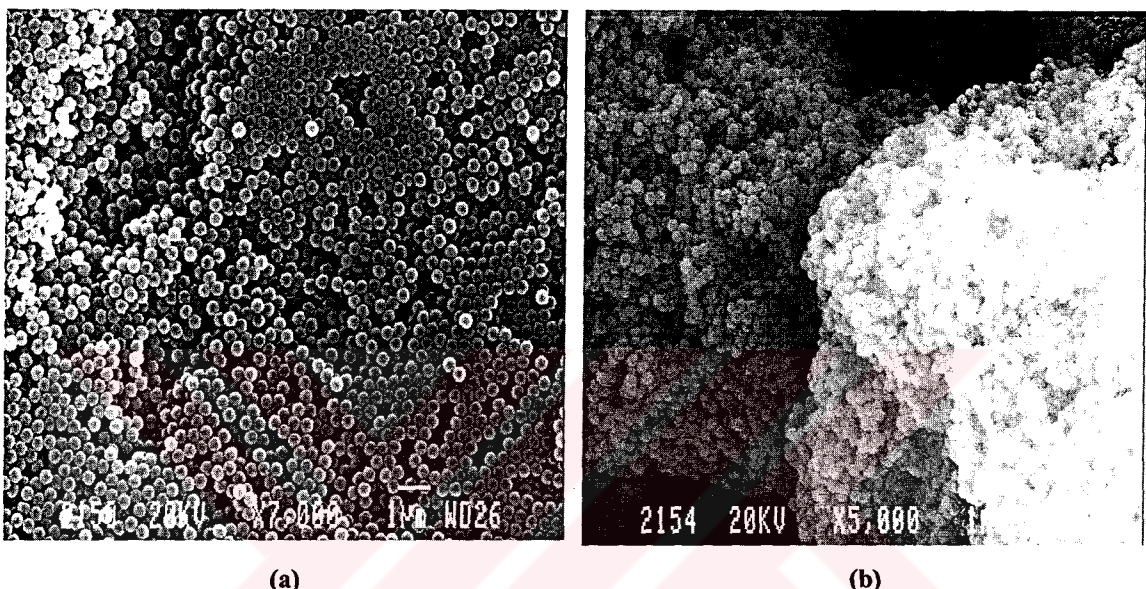
Polimerizasyon kinetiği çalışmalarında dönüşüm % 90 in üzerine çıkmıştır. İlerleyen zamanla, bazı çalışmalarında dönüşüm yüzdesinin düşüğü gözlenmiştir. Oluşmuş polimer herhangi bir nedenle reaksiyon ortamından uzaklaşmayacağı veya başka ürünlerde dönüşmeyeceğinden, bu davranış, oluşan polimerin sistemde köpüklenmelerin olması nedeniyle, reaksiyon ortamından alınan örnekler içindeki polimer içeriği düşmesine bağlanabilir.

Elde edilen polimerlerin  $M_n$  değerleri; 210-500,  $M_w$  değerleri 600-850 ve  $M_v$   $280-570 \text{ Kg mol}^{-1}$  olarak ölçülmüştür. Elde edilmiş sonuçların toplu grafiği Şekil 3. 1 de verilmiştir. Bununla bereber bazı çalışmalarındaki  $M_n$  ve  $M_w$  değerleri ile  $M_v$  değerleri karşılaştırıldığında beklenenden farklı sonuçlar elde edilmiştir.  $M_v$  ölçümleri yapılrken ortamdaki tuzun polimeri kirletmesi nedeniyle homojen çözelti hazırlanamamış ve bu problemin ortadan kaldırılabilmesi için elde edilmiş lateksler 5 kez bidestile su ile yıkılmıştır. GPC kullanılarak ölçülen mol tartılarında bu işlem uygulanmamıştır.



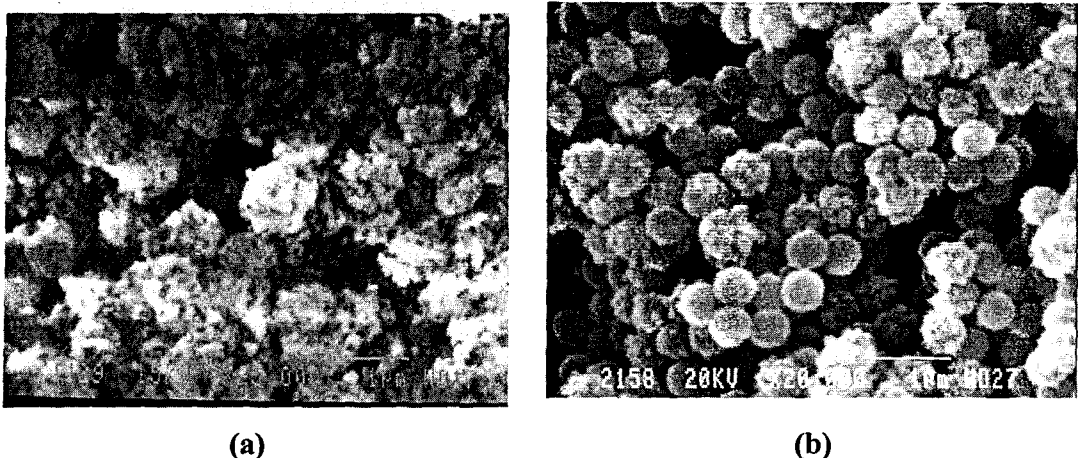
Şekil 3.1 Elde edilmiş polimerler için  $M_n$ ,  $M_v$  ve  $M_w$  değerleri.

Elde edilmiş lateks içindeki boncukların boyutları, 234-584 nm arasında değişmiştir. Boncuklar ortam özelliklerine bağlı olarak agglomerasyona uğradıkları elde edilen SEM fotoğraflarından görülmüştür (Şekil 3.2).



Şekil 3.2 Lateks boncuklarının ortamın özelliklerine bağlı olarak agglomeratlaşması. (a) Çalışma No : 14  
(b) Çalışma No : 12

Yüksek tuz konsantrasyonu kullanılarak elde edilmiş latekslerin boncukları üzerinde SEM fotoğraflarından tuz kristallerinin olduğu görülmüş, bunların tuz kristalleri olduğunun kanıtlanması amacıyla, lateks 5 kez bidestile su ile yıkandıktan sonra yeniden SEM fotoğrafları çekilmiştir. Boncuklar üzerindeki tuz büyük bölümünün uzaklaştığı görülmüştür (Şekil 3.3).



**Şekil 3.3** 19 nolu çalışmada LiCl ile kaplanmış boncukların yıkamlarından sonra boncukların ortaya çıkması. (a) Yıkanmamış Örnek (b) Yıkanmış Örnek

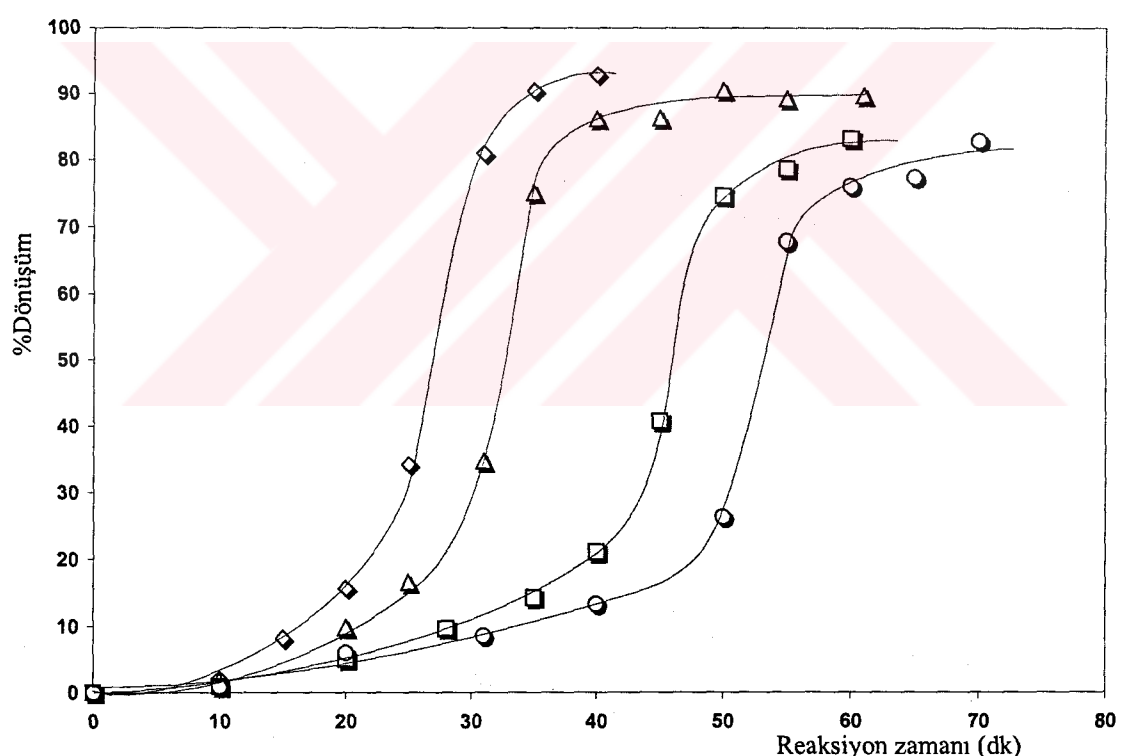
### 3.1 Polimerizasyon Kinetiği

Polimerizasyon mekanizması ve polimerizasyon hızı, monomer, sıcaklık, başlatıcı tipi ve konsantrasyonu gibi parametrelere bağımlıdır [13,17, 22, 23, 24, 26, 28]. Örneğin monomer tipi ve oluşan oligomerin çözünürlüğünün mekanizmayı nasıl değiştirebileceği Bölüm 1.2.2 ‘de ayrıntısı ile anlatılmıştır. Benzer şekilde sıcaklığın artması aktivasyon enerjisine bağlı olarak polimerizasyon hızını değiştirmesine karşın, sıcaklığın diğer bir etkisi de monomer ve oligomer çözünürlüğünü değiştirmesidir[22]. Yine başlatıcı tipi ortamdaki radikal konsantrasyonunu ve monomer ile reaksiyon verme hızını belirlese de ortam özelliklerini bir elektrolit gibi etkilediği de gözden kaçırılmaması gereken bir noktadır[26]. Ortamda çözünmüş monomer ve oluşan oligomerlerin konsantrasyonlarını değiştirmenin bir yolu tuz eklemektir. Aşağıda tuzun cinsi, tuzun miktarı dolayısıyla ortamın iyonik şiddetine bağlı olarak polimerizasyon kinetiği incelenmiştir.

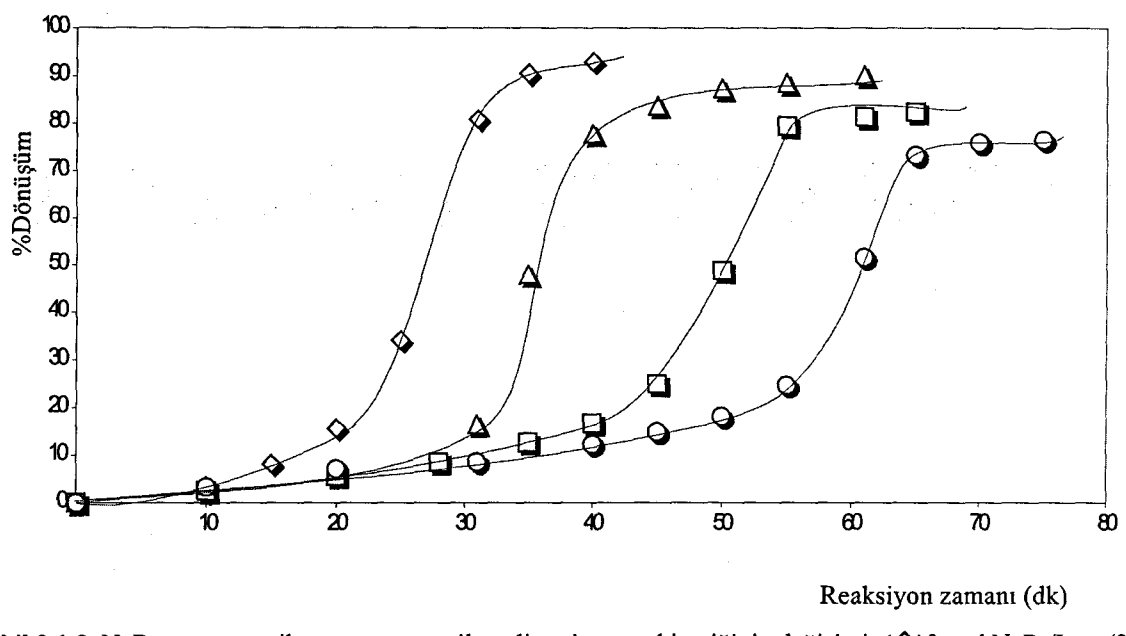
#### 3.1.1 Tuz Miktarı Etkisi

Tuz konsantrasyonunun artışı monomer çözünürlüğünün azalması nedeniyle reaksiyonun ilk evresinin uzamasına neden olmuştur. Bu aynı zamanda reaksiyonun tamam-

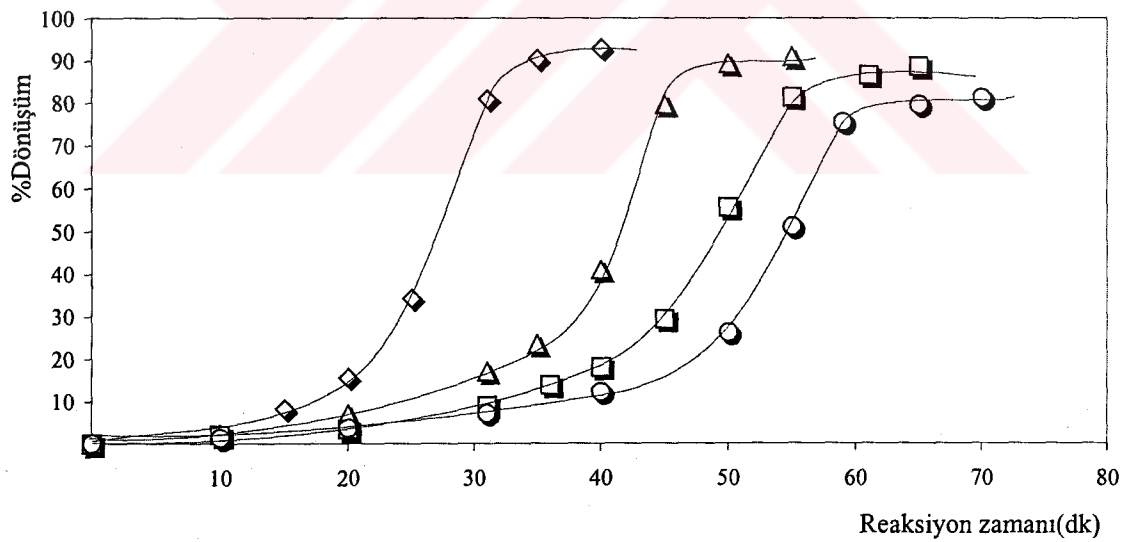
lanma zamanlarını da uzatmıştır. Tuz konsantrasyonunun artışı ile birlikte birinci bölgenin başlangıcı 20 dakikadan 60 dakikaya kadar uzamıştır (Şekil 3.1.1, Şekil 3.1.2, Şekil 3.1.3, Şekil 3.1.4). Bununla beraber  $\text{Na}_2\text{SO}_4$  tuzuna dikkat edildiğinde beklenenden farklı sonuçlarla karşılaşılmıştır. Bu çalışmalarda tuz konsantrasyonunun artması ile önce bekleniği gibi reaksiyon zamanlarının uzamasına karşın, konsantrasyonun daha da artması ile önce reaksiyon zamanları kısalımaya başlamış, ardından tuz konsantrasyonun daha da artması ile reaksiyon zamanı yeniden uzamaya başlamıştır. Özel bir konstantrasyon civarında dönüşüm hızı değişmemiştir (Şekil 3.1.4). Bu tuzun inert olmasına bir sonucu olarak düşünülmüştür. Daha ayrıntılı olarak Tuz Cinsinin Etkisi kısmında tartışılacaktır.



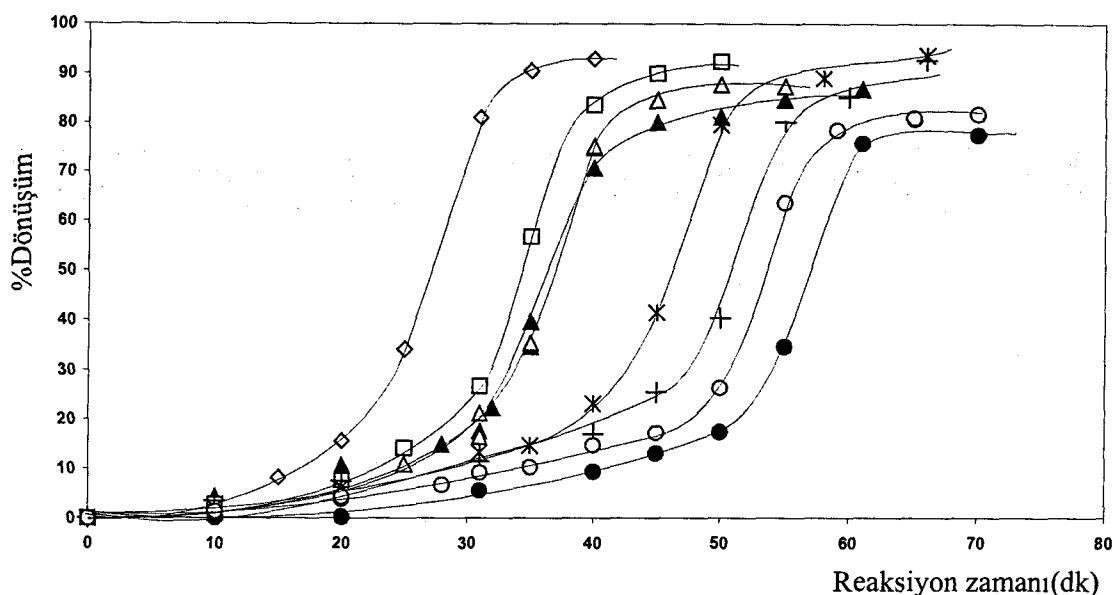
Şekil 3.1.1 NaCl tuzunun miktarının artması ile polimerizasyon kinetisinin değişimi ;(◊)0 mol NaCl/L su (2)  
(Δ)  $0.5 \times 10^{-2}$  mol NaCl/L su (3) (□)  $1 \times 10^{-2}$  mol NaCl/L su (4) (○)  $2 \times 10^{-2}$  mol NaCl/L su (5)



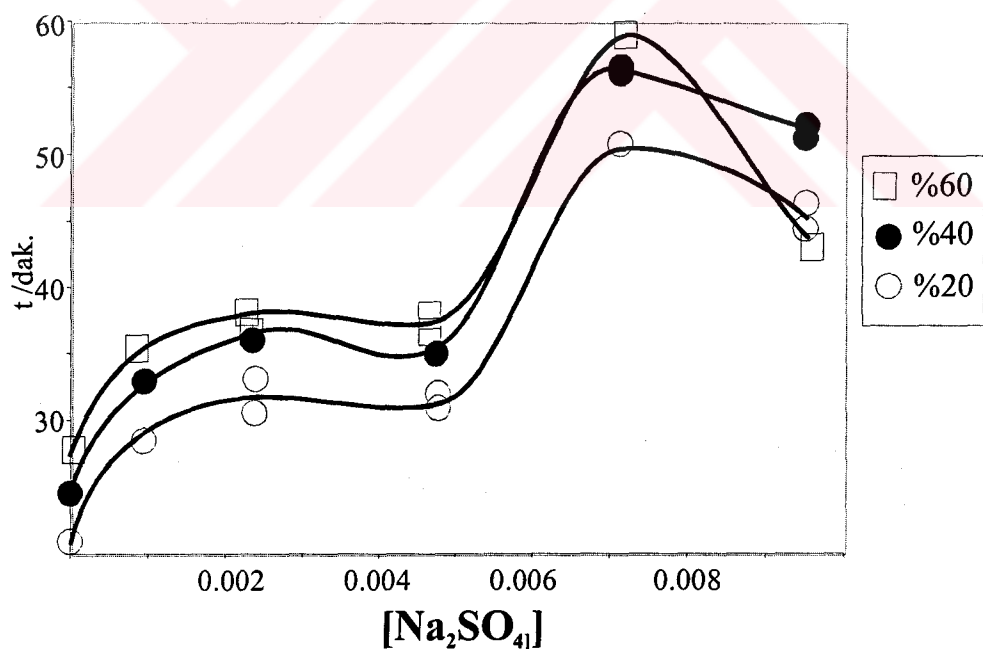
Şekil 3.1.2 NaBr tuzunun miktarının artması ile polimerizasyon kinetiğinin değişimi ;(◊)0 mol NaBr/L su (2)  
(Δ)  $0.5 \times 10^{-2}$  mol NaBr/L su (6) (□)  $1 \times 10^{-2}$  mol NaBr/L su (7) (○)  $2 \times 10^{-2}$  mol NaBr/L su (8)



Şekil 3.1.3 LiCl tuzunun miktarının artması ile polimerizasyon kinetiğinin değişimi ;(◊)0 mol LiCl/L su(2), (Δ)  $0.5 \times 10^{-2}$  mol LiCl/L su (20), (□)  $1 \times 10^{-2}$  mol LiCl/L su (18), (○)  $2 \times 10^{-2}$  mol LiCl/L su (19).



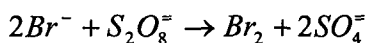
Şekil 3.1.4 Na<sub>2</sub> SO<sub>4</sub> tuzunun miktarının artması ile polimerizasyon kinetiğinin değişimi ;(◊)0 mol Na<sub>2</sub> SO<sub>4</sub>/L su(2), (□) 0.1x10<sup>-2</sup> mol Na<sub>2</sub> SO<sub>4</sub>/L su (14), (Δ)0.25x10<sup>-2</sup> mol.Na<sub>2</sub> SO<sub>4</sub> /L su (10,13), (\*) 0.3x10<sup>-2</sup> mol Na<sub>2</sub> SO<sub>4</sub>/L su (22), (▲) 0.5x10<sup>-2</sup> mol Na<sub>2</sub> SO<sub>4</sub>/L su (9,12), (+) 0.6x10<sup>-2</sup> mol Na<sub>2</sub> SO<sub>4</sub>/L su (21), (●) 0.75x10<sup>-2</sup> mol Na<sub>2</sub> SO<sub>4</sub>/L su (15,16), (○)1x10<sup>-2</sup> mol Na<sub>2</sub> SO<sub>4</sub>/L su (11,17)



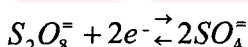
Şekil 3.1.5 Farklı Na<sub>2</sub> SO<sub>4</sub> konsantrasyonlarında %20, %40, %60 dönüşüme ulaşma zamanları

### 3.1.2 Tuz Cinsi Etkisi

Reaksiyon ortamına tuz ilavesi olayı iki farklı şekilde etkilemektedir. Eklenmiş tuz reaksiyonu herhangi bir şekilde etkilemeyen, yalnızca fiziksel anlamda ortam özeliliklerini etkileyen bir tür olarak düşünülebilir. Eklenmiş tuzdan gelen anyon veya kationlar ortamındaki türlerle bir tür kimyasal etkileşmeye de girebilirler. LiCl ve NaCl reaksiyona herhangi bir etkisi olmayan ama ortamın fiziksel özelliklerini etkileyen türleri verirler. Oysa NaBr in ortama sağladığı Br<sup>-</sup> iyonları S<sub>2</sub>O<sub>8</sub><sup>=</sup> başlatıcı ile

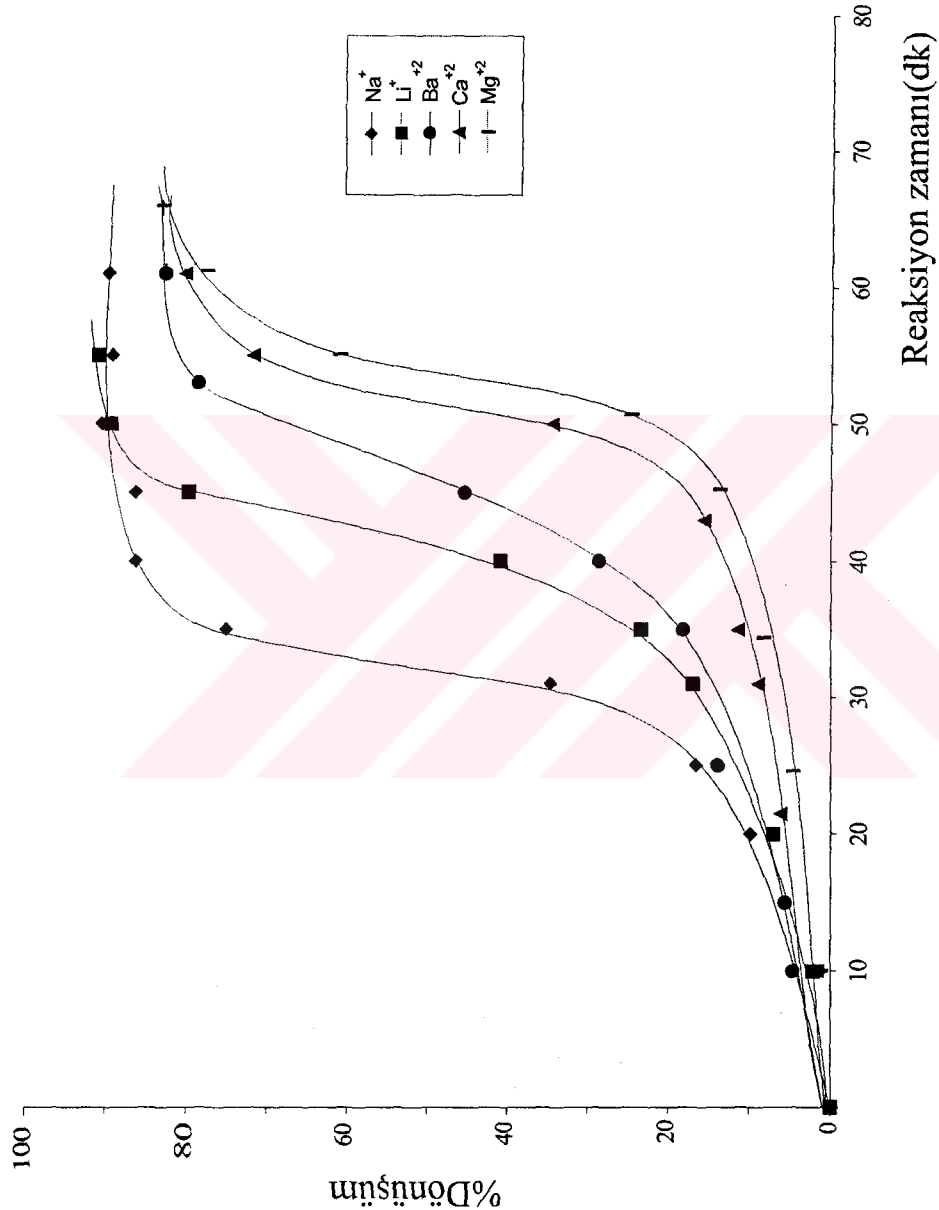


tepkimesini verdikleri için [36], S<sub>2</sub>O<sub>8</sub><sup>=</sup> başlatıcısını etkinliğini düşürerek reaksiyonun daha fazla gerilemesine neden olmuştur. NaI kullanılarak polimerizasyon reaksiyonu hiç gerçekleştirilememiştir. NaBr ile yapılan reaksiyon sırasında ortamın hafifçe sararması yukarıdaki olayı desteklemektedir. Tuz olarak NaBr kullanıldığından reaksiyon hızının NaCl e göre daha fazla gerilediği açıkça grafiklerden görülmektedir. Na<sub>2</sub>SO<sub>4</sub> konsantrasyonu artışı ile eklenmesi ile S<sub>2</sub>O<sub>8</sub><sup>=</sup> iyonları ile SO<sub>4</sub><sup>=</sup> iyonları arasındaki kimyasal bir etkileşmenin reaksiyon hızını değiştirdiği düşünülmüştür (Şekil 3.1.5). Çünkü düşük tuz konsantrasyonlarında reaksiyon hızı düşerken, ortamındaki SO<sub>4</sub><sup>=</sup> konsantrasyonunun artışı ile birlikte S<sub>2</sub>O<sub>8</sub><sup>=</sup> iyonlarının yan reaksiyonlarla tükenmesi azalmış olabilir. Çünkü S<sub>2</sub>O<sub>8</sub><sup>=</sup> ile SO<sub>4</sub><sup>=</sup> arasında

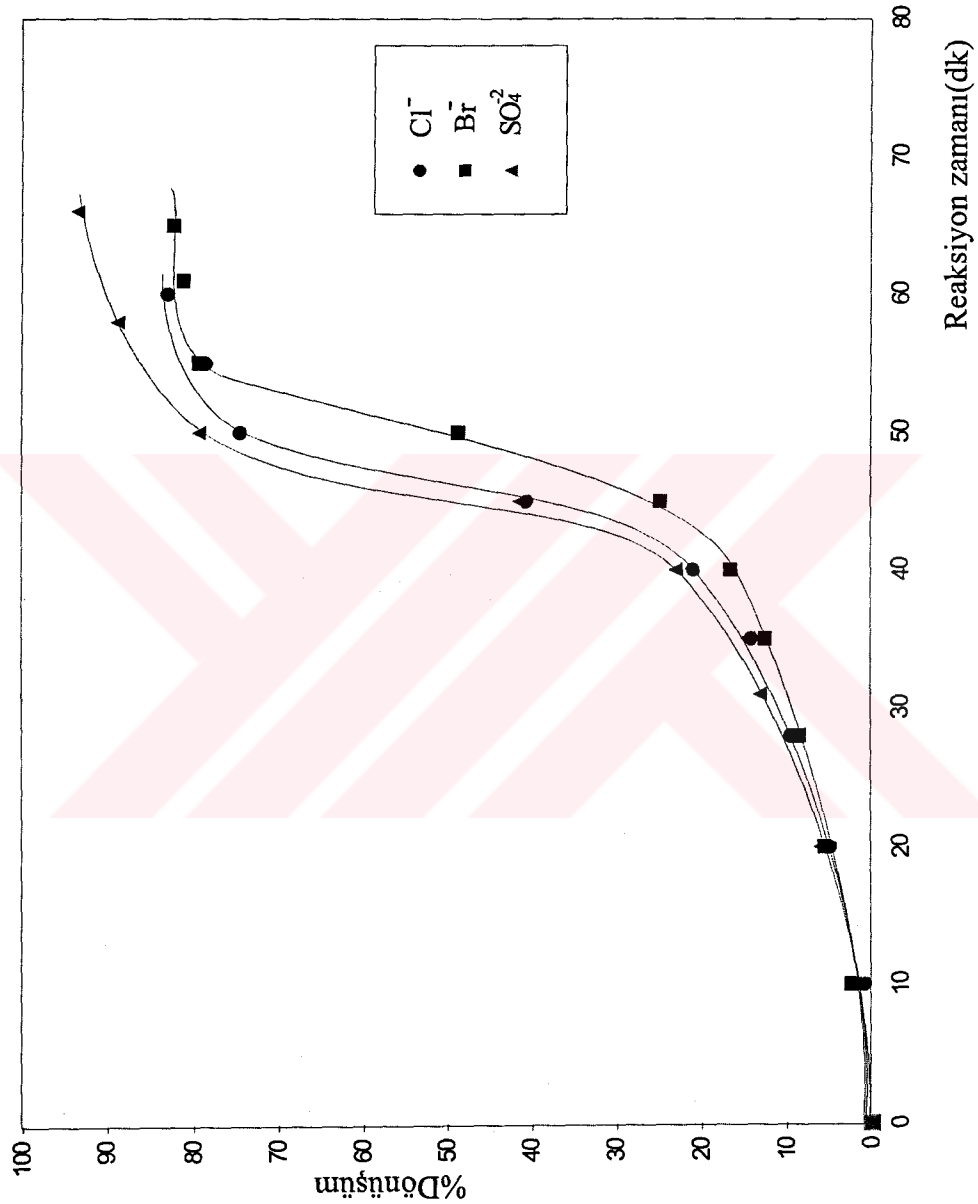


şeklinde bir redoks tepkimesi mümkündür [37]. Ortamda indirgenme tepkimesini karşılayabilecek türler monomerden doğmuş olabilirler.

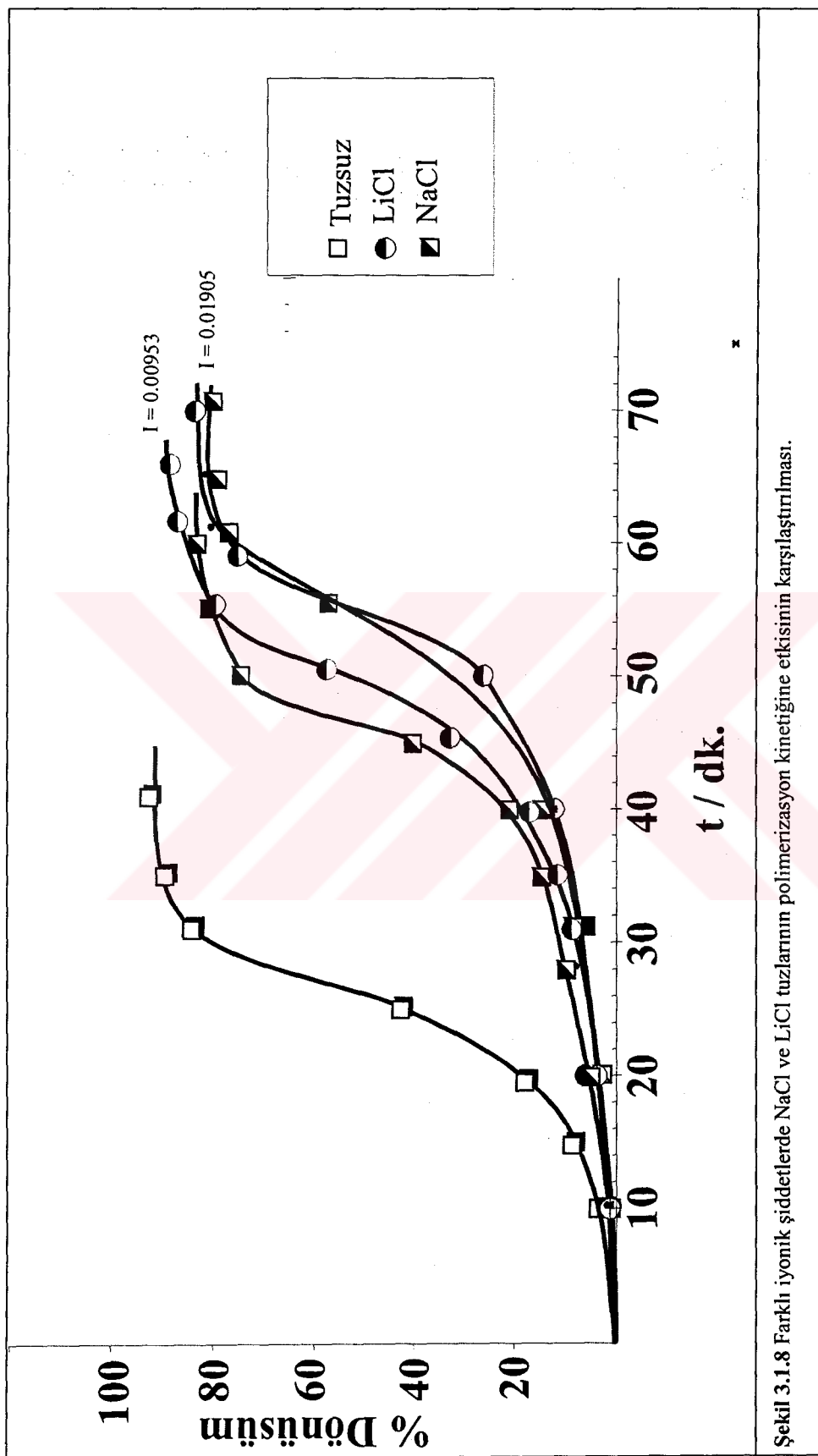
LiCl ve NaCl tuzları ise herhangi bir kimyasal etkileşme vermemesine karşın, reaksiyon hızı LiCl'lu ortamda gerçekleştirilen reaksiyonlarda daha düşüktür (Şekil 3.1.8). Aynı iyonik şiddetteki CaCl<sub>2</sub>, MgCl<sub>2</sub> ve BaCl<sub>2</sub> tuzların da reaksiyon hızları üzerine etkileri de birbirinden farklıdır (Şekil 3.1.6). Tüm bu tuzların Stokes yarıçapları [38] ile % 20 dönüşümme ulaşma zamları arasında doğrusal bir ilişki olduğu görülmektedir (Şekil 3.1.9).



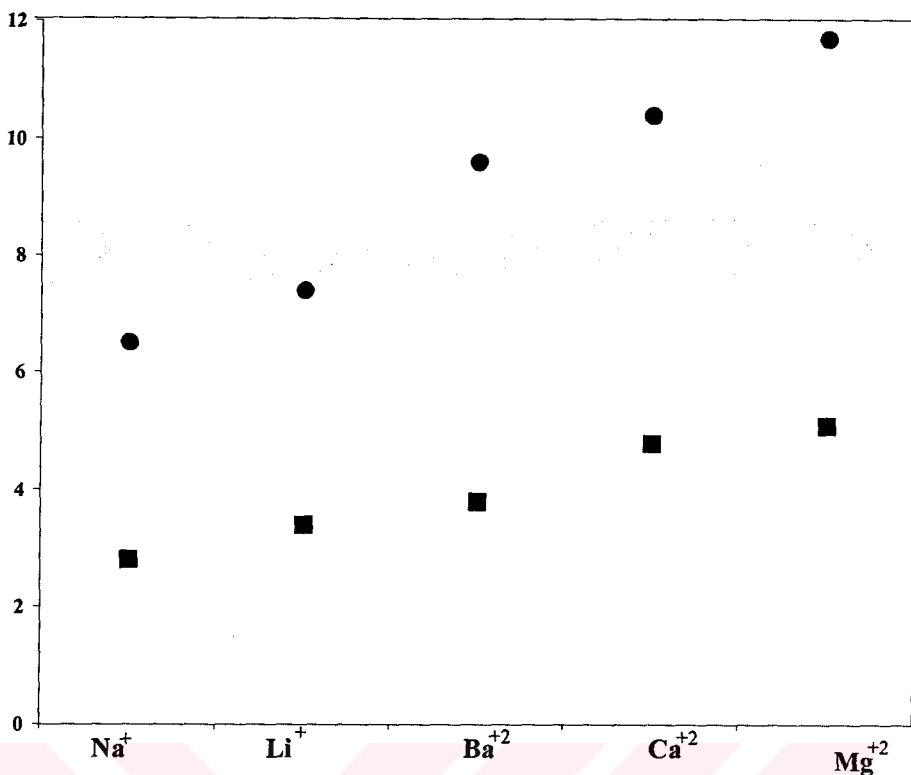
**Sekil 3.1.6** Aynı iyonik şiddeti ( $I=0.005$ ) sağlayan ve ortak iyonu  $\text{Cl}^-$  olan tuzlar kullanıldığında (3,6,20,23,24,25 No'lu Çalışmalar) katyon cinsinin polimerizasyon kinetигine etkisi



Şekil 3.1.7 Aynı iyonik şiddette ( $I=0.01$ ) sağlayan ve ortak iyonu  $\text{Na}^+$  olan tuzlar kullanıldığında (4, 7, 22 No'lu Çaltırmalar) anion cinsinin polimerizasyon kinetигine etkisi



Şekil 3.1.8 Farklı iyonik şiddetlerde NaCl ve LiCl tuzlarının polimerizasyon kinetiğine etkisinin karşılaştırılması.



Şekil 3.1.9 İyonların Stokes yarıçapı ile % 20'lik dönüşümü ulaşma zamanları arasındaki ilişki ,(●); Stokes Yarıçapı Sayısı, (■); % 20'lük dönüşümü ulaşma zamanı.

## 3.2 Molekül Ağırlıkları

Mol tartıları hesaplanırken iki farklı yöntemden, GPC ve Vizkozite ölçümle-rinden yararlanılarak hesaplamalar yapılmıştır. Vizkozite ölçümlerinde polimerler kullanılmadan önce 5 kez bidestile su ile yıkanmıştır. GPC ile yapılan ölçümlerde ise herhangi bir yıkama işlemi uygulanmamıştır. Genel anlamda iki yöntemle elde edil-miş mol tartılarına bakıldığındá birkaç istisna dışında birbiri ile uyum içindedirler.

### 3.2.1 Tuz Miktarının Etkisi

Yıklanmış polimer örnekler dikkate alındığında tuz miktarının artışı  $M_v$  değer-lerinin düşmesine neden olmuştur (Tablo 3.2.1). Bunun nedeni tuz konsantrasyonu artışı ile su fazında çözünmüş monomer konsantrasyonunun azalmasından kaynakla-

nir. Çünkü monomer konsantrasyonunun azalması ortamda oluşan ilk parçacıkların sayısının daha az olmasına neden olur. Bu parçacık başına düşen radikal konsantrasyonun artması anlamına gelecektir ve boncuklar içinde sonlanma tepkimelerinin daha hızlı ilerlemesine neden olacaktır.

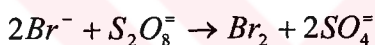
**Tablo 3.2.1** Aynı cins tuzların kullanıldığı çalışmalarında, iyonik şiddetin molekül ağırlıklarına etkisi

| Tuz                             | Ç.NO | Iyonik<br>Şiddet | $M_v \times 10^{-3}$<br>(gmol $^{-1}$ ) | $M_w \times 10^{-3}$<br>(gmol $^{-1}$ ) | $M_n \times 10^{-3}$<br>(gmol $^{-1}$ ) | $M_w/M_n$ |
|---------------------------------|------|------------------|---|---|---|-----------|
|                                 | 1    | 0                | 571                                     | 736                                     | 327                                     | 2.25      |
|                                 | 2    | 0                | 565                                     | 826                                     | 493                                     | 1.68      |
|                                 | 3    | 0.005            | 550                                     | 798                                     | 401                                     | 1.99      |
| NaCl                            | 4    | 0.010            | 527                                     | 853                                     | 482                                     | 1.78      |
|                                 | 5    | 0.020            | 495                                     | 684                                     | 264                                     | 2.59      |
|                                 | 6    | 0.005            | 374                                     | 707                                     | 332                                     | 2.13      |
| NaBr                            | 7    | 0.010            | 369                                     | 804                                     | 415                                     | 1.94      |
|                                 | 8    | 0.020            | 336                                     | 602                                     | 260                                     | 2.31      |
|                                 | 20   | 0.005            | 353                                     | 786                                     | 398                                     | 1.97      |
| LiCl                            | 18   | 0.010            | 380                                     | 789                                     | 385                                     | 2.05      |
|                                 | 19   | 0.020            | 328                                     | 605                                     | 229                                     | 2.65      |
|                                 | 14   | 0.003            | 514                                     | 657                                     | 341                                     | 1.93      |
|                                 | 10   | 0.007            | 389                                     | 696                                     | 285                                     | 2.45      |
|                                 | 13   | 0.007            | 387                                     | 772                                     | 378                                     | 2.04      |
|                                 | 22   | 0.010            | 463                                     | 788                                     | 357                                     | 2.21      |
|                                 | 12   | 0.015            | 396                                     | 717                                     | 282                                     | 2.54      |
| Na <sub>2</sub> SO <sub>4</sub> | 9    | 0.015            | 471                                     | 747                                     | 332                                     | 2.25      |
|                                 | 21   | 0.018            | 369                                     | 726                                     | 390                                     | 1.86      |
|                                 | 15   | 0.022            | 356                                     | 715                                     | 356                                     | 2.01      |
|                                 | 16   | 0.022            | 361                                     | 683                                     | 281                                     | 2.43      |
|                                 | 11   | 0.030            | 285                                     | 661                                     | 286                                     | 2.31      |
|                                 | 17   | 0.030            | 289                                     | 616                                     | 217                                     | 2.84      |

### 3.2.2 Tuz Cinsi Etkisi

Reaksiyona herhangi bir şekilde katılmayan aynı konsantrasyondaki NaCl ile LiCl ün ürünün mol tartısını nasıl etkilediğine bakılırsa, daha büyük Stokes yarıçaplarına sahip Li<sup>+</sup> içeren LiCl ün mol tartısını daha fazla düşürdüğü görülmektedir. İyonun Stokes yarıçapının fazla olması, boncuk yüzeyi civarında yer alan iyonları hantallaştıracak, boncuk içine diffüzlenecek monomerler için bir tip sterik engel oluşturacaktır. Bu boncuk içindeki R<sub>p</sub>/R<sub>t</sub> oranının düşmesine, dolayısıyla polimer mol tartısının azalmasına neden olmuştur. İyonun değerliğinin artması Stokes yarıçapını artıracagından, ve iyonlar daha fazla boncuk yüzeyi civarında olacaklarından, bu iyonların ortamda bulunması daha fazla mol tartısı düşmesine neden olmuşlardır.

NaCl ve NaBr kullanılarak gerçekleştirilen reaksiyonların reaksiyon hızlarının düşmesi



reaksiyonu sonucu ilk parçacıkların oluşması sonucu başlatıcı radikal konsantrasyonunun azalmasına bağlanmıştır. Aynı reaksiyon sonucu oluşmuş apolar Br<sub>2</sub> apolar karakteri yüksek monomerle şişmiş polimer boncukların fazını tercih edebilir. Bağ ayırtma enerjisi 46 kcal mol<sup>-1</sup> [39] olan Br<sub>2</sub> bu fazda kolayca radikaller üreterek sonlanma tepkimelerinin fazla olmasına neden olabilir. Bunun, deneysel sonuçlarla uyumlu olduğu ve Br<sup>·</sup> konsantrasyonunun artışının mol tartısını beklenenden fazla düşürdüğü görülmektedir ( Tablo 3.2.2).

**Tablo 3.2.2** Ortamın iyonik şiddeti aynı olan çalışmalarında, tuz cinsinin molekül ağırlıklarına etkisi

| İyonik Şiddet | Tuz (Ç.NO)                           | $M_v \times 10^{-3}$ (gmol $^{-1}$ ) | $M_w \times 10^{-3}$ (gmol $^{-1}$ ) | $M_n \times 10^{-3}$ (gmol $^{-1}$ ) |
|---------------|--------------------------------------|--------------------------------------|--------------------------------------|--------------------------------------|
| 0.005         | NaCl (3)                             | 550                                  | 798                                  | 401                                  |
|               | LiCl(20)                             | 380                                  | 786                                  | 398                                  |
|               | CaCl <sub>2</sub> (23)               | 458                                  | 643                                  | 275                                  |
|               | MgCl <sub>2</sub> (24)               | 416                                  | 675                                  | 326                                  |
|               | BaCl <sub>2</sub> (25)               | 371                                  | 716                                  | 295                                  |
| 0.005         | NaCl (3)                             | 550                                  | 798                                  | 401                                  |
|               | NaBr (6)                             | 374                                  | 707                                  | 332                                  |
| 0.01          | NaCl (4)                             | 526                                  | 853                                  | 482                                  |
|               | NaBr. (7)                            | 353                                  | 789                                  | 385                                  |
|               | Na <sub>2</sub> SO <sub>4</sub> (22) | 463                                  | 788                                  | 357                                  |
| 0.02          | LiCl (19)                            | 328                                  | 605                                  | 229                                  |
|               | NaCl (5)                             | 495                                  | 683                                  | 264                                  |

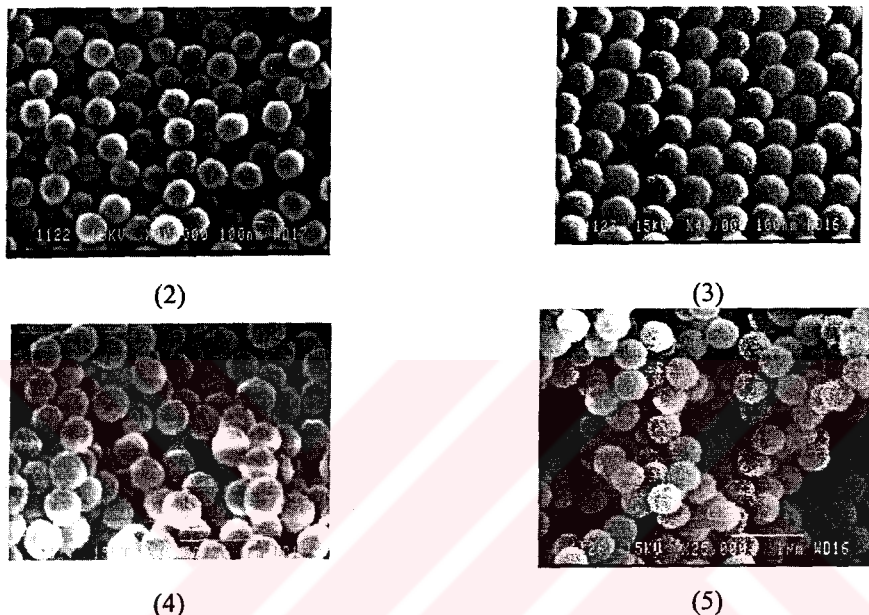
### 3.3 Boncuk Boyutları

Oligomerik zincir radikallerinin çözünürlüğü ilk parçacık sayısını belirler. İlk parçacık sayısını ve polimerizasyon hızını ise, reaktöre konan monomer miktarı değil suda çözünmüş monomer miktarı belirler. D. Zou ve arkadaşlarının laboratuvara yaptıkları denemelerde monomerin sudaki çözünürlüğü azaldıkça, son parçacık boyutunun arttığı görülmüştür [22]. Tuz bu etkiyi sağlayan bir tür olarak düşünülebilir. Elde edilen çalışma sonuçları bu bekleniyi doğrulamıştır.

#### 3.3.1 Tuz Miktarının Etkisi

Yukarıda belirtildiği gibi tuzun ilk parçacıkların sayısını azaltması, tuzun konsantrasyonunun artması orantılı olacaktır. Bunun anlamı düşük yüzey yüklü parçacıklar demektir. Bu parçacıklar kararlı kalamayarak kararlı kalabilecek sayıda parçacığın bir araya gelerek daha büyük parçacıkların meydana gelmesine neden olacaktır. Ayrıca ortama eklenen tuz eşitlik (1.47) göre elektriksel çift tabakayı incelteğinden, boncukların agglomeraya olmadan ortamda bulunabilmeleri için daha yük-

sek yüzey yüküne sahip olmaları gerekecektir. Bu beklenen sonuçlar Tablo 3.3.1 açıkça görülmektedir. Tuz konsantrasyonu yeterince yüksekse, yüksek yüzey yüküne rağmen bile agglomeratlaşacaklardır ki bu SEM fotoğraflarından açıkça görülmektedir ( Şekil 3.1.10 ). Çalışmalarda elde edilmiş boncuklar monodisperstir.



Şekil 3.1.10 Artan tuz konsantrasyonu ile birlikte aglomerasyonun artması (2): 0 mol NaCl/L su (3)  $0.5 \times 10^{-2}$  mol NaCl/L su, (4)  $1 \times 10^{-2}$  mol NaCl/L su , (5) $2 \times 10^{-2}$  mol NaCl/L su

**Tablo 3.3.1 Aynı cins tuz kullanıldığında, iyonik şiddetin boncuk boyutuna etkisi**

| Tuz                      | Ç.NO | İyonik Şiddet | R(nm)        | Yüzey Yükü<br>( $\mu\text{C}/\text{cm}^2$ ) |
|--------------------------|------|---------------|--------------|---|
|                          | 1    | 0             | ****         | ****  |
|                          | 2    | 0             | $234 \pm 5$  | $0.73 \pm 0,05$                             |
| NaCl                     | 3    | 0.005         | $278 \pm 5$  | $0.89 \pm 0,05$                             |
|                          | 4    | 0.010         | $423 \pm 14$ | $1.42 \pm 0,14$                             |
|                          | 5    | 0.020         | $465 \pm 16$ | $1.66 \pm 0,17$                             |
| NaBr                     | 6    | 0.005         | $277 \pm 6$  | $1.31 \pm 0,08$                             |
|                          | 7    | 0.010         | $418 \pm 16$ | $2.00 \pm 0,23$                             |
|                          | 8    | 0.020         | $473 \pm 12$ | $2.49 \pm 0,19$                             |
| LiCl                     | 20   | 0.005         | $386 \pm 6$  | $3.59 \pm 0,17$                             |
|                          | 18   | 0.010         | $406 \pm 12$ | $4.06 \pm 0,36$                             |
|                          | 19   | 0.020         | $495 \pm 10$ | $5.34 \pm 0,32$                             |
| $\text{Na}_2\text{SO}_4$ | 14   | 0,003         | $372 \pm 4$  | $2.56 \pm 0,08$                             |
|                          | 10   | 0,007         | $393 \pm 4$  | $3.57 \pm 0,11$                             |
|                          | 13   | 0,007         | ****         | ****  |
|                          | 22   | 0,010         | $432 \pm 10$ | $3.30 \pm 0,23$                             |
|                          | 12   | 0,015         | $421 \pm 9$  | $3.76 \pm 0,24$                             |
|                          | 9    | 0,015         | $499 \pm 10$ | $1.87 \pm 0,11$                             |
|                          | 21   | 0,018         | $466 \pm 12$ | $4.46 \pm 0,34$                             |
|                          | 15   | 0,022         | $488 \pm 6$  | $4.85 \pm 0,18$                             |
|                          | 16   | 0,022         | ****         | ****  |
|                          | 11   | 0,030         | $481 \pm 6$  | $5.97 \pm 0,22$                             |
|                          | 17   | 0,030         | ****         | ****  |

### 3.3.1 Tuz Cinsinin Etkisi

Elde edilmiş olan boncuk boyutları ile ortamda bulunan tuzdan gelen katyonun Stokes yarıçapı ilişkisine bakılacak olursa, doğrusal bir ilişki olduğu görülür. İlişki yalnızca  $\text{BaCl}_2$  tuzunun bulunduğu ortamda sapma göstermiştir. Bu da  $\text{Ba}^{++}$  iyonlarının boncukların yüzey yükünü oluşturan polimer- $\text{SO}_4^-$  ile kimyasal bağ yapacak kadar büyük etkileşmelerle yüzey yükünün daha fazla düşmesine olduğu düşünülebilir. Ayrıca ortamındaki konsantrasyonu tuz ile karşılaşılacak olursa konsantrasyonu düşük olan,  $\text{S}_2\text{O}_8^{=}$  in yan reaksiyonlarıyla ortaya çıkan  $\text{SO}_4^-$  iyonları ile tepkimeye

girerek, ortamındaki tuz konsantrasyonunu azalttığı düşünülebilir. Bu iki etki birlikte boyutunun beklenenden daha fazla olmasına neden olmuştur.

NaCl ve NaBr'lü ortamlarda hazırlanmış boncuk çaplarına bakılırsa, Br<sup>-</sup> iyonunun kimyasal yapısına bağlı olarak kinetik çalışmalarında ve molekül ağırlığında gösterdiği etkiyi boncuk boyutları üzerinde göstermediği görülmektedir. Bu nedenle NaBr'ün boncuk boyutlarına etkisi tuz etkisi sınırlı kaldığı söylenebilir.

**Tablo 3.3.2** Ortamın iyonik şiddeti aynı olduğunda, tuz cinsinin boncuk boyutuna etkisi

| İyonik Şiddet | Tuz                                  | Katyonun Stokes<br>Yarıçapı (pm) | R(nm)    |
|---------------|--------------------------------------|----------------------------------|----------|
| 0.005         | NaCl (3)                             | 6.5                              | 278 ± 5  |
|               | LiCl (20)                            | 7.4                              | 386 ± 6  |
|               | BaCl <sub>2</sub> (25)               | 9.6                              | 538 ± 21 |
|               | CaCl <sub>2</sub> (23)               | 10.4                             | 524 ± 19 |
|               | MgCl <sub>2</sub> (24)               | 11.7                             | 584 ± 14 |
| 0.005         | NaCl (3)                             | 6.5                              | 278 ± 5  |
|               | NaBr (6)                             | 6.5                              | 277 ± 6  |
| 0.01          | NaCl (4)                             | 6.5                              | 423 ± 14 |
|               | NaBr (7)                             | 6.5                              | 418 ± 16 |
|               | Na <sub>2</sub> SO <sub>4</sub> (22) | 6.5                              | 432 ± 9  |
| 0.02          | NaCl (5)                             | 6.5                              | 465 ± 16 |
|               | LiCl (19)                            | 7.4                              | 495 ± 10 |

### 3.4 Genel Değerlendirme

Polimerizasyon ortamına tuz ilavesi ile ortamın özellikleri değiştirilmiş ve bu ortamın polimerizasyon kinetiği, elde edilen polimerin ortalama molekül ağırlıkları ve boncuk boyutları üzerine etkileri incelenmiştir.

İlave edilen tuzla birlikte polimerizasyon hızı azalmış, özellikle monomerin çözünürlüğüne bağlı olarak ilk parçacıkların olduğu, Zaman- Dönüşüm egrilerinin birinci bölgesinde uzamalar meydana gelmiştir. Bu yavaşlama, tuz konsantrasyonu ve özellikle anyonları aynı olan tuzların katyonlarının Stokes yarıçapları ile artması

sonucunda daha da büyümüştür. Bununla birlikte polimerizasyon kinetiğinde ,inert olmayan tuzların kimyasal etkileşimlerle farklılıklar ortaya çıkardığı da gözlenmiştir. NaBr ortamdaki  $S_2O_8^{2-}$  ile tepkimeye girerek başlatıcı etkinliğini azaltmış ve benzer özellikteki NaCl e göre daha fazla reaksiyon hızını düşürmüştür.  $Na_2SO_4$  tuzu ise bazı konsantrasyonlarda başlatıcı etkinliğinin artmasına ve reaksiyonun tekrar hızlanması neden olmuştur.

Elde edilen polimerlerin molekül ağırlıkları tuzdan kısmen arındırılmış numunelerin vizkozite ortalaması molekül ağırlığı alınarak değerlendirilmiştir. Buna göre tuz konsantrasyonu arttıkça polimerlerin molekül ağırlıkları azalmıştır. Aynı iyonik şiddeti sağlayan farklı tuzların etkilerine bakıldığında yine inert tuzların katyonlarının Stokes yarıçapı ile molekül ağırlığı arasında bir ilişki olduğu bulunmuştur. Buna göre Stokes yarıçapı arttıkça molekül ağırlıkları daha çok düşmüştür. NaBr tuzu için başlatıcı etkinliğini azaltması nedeniyle daha yüksek molekül ağırlığı beklenirken daha düşük değerler bulunmuştur. Bunun nedeni  $S_2O_8^{2-}$  reaksiyonu ile ortaya çıkan  $Br_2$  nin polimer parçası içine diffüzlenerek, bir radikal gibi davranışabilmesi olabilir.

Polimer boncuklarının SEM fotoğrafları incelendiğinde tuz konsantrasyonu arttıkça lateksin kararlılığının azalarak daha kolay agglomera olduğu görülmüştür. Boncuk boyutları tuz konsantrasyonu arttıkça büyümüş ve inert tuzlar için Stokes yarıçapı ile benzer ilişkiler bulunmuştur. Katyonların Stokes yarıçapı arttıkça boncuk boyutu büyümüştür. Bununla birlikte  $BaCl_2$  tuzu bu ilişkiden sapma göstermiş ve beklenenden daha büyük boncuklar elde edilmiştir, bunun nedeni  $Ba^+$  iyonunun, parçacıkların yüzeylerinde bulunan  $SO_4^{2-}$  iyonları ile etkileşime girerek yüzey yükünü azaltması ve parçacıkların kararlı hale gelebilmek için birleşerek büyümeleridir.

Tuz konsantrasyonu istenen özellikte polimer eldesi için kontrol edilebilir bir parametredir. Herhangi bir kimyasal etkileşime girmedikleri sürece, ortamdaki iyonların polimerizasyon ve polimerik ürün üzerine etkileri Stokes yarıçaplarına bakılarak tahmin edilebilir. Bu çalışma istenen özellikte polimer yapmak için tuzların kullanılabileceğini ve polimerizasyonu için, iyonik şiddet kadar iyon türlerinin de önemli olduğunu göstermiştir.

#### **4. KAYNAKLAR**

- [1] Tsuruta T.,Editör Mustafaev M. Polimer Kimyası, 24.Baskı, Seç Yayın Dağıtım, 8-9,2001
- [2] Deriss M.,Vidovska D., Bulk-Emulsion Polimerization of Styrene, Lund University,s:3,2002.
- [3] Sarkar S.,Adhakari M.S.,Banerjee M.,Konar R.S., “*Thermal Decomposition of Potassium Persulfat in Aqueous Solution*” Journ. of Appl.Polymer Scien.,35,1441-1458,1988.
- [4] Bruyn H.,Gilert R., “*Induced Decomposition of Persulfat by Vinyl Acetate*” Journal of Polymer, 2003.
- [5] Stevens M.P., Polymer Chemistry An Introduction, 4th Edition,Copyright Oxford University, New York 1999.
- [6] Vanderhoff J.W., “*Mechanism of Emulsion Polymerization*”, J. Polym. Sci. Polym. Symp. ,72, 161, 1985
- [7] Lovel P.A.,El-Asser M.S.,Emulsion Polymerization and Emulsion Polymers, 4<sup>th</sup>, John Willey & Sons Press,1997.
- [8] Fitch R.M., “*The Homogeneous Nucleation of Polymer Colloids*” Br.Polym.J.,5,467-483,1973.
- [9] Song Z., Poehlein G. W., “*Particle Nucleation in Emulsifier-Free Aqueous-Phase Polymerization: Stage 1*”, J. Colloid and Interface Sci., V128(2), 486-500,1989
- [10] Song Z., Poehlein G. W., “*Particle Formation in Emulsifier-Free Aqueous-Phase Polymerization of Styrene*”, J. Colloid and Interface Sci., V128(2), 501-510,1989
- [11] Song Z.,Poehlein G. W. “*Kinetics of Emulsifier-Free Emulsion Polymerization of Styrene*” J. Polym. Sci.: Part A f Polymer Chem., V 28, 2359-2392, 1990.
- [12] Arai M., Arai K., Saito S., “*Polymer Particle Formation in Soapless Emulsion Polymerization*” J. Polym. Sci. Polym. Chem. Ed., 17, 3655, 1979

- [13] Goodall A.R., Wilkinson M.C., Hearn J., "Mechanism of Emulsion Polymerization of Styrene in Soap-Free Systems" *J. Polym. Sci., Polym. Chem. Ed.*, 15, 2193-2218, 1977
- [14] Dougherty P.E., "The Scope Dynamic Model for Emulsion Polymerization I.Theory" *J.of Applied Polym. Sci.*,32,3051-3078,1986.
- [15] Smith W.V. ve Ewart R.H., "Kinetics of Emulsion Polymerization" *J. Chem. Phys.*,16, 592, 1948.
- [16] Van Den Hul H.J., Vanderhoff J.W., *J. Electroanal. Chem. and Interfacial Electrochem.*, 37, 161-182, 1971.
- [17] Bataille P.,Almassi M.,Inoue M., "Emulsifier-Free Emulsion Polymerization N-Butyl Methacrylate" *J.of Appl. Polym. Sci.*,Vol.67,1711-1729,1998.
- [18] Aslamazova T.R. "Emulsifier-Free Latexes and Polymers On Their Base",*Progress in Organic Coating*,25,109-167,1995.
- [19] Ottewill R.W., "Stability and Unstability in Dispers Systems" *Journal of Colloid and Interface Sciences*, V58(2), 357-373, 1977
- [20] Hunter R.J. *Introduction to Modern Colloid Science*, 6<sup>th</sup> Edition, Copyright Oxford University,New York ,1992.
- [21] Goodall A.R., Hearn, *J.Polym.Sci.* Vol:1019-1037,1979.
- [22] Zou D., Aklonis J. J., Salovey R."Model Filled Polymers XI.synthesis of Monodisperse Crosslinked Polymetacrylonitrile Beads",, *J. of Poly. Sci: Part A: Polymer Chemistry*, Vol:30, 2443-2449, 1992
- [23] Zou. D., Derlich V., Gandhi K., Park M., Sun L., Kriz D., Lee Y.D., Kim G., Aklonis J. J., Salovey R., "Model Filled Polymers I.Synthesis of Crosslinked Monodisperse Polystrene Beads" *J. of Poly. Scie: Part A: Polymer Chemistry*, V:28, 1909-1921, 1990
- [24] Zou. D., MA S., Guan R., Park M., Sun L., Aklonis J. J., Salovey R., "Model Filled Polymers V.Synthesis of Crosslinked Monodisperse Poymethacrylate Beads" *J. of Poly. Sci.: Part A: Polymer Chemistry*, V:30, 137-144, 1992
- [25] Said M.F.Z., "A Reinvestigation of Electrolyte Effects in the Emulsion Polymerisation of Styrene", *Poly. International*, 35,379-387,1994.
- [26] Homola A.M., Inoue M.,Robertson A.A., "Experiments with Soap-Free Polymerization of Styrene in the Presence Alcohols", *J. of Appl. Poly.Sci.*,19,3077-3086, 1975.

- [27] Midmore B.R.,Hunter R.J., "The Effect of Electrolyte Concentration and Counterion type  $\zeta$ -Potential of Polystyrene Latices" J. of Colloid and Interface Sci.,122,No:2,1988.
- [28] Tanrisever T.,Okay O.,Sönmezoglu İ., "Kinetics of Emulsifier-Free Emulsion Polymerization of Methyl Methacrylate" J. of Applied Poly. Sci.,61,485-493,1996.
- [29] Aslamazova T.,Bogdanova S., "Polymer-Monomer and Polymer-Polymer Interactions and Their Effect on the Stability of Emulsifier-Free Acrylate Latexes" Colloids and Surface, 104,147-155,1995.
- [30] Rodriguez A.M.,Cabrerozo-Vilchez M.A.,Hidalgo-Alvarez R., "Surface Characterization of Latex with Different Interfacial Properties" Colloids and Surface,108,263-271,1996.
- [31] Zhang M.,Weng Z.,Huang Z.,Pan Z., "Effects of Monomer Polarity on MMA/BA/NaMA Emulsifier-Free Emulsion Copolymerization" Eur.Polym.J. Vol.34,No:9,1243-1247,1998.
- [32] Riddick J.A., Bunger W.B., Sakano T.K., "Organik Solvents, Physical Properties and Method of Purification",4th Edition, A Wiley-Interscience Publication,1986.
- [33] Tanrisever T., "Metil Metakrilatin Emülgatörsüz Emülsiyon Polimerizasyonu", Doktor Tezi, Yıldız Teknik Ü. Fen Bilimleri Ens.,İstanbul,1996.
- [34] Hearn J.,Wilkinson, Goodall A.R.,Chainey M. " Kinetics of the Surfactant-Free Emulsion Polymerization of Styrene :-The Post Nucleation Stage " J.of Polym. Sci.:Polym. Chem. Edition,23,1869-1883,1995.
- [35] Tamai H.,Fujii A., Suzawa T. "Some Colloidal Considerations on the Surface Characteristics of Various Emulsifier-Free Polymer Latices" J.of Colloid and Interface Sci.,116,37-41,1987
- [36] Baykurt F., Anorganik Kimya Praktrumu , 2.baskı, İstanbul,1967
- [37] Cotton and Wilkinson "Advanced Inorganic Chemistry",5th Edition, A Wiley-Interscience Publication, New York, 1988
- [38] Marcus Y., "Ion Properties" Copyright by Marcel Dekker, New York,1997.
- [39] Fessenden R.J.,Fessenden J.S.,Çeviri Edt.Uyar T., Organik Kimya, 4.baskı, Güneş Kitabevi, Ankara, 1992.

## ÖZET

### EMÜLGATÖRSÜZ EMÜLSİYON POLİMERİZASYONU KİNETİĞİ VE POLİMERİK ÜRÜNÜN ÖZELLİKLERİ ÜZERİNE TUZ ETKİSİ

Seda CAN  
Balıkesir Üniversitesi, Fen Bilimleri Enstitüsü,  
Kimya Anabilim Dalı

(Yüksek Lisans Tezi/Tez Danışmanı : Yrd. Doç. Dr. Taner TANRISEVER)

Balıkesir, 2003.

Metil metakrilatın (MMA) emülgatörsüz emülsiyon polimerizasyonu, 75 °C de,  $K_2S_2O_8$  başlatıcısı kullanılarak ve ortama çeşitli tuzlar ( $NaCl$ ,  $NaBr$ ,  $LiCl$ ,  $Na_2SO_4$ ,  $MgCl_2$ ,  $CaCl_2$ ,  $BaCl_2$ ) ilave edilerek gerçekleştirilmiş ve polimerizasyon kinetiği, polimerin ortalama molekül ağırlıkları ve boncuk boyutu üzerine etkileri araştırılmıştır. Molekül ağırlıkları, Jel geçirgenlik kromotografisi ve vizkozite ölçümleri yapılarak, boncuk boyutları ise SEM fotoğrafları çekilerek belirlenmiştir. Genellikle tuz konsantrasyonu arttıkça polimerizasyon hızı ve molekül ağırlığı azalırken boncuk boyutu büyümüştür. Aynı iyonik şiddeti sağlayan tuzların aynı etkileri oluşturmadığı gözlenmiştir. Aynı konsantrasyonda, herhangi bir kimyasal etkileşime girmeyen tuzların katyonlarının Stokes yarıçapı arttıkça polimerizasyon hızı ve molekül ağırlığı azalırken, boncuk boyutu büyümüştür. Ayrıca kimyasal etkileşimlere sahip diğer tuzların ortaya çıkardığı özel durumlar da incelenmiştir.

Anahtar Sözcükler : metilmetakrilat / emülgatörsüz emülsiyon polimerizasyonu/  
iyonik şiddet/ elektrolit / tuz etkisi/ Stokes yarıçapı

## **ABSTRACT**

### **THE SALTING EFFECT ON THE KINETIC OF EMULSIFIER-FREE POLYMERIZATION AND ON THE FEATURES OF POLYMERIC PRODUCT**

**Seda CAN**

**Balıkesir University, Institute of Science, Department of Chemistry**

**(Master Thesis/Supervisor: Yrd.Doç.Dr.Taner TANRISEVER)**

**Balıkesir, Turkey, 2003.**

The emulsifier-free emulsion polymerization of methyl methacrylate (MMA) was carried out with  $K_2S_2O_8$  as initiator in the presence of salts ( $NaCl$ ,  $NaBr$ ,  $LiCl$ ,  $Na_2SO_4$ ,  $MgCl_2$ ,  $CaCl_2$ ,  $BaCl_2$ ) at  $75^{\circ}C$  and investigated the effect of salt on kinetics of polymerization, average molecular weight of polymer and bead size. Average molecular weight of polymer was determined using Gel-permeation chromatography and measuring viscosity, and bead size was determined using scanning electron microscopy. It was found that with increasing concentration of the salt, polymerization rate and average molecular weight of polymer decrease, bead size increase. It was observed that electrolytes having the same ionic strength, have different effects on polymerization and the features of polymer. At the same electrolyte concentration, as increased Stokes radii of cation of salts that not react with another chemicals in polymerization, polymerization rate and average molecular weight of polymer decreased, polymer particle diameter increased. However, special effect of another salts having chemical interaction also was investigated.

**Keywords:** methylmethacrylate / emulsifier-free emulsion polymerization/ ionic strength / electrolyte / salting effect / Stokes radii